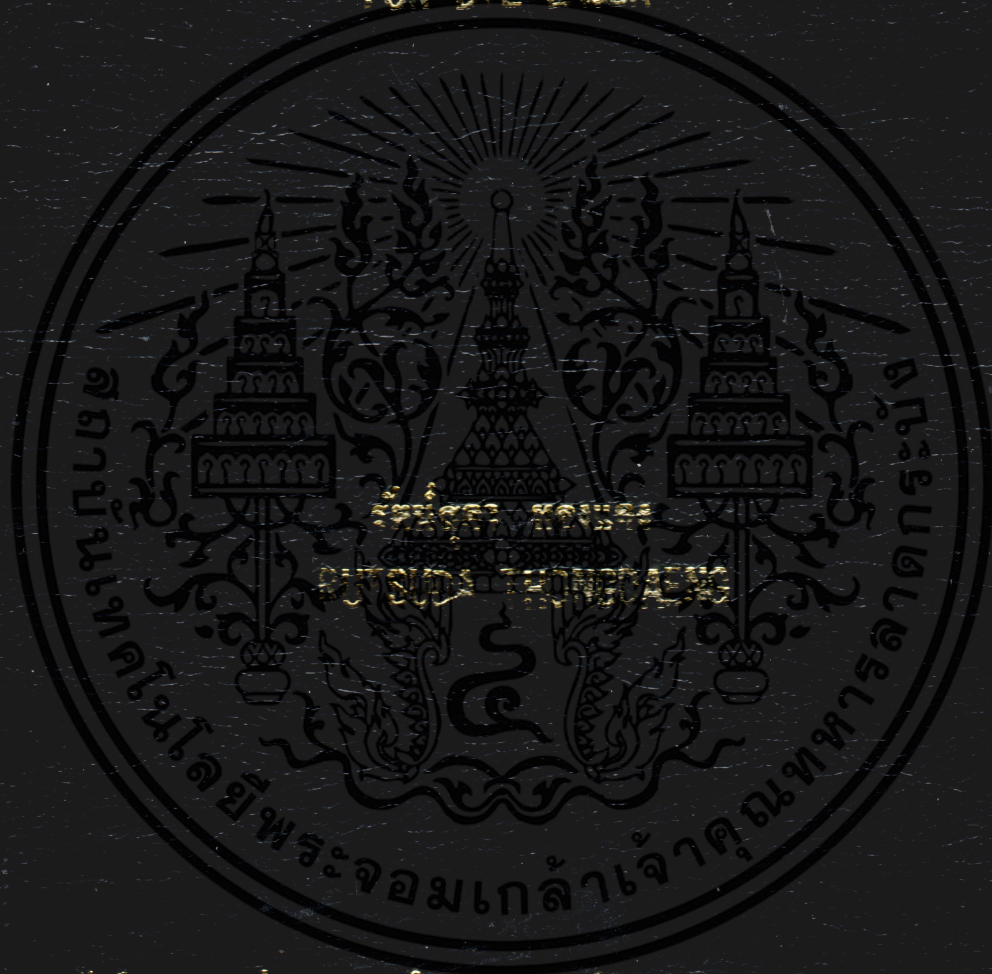


การพัฒนาระบบเลเซอร์แบบกระตุ้นสถานะสามที่ความถี่อินฟราเรด  
สำหรับเป็นระบบปั๊มเลเซอร์

DEVELOPMENT OF TEA-N<sub>2</sub> LASER AS A PUMPING SYSTEM  
FOR DYE LASER



วิทยานิพนธ์นี้เป็นส่วนหนึ่งของงานวิจัยที่สนับสนุนโดยสำนักงานกองทุนสนับสนุนการวิจัย (สกว.)

ดร.วิมลเพ็ญรัตน์ ประทุมรัตน์

บัณฑิตวิทยาลัย

สถาบันเทคโนโลยีพระจอมเกล้าเจ้าคุณทหารลาดกระบัง

พ.ศ. 2544

ISBN 974-649-175-4

การพัฒนาไนโตรเจนเลเซอร์แบบกระตุ้นตามขวางที่ความดันบรรยากาศ  
สำหรับปั๊มระบบคายเลเซอร์

DEVELOPMENT OF TEA- N<sub>2</sub> LASER AS A PUMPING SYSTEM  
FOR DYE LASER



รัตนัสสุดา ทองแดง

RUTSUDA THONGDAENG

วิทยานิพนธ์นี้เป็นส่วนหนึ่งของการศึกษาตามหลักสูตรปริญญาวิทยาศาสตรมหาบัณฑิต

สาขาวิชาฟิสิกส์ประยุกต์

บัณฑิตวิทยาลัย

สถาบันเทคโนโลยีพระจอมเกล้าเจ้าคุณทหารลาดกระบัง

พ.ศ.2544

ISBN 974-648-175-4

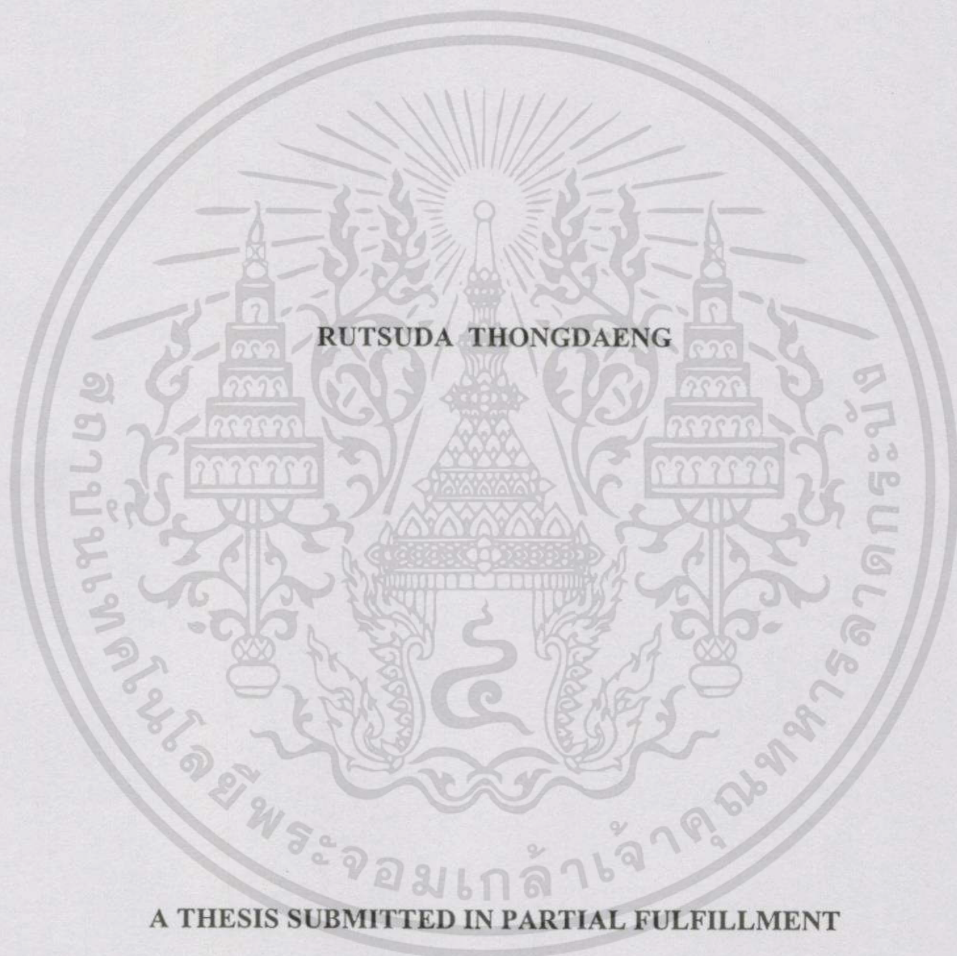
เลขหมู่.....  
เลขทะเบียน **39764**  
วัน, เดือน, ปี **21 ส.ย. 2544**

.b.....

ขอสงวนไว้สำหรับการใช้งานเพื่อการศึกษาเท่านั้น ไม่อนุญาตให้แก้ไขประโยชน์ด้านการค้า  
ไม่ว่ากรณีใดๆทั้งสิ้น อีกทั้งห้ามมิให้ตัดแปลงเนื้อหา และต้องอ้างอิงถึงเจ้าของเอกสารทุกครั้งที่มีการนำไปใช้

**DEVELOPMENT OF TEA- N<sub>2</sub> LASER AS A PUMPING SYSTEM  
FOR DYE LASER**

**FOR DYE LASER**



**A THESIS SUBMITTED IN PARTIAL FULFILLMENT  
OF THE REQUIREMENT FOR THE DEGREE OF  
MASTER OF SCIENCE IN APPLIED PHYSICS  
SCHOOL OF GRADUATE STUDIES  
KING MONGKUT'S INSTITUTE OF TECHNOLOGY LADKRABANG**

**2001**

**ISBN 974-648-175-4**

เอกสารนี้เป็นเอกสารที่สงวนไว้สำหรับการใช้งานเพื่อการศึกษาเท่านั้น ไม่อนุญาตให้นำไปใช้ประโยชน์ด้านการค้า  
ไม่ว่ากรณีใดๆทั้งสิ้น อีกทั้งห้ามมิให้ดัดแปลงเนื้อหา และต้องอ้างอิงถึงเจ้าของเอกสารทุกครั้งที่มีการนำไปใช้



**COPYRIGHT 2001**

**SCHOOL OF GRADUATE STUDIES**

**KING MONGKUT'S INSTITUTE OF TECHNOLOGY LADKRABANG**

เอกสารนี้เป็นเอกสารที่สงวนไว้สำหรับการใช้งานเพื่อการศึกษาเท่านั้น ไม่อนุญาตให้นำไปใช้ประโยชน์ด้านการค้า  
ไม่ว่ากรณีใดๆทั้งสิ้น อีกทั้งห้ามมิให้ดัดแปลงเนื้อหา และต้องอ้างอิงถึงเจ้าของเอกสารทุกครั้งที่มีการนำไปใช้

บัณฑิตวิทยาลัย  
สถาบันเทคโนโลยีพระจอมเกล้าเจ้าคุณทหารลาดกระบัง  
ใบรับรองวิทยานิพนธ์

หัวข้อวิทยานิพนธ์ การพัฒนาในโตรเจนเลเซอร์ แบบกระตุ้นตามขวางที่ความดันบรรยากาศ สำหรับปั๊มระบบคายเลเซอร์  
DEVELOPMENT OF TEA-N<sub>2</sub> LASER AS A PUMPING SYSTEM FOR DYE LASER

ชื่อนักศึกษา นางสาวรัตน์สุดา ทองแดง  
รหัสประจำตัว 40065009  
ปริญญา วิทยาศาสตรมหาบัณฑิต  
สาขาวิชา ฟิสิกส์ประยุกต์  
อาจารย์ผู้ควบคุมวิทยานิพนธ์ ผศ.ดร.วราวุฒิ เกาลัดดา

คณะกรรมการสอบวิทยานิพนธ์		ลายมือชื่อ
ผศ.ดร.ปรีชา	เทียบสมประสงค์	
ผศ.ดร.วราวุฒิ	เกาลัดดา	
ดร.รัชภาคย์	จิตต์อารี	
ผศ.วิชาญ	เดชธีระ	

วัน/เดือน/ปี ที่สอบ 27 เมษายน 2544 เวลา 14.00 น. เป็นต้นไป  
สถานที่สอบ ณ อาคารจุฬารณวลัยลักษณ์ ชั้น 3 ห้อง 307

บัณฑิตวิทยาลัยรับรองแล้ว

(รศ.ดร.บุญวัฒน์ อัคร)

คณบดีบัณฑิตวิทยาลัย

วันที่ 21 เดือน พฤษภาคม พ.ศ. 2544

หัวข้อวิทยานิพนธ์	การพัฒนาไนโตรเจนเลเซอร์แบบกระตุ้นตามขวางที่ความดันบรรยากาศสำหรับปีมระบบคายเลเซอร์
นักศึกษา	นางสาวรัตนสุดา ทองแดง
รหัสประจำตัว	40065009
ปริญญา	วิทยาศาสตรมหาบัณฑิต
สาขาวิชา	ฟิสิกส์ประยุกต์
พ.ศ.	2544
อาจารย์ผู้ควบคุมวิทยานิพนธ์	ผู้ช่วยศาสตราจารย์ ดร. วราวุฒิ เถาลัดดา

### บทคัดย่อ

ไนโตรเจนเลเซอร์แบบกระตุ้นตามขวางที่ความดันบรรยากาศที่พัฒนาขึ้นเพื่อใช้ปีมระบบคายเลเซอร์มีโครงสร้างประกอบด้วยวงจรมัลติไลน์และแหล่งจ่ายไฟฟ้ากระแสตรงแรงดันสูง วงจรมัลติไลน์สร้างจากอลูมิเนียมฟอสไฟด์และแผ่นไมล์ทำหน้าที่เป็นเพลาและไดอิเล็กตริกของตัวเก็บประจุแบบเพลาขนาน มีขั้วไฟฟ้าของช่องเลเซอร์และสปาร์กแก๊ปทำจากโลหะสแตนเลส แหล่งจ่ายไฟฟ้ากระแสตรงแรงดันสูงปรับค่าได้ในช่วงระหว่าง 0 - 15 กิโลโวลต์ ไนโตรเจนเลเซอร์ที่สร้างขึ้นนี้จะมีวงจรควบคุมจังหวะการเกิดพัลส์ของแสงเลเซอร์ด้วยความถี่ 0.5-10 เฮิรตซ์ ไนโตรเจนเลเซอร์แบบกระตุ้นตามขวางทำงานที่ความดันบรรยากาศที่พัฒนาขึ้นสามารถทำงานได้ดีเมื่อมีอัตราการไหลของแก๊สไนโตรเจน 0.5 ลิตร/นาที แหล่งจ่ายไฟฟ้ากระแสตรงแรงดันสูง 14 กิโลโวลต์ ให้แสงเลเซอร์มีความยาวคลื่นที่วัดได้  $337 \pm 0.22$  นาโนเมตร มีความกว้างของพัลส์  $3.40 \pm 0.19$  นาโนวินาที มีการลู่ออกของลำแสง  $4.7 \times 9.0$  มิลลิเรเดียน ลำแสงจากไนโตรเจนเลเซอร์นำไปกระตุ้นสารละลายคายที่ประกอบด้วยโรดามิน 6 จี ทำละลายในเอทานอล 99% โดยความเข้มข้นของสารละลายคายที่เหมาะสมกับระบบที่พัฒนาขึ้นมีค่าประมาณ  $1 \times 10^{-2}$  โมล/ลิตร

Thesis Title	Development of TEA-N <sub>2</sub> Laser as a Pumping System for Dye Laser
Student	Miss.Rutsuda Thongdaeng
Student ID.	40065009
Degree	Master of Science
Programme	Applied Physics
Year	2001
Thesis Advisor	Assistant Professor Dr.Warawoot Thowladda

### ABSTRACT

Transversely Excited at Atmospheric Pressure-N<sub>2</sub> Laser (TEA-N<sub>2</sub> Laser) as a pumping System for Dye Laser is comprised of Blumline circuit and direct current high voltage power supply. The Blumline circuit consists of parallel-plate capacitors, electrodes of laser channel and spark gap. The parallel-plate capacitors made of aluminum foils and mylar sheet as plates and dielectric of the capacitor respectively. The electrodes of laser channel and spark gap made of stainless steel. The direct current high voltage power supply can be adjusted between 0 - 15 kV. The laser pulse repetition rate is controlled by a trigger circuit which the frequency can be adjusted between 0.5 - 10 Hz. TEA-N<sub>2</sub> Laser that developed in this thesis can be operated at Nitrogen flow of 0.5 l/min and direct current high voltage of 14 kV. The measured wavelength of nitrogen laser light is  $337 \pm 0.22$  nm. The pulse width is  $3.40 \pm 0.19$  nsec. The beam divergence is  $4.7 \times 9.0$  mrad. The TEA-N<sub>2</sub> Laser in this condition has successfully pumped a Dye Laser System that consisted of Rhodamin 6 G dissolved in 99% ethanol and filled in dye cell. The suitable concentration of dye solution for this system is about  $1 \times 10^{-2}$  mol/l.

## กิตติกรรมประกาศ

วิทยานิพนธ์เล่มนี้สำเร็จลุล่วงลงได้ด้วยดี เนื่องจากได้รับความเมตตากรุณาเป็นอย่างยิ่ง จาก ผศ.ดร.วราวุฒิ เถาคัดดา อาจารย์ประจำภาควิชาฟิสิกส์ประยุกต์ คณะวิทยาศาสตร์ สถาบันเทคโนโลยีพระจอมเกล้าเจ้าคุณทหารลาดกระบัง อาจารย์ที่ปรึกษาวิทยานิพนธ์ ซึ่งให้คำปรึกษา และแนะนำแนวทางในการดำเนินงานวิจัยเป็นอย่างดี รวมทั้งอนุเคราะห์จัดหาอุปกรณ์และงบประมาณในการดำเนินงานวิจัย ข้าพเจ้ารู้สึกซาบซึ้งในความกรุณาของท่านเป็นที่สุดและขอกราบขอบพระคุณท่านเป็นอย่างสูง

ขอขอบพระคุณสำนักงานพัฒนาวิทยาศาสตร์และเทคโนโลยีแห่งชาติ (สวทช.) ที่ให้ความอนุเคราะห์มอบทุนการศึกษาและเงินอุดหนุนการทำวิทยานิพนธ์แก่ข้าพเจ้า

ขอขอบพระคุณ ผศ.ดร.ขวัญ อารยชนิตกุล อาจารย์ประจำภาควิชาฟิสิกส์ คณะวิทยาศาสตร์ มหาวิทยาลัยมหิดล ที่อนุเคราะห์ให้ข้าพเจ้าใช้ระบบคายเลเซอร์มาใช้ในการทดสอบการทำงานของไนโตรเจนเลเซอร์แบบกระตุ้นตามขวางที่จัดสร้างขึ้น เพื่อใช้ในการปั๊มระบบคายเลเซอร์

ขอขอบพระคุณ ดร.รัชภาคย์ จิตต์อารี อาจารย์ประจำภาควิชาฟิสิกส์ คณะวิทยาศาสตร์ มหาวิทยาลัยมหิดล ที่ให้คำแนะนำและชี้แนะแนวทางในการนำเกรตติงเลี้ยวเบนมาใช้ในการวัดความยาวคลื่นของลำแสงไนโตรเจนเลเซอร์

ขอขอบพระคุณ อาจารย์วิษณุ เพชรภา อาจารย์ประจำภาควิชาฟิสิกส์ประยุกต์ คณะวิทยาศาสตร์ สถาบันเทคโนโลยีพระจอมเกล้าเจ้าคุณทหารลาดกระบัง ที่อนุเคราะห์ให้ยืมกล้องวีดีโอ

ขอขอบพระคุณ อาจารย์ทุกท่านที่ประสิทธิ์ประสาทความรู้ให้แก่ข้าพเจ้า

ขอขอบพระคุณ คุณอัครวิน เรณูสวัสดิ์ ที่อนุเคราะห์จัดหาอุปกรณ์ที่ใช้ในงานวิจัยนี้รวมทั้งคำแนะนำที่เป็นประโยชน์เป็นอย่างยิ่ง

สุดท้ายนี้ขอขอบพระคุณ บิดา-มารดา พี่น้อง เพื่อน ๆ รวมทั้งบุคคลที่มีความปรารถนาดี มอบให้ข้าพเจ้าทุกท่าน ที่คอยให้กำลังใจและแนะนำแนวทางที่ดีในชีวิตแก่ข้าพเจ้าตลอดมา

รัตนสุภา ทองแดง

# สารบัญ

	หน้า
บทคัดย่อภาษาไทย.....	I
บทคัดย่อภาษาอังกฤษ.....	II
กิตติกรรมประกาศ.....	III
สารบัญ.....	IV
สารบัญตาราง.....	VII
สารบัญรูป.....	VIII
บทที่ 1 บทนำ.....	1
1.1 ความสำคัญและที่มา.....	1
1.2 ทฤษฎีหรือแนวคิดที่ใช้ในงานวิจัย.....	2
1.3 วัตถุประสงค์ของงานวิจัย.....	3
1.4 ขอบเขตของงานวิจัย.....	3
1.5 ขั้นตอนการดำเนินงาน.....	3
1.5.1 แผนการดำเนินการ.....	3
1.5.2 ระยะเวลาที่ใช้ในการดำเนินการ.....	4
1.6 ประโยชน์ที่คาดว่าจะได้รับ.....	4
บทที่ 2 งานวิจัยและทฤษฎีที่เกี่ยวข้อง.....	5
2.1 งานวิจัยและทฤษฎีของเลเซอร์ทั่วไป.....	5
2.2.1 การเปล่งแสงแบบถูกกระตุ้น.....	6
2.2.1.1 การดูดกลืนแสง.....	6
2.2.1.2 การเปล่งแสงแบบเกิดขึ้นเอง.....	7
2.2.1.3 การเปล่งแสงแบบถูกกระตุ้น.....	8
2.2.2 การเกิดประชากรผกผัน.....	9
2.2.3 ตัวสั้นพ้องเชิงทัศน.....	11
2.2 งานวิจัยและหลักการของไนโตรเจนเลเซอร์.....	15
2.3 งานวิจัยและหลักการของคายเลเซอร์.....	18

# สารบัญ(ต่อ)

หน้า

บทที่ 3 การออกแบบและสร้างไนโตรเจนเลเซอร์แบบกระตุ้นตามขวางที่ความดันบรรยากาศ สำหรับปั๊มระบบคายเลเซอร์.....	22
3.1 การออกแบบและสร้างชุดไนโตรเจนเลเซอร์สำหรับปั๊มคายเลเซอร์.....	22
3.1.1 การออกแบบและสร้างชุดไนโตรเจนเลเซอร์.....	22
3.1.2 ส่วนประกอบของไนโตรเจนเลเซอร์.....	24
3.1.2.1 ขั้วไฟฟ้าและช่องเลเซอร์.....	24
3.1.2.2 ระบบจ่ายไฟแรงดันสูง.....	24
3.1.2.3 ตัวเก็บประจุแบบแผ่นขนาน.....	25
3.1.2.4 ชุดควบคุมการเกิดไนโตรเจนเลเซอร์.....	29
3.1.2.5 ระบบจ่ายแก๊สไนโตรเจน.....	32
3.1.3 ขั้นตอนการประกอบระบบไนโตรเจนเลเซอร์.....	32
3.2 การจัดวางไนโตรเจนเลเซอร์สำหรับปั๊มระบบคายเลเซอร์.....	34
3.2.1 การคำนวณหาตำแหน่งที่วางคายเซลล์.....	35
3.2.2 เกรตติ้งเลี้ยวเบน.....	36
3.2.3 การเตรียมความเข้มข้นสารละลายคาย.....	39
บทที่ 4 การทดลอง ผลการทดลอง และอภิปรายผล.....	42
4.1 การทดสอบการทำงานของไนโตรเจนเลเซอร์แบบกระตุ้นตามขวางที่ความดันบรรยากาศ และศึกษาสมบัติของแสงเลเซอร์.....	42
4.1.1 ทดสอบการทำงานของไนโตรเจนเลเซอร์แบบกระตุ้นตามขวางที่ความดันบรรยากาศ.....	42
4.1.2 ความสัมพันธ์ระหว่างค่าแรงดันไฟฟ้ากระแสตรงแรงดันสูงที่ป้อนให้กับชุดไนโตรเจนเลเซอร์กับค่าความเข้มแสงที่อัตราการใช้แก๊สไนโตรเจนค่าต่าง ๆ .....	47
4.1.3 การวัดค่าความกว้างของพัลส์ของไนโตรเจนเลเซอร์แบบกระตุ้นตามขวางที่ความดันบรรยากาศ.....	49
4.1.4 ความยาวคลื่นของไนโตรเจนเลเซอร์แบบกระตุ้นตามขวางที่ความดันบรรยากาศโดยใช้เกรตติ้ง.....	51
4.1.5 การลู่ออกของแสงจากไนโตรเจนเลเซอร์แบบกระตุ้นตามขวาง.....	57

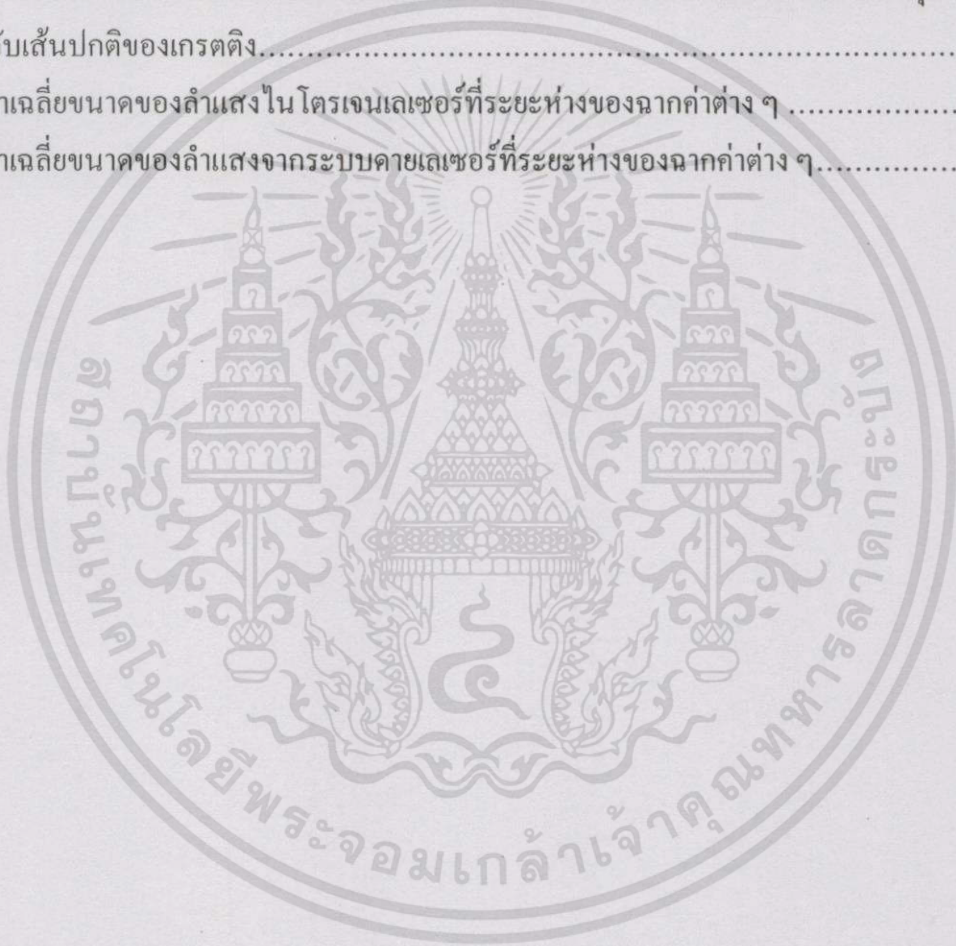
## สารบัญ(ต่อ)

หน้า

4.2 การทดสอบการทำงานของไนโตรเจนเลเซอร์แบบกระตุ้นตามขวางที่ความดันบรรยากาศ เมื่อนำไปป้อนระบบคายเลเซอร์และศึกษาสมบัติของคายเลเซอร์.....	61
4.2.1 ทดสอบการทำงานของไนโตรเจนเลเซอร์เมื่อนำไปป้อนระบบคายเลเซอร์..	61
4.2.2 หาความเข้มข้นของสารละลายโรดามิน 6จี ที่เหมาะสมที่ทำให้เกิดแสงจากระบบคายเลเซอร์.....	66
4.2.3 การปล่อยของลำแสงจากระบบคายเลเซอร์เมื่อกระตุ้นด้วยลำแสงไนโตรเจนเลเซอร์.....	72
บทที่ 5 สรุปและข้อเสนอแนะ.....	76
5.1 สรุปผลการวิจัย.....	76
5.2 ปัญหาที่พบและข้อเสนอแนะ.....	78
เอกสารอ้างอิง.....	80
ภาคผนวก.....	81
ประวัติผู้เขียน.....	101

# สารบัญตาราง

ตารางที่	หน้า
4.1 ค่าความกว้างของพัลส์ที่อ่านได้จากออสซิลโคป.....	50
4.2 การวัดความยาวคลื่นโดยใช้เกรตติงเลี้ยวเบน เมื่อวางเกรตติงให้ระนาบของเกรตติงตั้งฉากกับลำแสงในโตรเจนเลเซอร์ .....	55
4.3 การวัดความยาวคลื่นโดยใช้เกรตติงเลี้ยวเบน เมื่อวางเกรตติงให้แสงตกกระทบทำมุมค่าต่าง ๆ กับเส้นปกติของเกรตติง.....	56
4.4 ค่าเฉลี่ยขนาดของลำแสงในโตรเจนเลเซอร์ที่ระยะห่างของฉากค่าต่าง ๆ .....	58
4.5 ค่าเฉลี่ยขนาดของลำแสงจากระบบคายเลเซอร์ที่ระยะห่างของฉากค่าต่าง ๆ.....	73



# สารบัญรูป

รูปที่	หน้า
2.1 กระบวนการดูคลื่นแสง.....	7
2.2 กระบวนการเปล่งแสงแบบเกิดขึ้นเอง.....	8
2.3 กระบวนการเปล่งแสงแบบถูกกระตุ้น.....	9
2.4 การกระจายแบบโบลท์ซมานที่สภาวะสมดุลเชิงความร้อน.....	10
2.5 การเกิดประชากรผกผัน.....	10
2.6 ตัวสั้นพ้องเชิงทัศนที่ประกอบด้วยกระจก 2 บาน .....	13
2.7 การจัดวางตัวสั้นพ้องเชิงทัศนแบบต่าง ๆ.....	14
2.8 ระดับพลังงานในโมเลกุลของแก๊สไนโตรเจน.....	16
2.9 ระดับพลังงาน 3 ระดับของโมเลกุลไนโตรเจน .....	17
2.10 ตัวกลางชนิดต่าง ๆ ของคายเลเซอร์.....	19
2.11 ระดับพลังงานของโมเลกุลคาย และการเกิดแสงคายเลเซอร์.....	20
3.1 วงจรบัลลัมไดน์.....	23
3.2 วงจรจ่ายไฟฟ้ากระแสตรงแรงดันสูง.....	24
3.3 ตัวเก็บประจุแผ่นขนาน.....	26
3.4 วงจรพัลส์ฟอร์มมิง.....	26
3.5 ภาพตัดขวางของขั้วไฟฟ้า.....	29
3.6 วงจรควบคุมจังหวะการเกิดไนโตรเจนเลเซอร์.....	30
3.7 วงจรกำเนิดสัญญาณพัลส์	
3.7ก วงจรมัลติไวเบรเตอร์ที่สร้างจากไอซี LM 555.....	31
3.7ข ลักษณะสัญญาณขาออก.....	31
3.8 รูปร่างและขนาดของกล่องนำแก๊สไนโตรเจน.....	32
3.9 ภาพถ่ายระบบไนโตรเจนเลเซอร์แบบกระตุ้นตามขวางที่จัดสร้างขึ้น.....	33
3.10 การจัดวางไนโตรเจนเลเซอร์สำหรับระบบคายเลเซอร์.....	34
3.11 การลู่ออกของลำแสงไนโตรเจนเลเซอร์.....	36
3.12 การกระจายแสงของเกรตติง.....	37
3.13 โครงสร้างของสารโรดามีน 6 จี.....	39
4.1 การเกิดการสปาร์กที่เขี้ยวหัวเทียน เมื่อเปิดสวิตช์ที่ชุดจุดระเบิดหัวเทียน.....	43
4.2 ลักษณะการเกิดการสปาร์กที่ขั้วไฟฟ้า.....	44

เอกสารนี้เป็นเอกสารที่สงวนไว้สำหรับการใช้งานเพื่อการศึกษาเท่านั้น ไม่อนุญาตให้นำไปใช้ประโยชน์ด้านการค้า  
ไม่ว่ากรณีใดๆทั้งสิ้น อีกทั้งห้ามมิให้ดัดแปลงเนื้อหา และต้องอ้างอิงถึงเจ้าของเอกสารทุกครั้งที่มีการนำไปใช้

## สารบัญรูป(ต่อ)

รูปที่	หน้า
4.3ก แสงที่เกิดจากการสปาร์กที่ขั้วไฟฟ้าเมื่อยังไม่ได้ปล่อยแก๊สในโตรเจนเข้าระบบ.....	44
4.3ข แสงที่เกิดจากการสปาร์กที่ขั้วไฟฟ้าเมื่อปล่อยแก๊สในโตรเจนเข้าระบบ.....	44
4.4 ลักษณะของจุดแสดงในโตรเจนเลเซอร์ที่บันทึกภาพที่ระยะห่างของฉาก 20 เซนติเมตร.....	45
4.5 การกระจายความเข้มแสงภายในจุดแสงในโตรเจนเลเซอร์.....	46
4.6 กราฟความสัมพันธ์ระหว่างแรงดันไฟฟ้ากระแสตรงที่ป้อนเข้าไปในระบบกับความเข้มแสงเมื่อวางตัววัดแสงห่าง 3 เมตร.....	48
4.7 ลักษณะของสัญญาณแสงในโตรเจนเลเซอร์ที่วัดได้เมื่อต่อเข้ากับออสซิลโลสโคป.....	50
4.8 การวางเกรตติงในลักษณะต่าง ๆ.....	52
4.9 ลักษณะของลำแสงในโตรเจนเลเซอร์ที่บันทึกภาพเมื่อวางฉากที่ตำแหน่งต่าง ๆ.....	59
4.10 กราฟความสัมพันธ์ระหว่างระยะห่างของฉากกับขนาดของลำแสงในโตรเจนเลเซอร์.....	60
4.11 การจัดวางระบบคายเลเซอร์.....	62
4.12 ลักษณะของลำแสงในโตรเจนเลเซอร์.....	64
4.13 การจัดระบบคายเลเซอร์และลำแสงที่ออกมาจากระบบคายเลเซอร์ เมื่อวางเกรตติงไว้ด้านหลังและวางกระจกราบที่มีสัมประสิทธิ์การสะท้อน 80% ไว้ด้านหน้า.....	65
4.14 การจัดวางระบบคายเลเซอร์และลำแสงที่ออกมาจากระบบคายเลเซอร์ เมื่อวางกระจกราบที่มีสัมประสิทธิ์การสะท้อน 100 % ไว้ด้านหลัง และวางกระจกราบที่มีสัมประสิทธิ์การสะท้อน 80 % ไว้ด้านหน้า.....	65
4.15 คายเซลล์ที่บรรจุสารละลายโรดามิน 6 จี ความเข้มข้น $7 \times 10^{-2}$ โมล/ลิตร.....	68
4.16 คายเซลล์ที่บรรจุสารละลายโรดามิน 6 จี ความเข้มข้น $2 \times 10^{-2}$ โมล/ลิตร.....	68
4.17 คายเซลล์ที่บรรจุสารละลายโรดามิน 6 จี ความเข้มข้น $1 \times 10^{-2}$ โมล/ลิตร.....	69
4.18 คายเซลล์ที่บรรจุสารละลายโรดามิน 6 จี ความเข้มข้น $9 \times 10^{-3}$ โมล/ลิตร.....	69
4.19 คายเซลล์ที่บรรจุสารละลายโรดามิน 6 จี ความเข้มข้น $8 \times 10^{-3}$ โมล/ลิตร.....	70
4.20 คายเซลล์ที่บรรจุสารละลายโรดามิน 6 จี ความเข้มข้น $6 \times 10^{-3}$ โมล/ลิตร.....	70
4.21 คายเซลล์ที่บรรจุสารละลายโรดามิน 6 จี ความเข้มข้น $3 \times 10^{-2}$ โมล/ลิตร.....	71
4.22 ลักษณะของลำแสงจากระบบคายเลเซอร์ เมื่อวางฉากที่ตำแหน่งต่าง ๆ.....	74
4.23 กราฟความสัมพันธ์ระหว่างระยะห่างของฉากกับขนาดของลำแสงจากระบบคายเลเซอร์ เมื่อสารละลายโรดามิน 6 จี ที่บรรจุลงในคายเซลล์มีความเข้มข้น $1 \times 10^{-2}$ โมล/ลิตร.....	75

# บทที่ 1

## บทนำ

บทนี้จะกล่าวถึงความเป็นมาของการดำเนินงานวิจัย วัตถุประสงค์ของงานวิจัย วิธีการและขั้นตอนในการดำเนินการวิจัย ตลอดจนประโยชน์ที่คาดว่าจะได้รับจากงานวิจัย ซึ่งจะเรียงตามลำดับหัวข้อดังต่อไปนี้

### 1.1 ความสำคัญและที่มา

เลเซอร์ (LASER) เป็นคำที่ย่อมาจากคำว่า Light Amplification by Stimulated Emission of Radiation มีความหมายว่า การแผ่รังสีที่เกิดจากการเปล่งแสงแบบถูกกระตุ้นและมีการขยายสัญญาณคลื่นแสงนั้นด้วย[1] เลเซอร์จะมีลักษณะที่แตกต่างจากแสงโดยทั่วไป คือ มีคุณสมบัติที่เป็นแสงเอกรงค์ (Monochromaticity) หมายถึงมีเพียงความถี่เดียวหรือให้แสงที่มีค่าความยาวคลื่นเพียงค่าเดียวเท่านั้น เลเซอร์เป็นแสงที่มีคุณสมบัติพิเศษที่มีการลู่ออก (Divergence) น้อย เมื่อเทียบกับแสงอื่นทั่วไปทำให้มีทิศทางในการเคลื่อนที่ที่แน่นอน และยังมีการเปลี่ยนแปลงความเข้มของลำแสงตามระยะทางน้อย จึงมีการนำเลเซอร์ไปใช้งานในด้านต่าง ๆ อย่างมากมาย ทั้งทางการแพทย์ การทหาร หรือในด้านอุตสาหกรรม

ตั้งแต่อดีตจนถึงปัจจุบัน ได้มีการพัฒนาและสร้างเลเซอร์ชนิดต่าง ๆ ขึ้นมาอย่างไม่หยุดยั้ง เลเซอร์เครื่องแรกของโลก คือ เลเซอร์ทับทิม (Ruby Laser) สร้างขึ้นในปี ค.ศ. 1960 โดย ไมมาน (T.H.Maiman) แห่งห้องปฏิบัติการวิจัยของบริษัทฮิวส์ ประเทศสหรัฐอเมริกา เป็นเลเซอร์ที่มีตัวกลางเป็นผลึกทับทิม ให้แสงสีชมพูมีความยาวคลื่น 694.3 นาโนเมตร[2] ต่อมาได้มีการประดิษฐ์คิดค้นและสามารถสร้างเลเซอร์ชนิดต่าง ๆ ออกมาอีกมากมายโดยจะเรียกชื่อเลเซอร์ตามตัวกลางของเลเซอร์นั้น จึงจัดแบ่งเลเซอร์ตามสถานะของตัวกลางเลเซอร์ (Laser Medium) ได้เป็น 3 สถานะ คือ เลเซอร์ของแข็ง (Solid State Laser) ซึ่งตัวกลางเลเซอร์อยู่ในรูปของแข็งหรือผลึก เช่น เลเซอร์ทับทิม เลเซอร์สารกึ่งตัวนำเป็นต้น เลเซอร์ของเหลว (Liquid Laser) ตัวกลางเลเซอร์จะมีสถานะเป็นของเหลวหรืออยู่ในรูปสารละลายได้แก่ ดายเลเซอร์ ซึ่งตัวกลางเลเซอร์จะเป็นสีย้อมผ้า (Dye) ที่ทำละลายในแอลกอฮอล์ หรือ อาร์ซีโตนเป็นต้น โดยทั่วไปจึงมักเรียกเลเซอร์ของเหลวว่า ดายเลเซอร์ และสุดท้ายคือแก๊สเลเซอร์ (Gas Laser) ซึ่งตัวกลางเลเซอร์อยู่ในรูปของแก๊สหรือแก๊สผสม เช่น ฮีเลียมนีออนเลเซอร์ซึ่งเป็นแก๊สเลเซอร์เครื่องแรก คาร์บอนไดออกไซด์เลเซอร์ อาร์กอนเลเซอร์ ไนโตรเจนเลเซอร์ซึ่งเป็นเลเซอร์ชนิดที่ตัวกลางเลเซอร์เป็นแก๊สที่พบมากที่สุดใ้อากาศจึงสามารถทำงานได้ที่ความดันบรรยากาศ เป็นต้น

เอกสารนี้เป็นเอกสารที่สงวนไว้สำหรับการใช้งานเพื่อการศึกษาเท่านั้น ไม่อนุญาตให้นำไปใช้ประโยชน์ด้านการค้า ไม่ว่าจะกรณีใดๆทั้งสิ้น อีกทั้งห้ามมิให้ดัดแปลงเนื้อหา และต้องอ้างอิงถึงเจ้าของเอกสารทุกครั้งที่มีการนำไปใช้

ในปี พ.ศ. 2517 ศ.ดร.สมศักดิ์ ปัญญาแก้ว[1] อาจารย์คณะวิศวกรรมศาสตร์จุฬาลงกรณ์มหาวิทยาลัย ได้เริ่มมีแนวคิดที่จะสร้างเลเซอร์ขึ้นในประเทศไทย แต่ประสบปัญหาเรื่องงบประมาณจึงทำให้การสร้างเลเซอร์ล่าช้ามาก แต่ก็สามารถสร้างคาร์บอนไดออกไซด์เลเซอร์ตัวแรกได้สำเร็จและทดลองใช้งานในปี พ.ศ. 2523 นับเป็นจุดเริ่มต้นของวงการเลเซอร์ในประเทศไทย ซึ่งต่อมามีผู้สนใจในการสร้างและพัฒนาเลเซอร์ชนิดต่าง ๆ มากขึ้น ในโตรเจนเลเซอร์ก็เป็นแก๊สเลเซอร์อีกชนิดหนึ่ง ที่สร้างได้โดยใช้วัสดุอุปกรณ์ภายในประเทศ ทำให้ลดต้นทุนในการผลิตลงและไม่ยุ่งยากมากนักในการสร้าง อีกทั้งตัวกลางเลเซอร์ซึ่งเป็นแก๊สไนโตรเจนยังเป็นแก๊สที่พบมากในอากาศ จึงเป็นเลเซอร์ที่ทำงานได้ที่ความดันบรรยากาศ โดยไม่ต้องจัดสร้างระบบสุญญากาศขึ้น ทั้งยังให้แสงในย่านอัลตราไวโอเล็ต (337.1 นาโนเมตร) ซึ่งเป็นย่านที่มีความเหมาะสมที่จะนำไปใช้ในการปั๊มระบบคายเลเซอร์ เพื่อให้เกิดแสงเลเซอร์ในช่วงที่ตามองเห็นได้ และยังเป็นเลเซอร์ชนิดที่สามารถปรับความยาวคลื่นได้อีกด้วย จึงเหมาะที่จะนำไปใช้งานด้านต่าง ๆ ที่ต้องการแสงที่อยู่ในช่วงที่ตามองเห็น และสามารถปรับความยาวคลื่นได้ เช่น ใช้ในวงการแพทย์ หรือในงานด้านสเปกโตรสโคปี เป็นต้น

## 1.2 ทฤษฎีหรือแนวคิดที่ใช้ในงานวิจัย

จากการศึกษาพบว่าไนโตรเจนเลเซอร์แบบกระตุ้นตามขวางที่ความดันบรรยากาศให้แสงในย่านอัลตราไวโอเล็ตความยาวคลื่น 337.1 นาโนเมตร ซึ่งเป็นย่านที่เหมาะสมที่จะนำมาใช้เป็นตัวเพิ่มพลังงานให้กับระบบคายเลเซอร์เป็นอย่างยิ่ง เนื่องมาจากคายเลเซอร์เป็นเลเซอร์ชนิดของเหลวที่มีตัวกลางเลเซอร์เป็นสารละลายสีย้อมผ้านั้น เป็นเลเซอร์ชนิดที่ต้องใช้แสงเป็นตัวเพิ่มพลังงาน (Optical Pumping) ให้กับระบบ ซึ่งทำได้ 2 วิธีคือ ใช้แสงจากหลอดไฟฟลูออเรสเซนต์ หรือใช้แสงจากเลเซอร์ชนิดอื่นเป็นตัวเพิ่มพลังงาน โดยแสงที่จะนำมาใช้เป็นตัวเพิ่มพลังงานให้ระบบคายเลเซอร์นั้น จะต้องเป็นแสงที่มีความยาวคลื่นที่เหมาะสมกับช่วงการดูดกลืนและปลดปล่อยแสงของสารคายที่นำมาใช้เป็นตัวกลางของคายเลเซอร์ ในงานวิจัยนี้พิจารณาเฉพาะสารคายชนิด โรดามีน 6 จี (Rhodamine 6 G) ทำละลายในเอทิลแอลกอฮอล์เป็นตัวกลางเลเซอร์ ซึ่งมีการปลดปล่อยแสงอยู่ในช่วงความยาวคลื่น 570-610 นาโนเมตร[3] ผู้วิจัยจึงได้สร้างไนโตรเจนเลเซอร์แบบกระตุ้นตามขวางที่ความดันบรรยากาศขึ้น เพื่อใช้สำหรับปั๊มระบบคายเลเซอร์ เพื่อให้ได้แสงในช่วงที่ตามองเห็นได้ เพื่อเป็นพื้นฐานสำหรับผู้สนใจจะได้นำไปพัฒนาและประยุกต์ใช้งานต่อไป

### 1.3 วัตถุประสงค์ของงานวิจัย

- 1.3.1 สามารถออกแบบและสร้างไนโตรเจนเลเซอร์แบบกระตุ้นตามขวางที่ความดันบรรยากาศได้
- 1.3.2 สามารถออกแบบและสร้างวงจรควบคุมจังหวะการเกิดไนโตรเจนเลเซอร์แบบกระตุ้นตามขวางที่ความดันบรรยากาศจากชุดจุกระเบิดหัวเทียน
- 1.3.3 ศึกษาสมบัติของไนโตรเจนเลเซอร์แบบกระตุ้นตามขวางที่ความดันบรรยากาศที่ควบคุมจังหวะการเกิดแสงเลเซอร์จากชุดจุกระเบิดหัวเทียน
- 1.3.4 สามารถนำแสงจากไนโตรเจนเลเซอร์แบบกระตุ้นตามขวางที่ความดันบรรยากาศไปใช้กระตุ้นระบบคายเลเซอร์ได้

### 1.4 ขอบเขตของงานวิจัย

งานวิจัยนี้จะทำการสร้างชุดจ่ายไฟฟ้าแรงดันสูงสามารถปรับค่าได้ตั้งแต่ 0-15 กิโลโวลต์ เพื่อเป็นแหล่งจ่ายพลังงานให้กับชุดไนโตรเจนเลเซอร์แบบกระตุ้นตามขวางที่ความดันบรรยากาศที่ออกแบบและสร้างขึ้น โดยควบคุมจังหวะการเกิดแสงเลเซอร์ในช่วง 0.5-10 Hz ด้วยชุดจุกระเบิดหัวเทียน สามารถปรับระยะห่างระหว่างสปาร์กแก๊ปตั้งแต่ 0-8 มิลลิเมตร ควบคุมอัตราการไหลของแก๊สได้ตั้งแต่ 0.25-15 ลิตร/นาที เมื่อจ่ายแรงดันไฟฟ้าตั้งแต่ 12-14.5 กิโลโวลต์ ศึกษาสมบัติของลำแสงไนโตรเจนเลเซอร์ นำแสงจากไนโตรเจนเลเซอร์แบบกระตุ้นตามขวางที่ความดันบรรยากาศไปกระตุ้นสารละลายคาย สังเกตผลที่เกิดขึ้น สรุปและวิเคราะห์ผล

### 1.5 ขั้นตอนการดำเนินงาน

#### 1.5.1 แผนการดำเนินงานแบ่งเป็นขั้นตอนต่าง ๆ ดังนี้

- ขั้นตอนที่ 1 ศึกษาทฤษฎีและหลักการโดยทั่วไปของไนโตรเจนเลเซอร์และคายเลเซอร์
- ขั้นตอนที่ 2 ศึกษาหลักการออกแบบส่วนประกอบต่าง ๆ ของไนโตรเจนเลเซอร์สำหรับปีมระบบคายเลเซอร์
- ขั้นตอนที่ 3 ออกแบบและสร้างชุดจ่ายไฟฟ้าแรงดันสูงให้แก่ระบบไนโตรเจนเลเซอร์
- ขั้นตอนที่ 4 ออกแบบและสร้างชุดไนโตรเจนเลเซอร์แบบกระตุ้นตามขวางที่ความดันบรรยากาศ

เอกสารนี้เป็นเอกสารที่สงวนไว้สำหรับการใช้งานเพื่อการศึกษาเท่านั้น ไม่อนุญาตให้นำไปใช้ประโยชน์ด้านการค้า ไม่ว่ากรณีใดๆทั้งสิ้น อีกทั้งห้ามมิให้ดัดแปลงเนื้อหา และต้องอ้างอิงถึงเจ้าของเอกสารทุกครั้งที่มีการนำไปใช้

ขั้นตอนที่ 5 ออกแบบและสร้างวงจรควบคุมจังหวะการเกิดไนโตรเจนเลเซอร์จากชุดจุดระเบิดหัวเทียน

ขั้นตอนที่ 6 ศึกษาสมบัติของไนโตรเจนเลเซอร์แบบกระตุ้นตามขวางที่ความดันบรรยากาศที่ควบคุมจังหวะการเกิดแสงเลเซอร์จากชุดจุดระเบิดหัวเทียน

ขั้นตอนที่ 7 นำชุดไนโตรเจนเลเซอร์แบบกระตุ้นตามขวางที่ความดันบรรยากาศที่ควบคุมจังหวะการเกิดแสงเลเซอร์จากชุดจุดระเบิดหัวเทียนไปป้อนระบบคายเลเซอร์

ขั้นตอนที่ 8 ปรับปรุงและแก้ไขข้อบกพร่องต่าง ๆ ที่พบ

ขั้นตอนที่ 9 สรุปการทำวิทยานิพนธ์ และแนวทางในการพัฒนาต่อไปในอนาคต

### 1.5.2 ระยะเวลาที่ใช้ในการดำเนินการในแต่ละขั้นตอน

ลำดับ \ เดือนที่	1	2	3	4	5	6	7	8	9	10	11	12
ขั้นตอนที่ 1	←→											
ขั้นตอนที่ 2	←→											
ขั้นตอนที่ 3		←→										
ขั้นตอนที่ 4		←→										
ขั้นตอนที่ 5			←→									
ขั้นตอนที่ 6				←→								
ขั้นตอนที่ 7					←→							
ขั้นตอนที่ 8						←→						
ขั้นตอนที่ 9							←→					

### 1.6 ประโยชน์ที่คาดว่าจะได้รับ

1.6.1 สามารถสร้างและพัฒนาไนโตรเจนเลเซอร์แบบกระตุ้นตามขวางที่ความดันบรรยากาศให้มีประสิทธิภาพที่ดี และควบคุมจังหวะการเกิดแสงเลเซอร์ได้

1.6.2 เป็นการพัฒนาเทคโนโลยีทางด้านเลเซอร์ โดยใช้วัสดุอุปกรณ์ที่หาได้ภายในประเทศ

1.6.3 สามารถนำไนโตรเจนเลเซอร์แบบกระตุ้นตามขวางไปป้อนระบบคายเลเซอร์เพื่อให้ได้แสงในช่วงที่ตามองเห็นได้

1.6.4 เป็นพื้นฐานสำหรับผู้สนใจที่จะทำการพัฒนาระบบให้ดีขึ้น หรือนำไปใช้ประโยชน์ในด้านต่าง ๆ ต่อไป

## บทที่ 2

# งานวิจัยและทฤษฎีที่เกี่ยวข้อง

บทนี้ได้นำเสนอหลักการพื้นฐานในการเกิดแสงเลเซอร์โดยทั่วไป หลักการในการเกิดในโคโรเจนเลเซอร์ และหลักการในการเกิดคายเลเซอร์ รวมถึงงานวิจัยต่าง ๆ ที่เกี่ยวข้อง โดยจัดแบ่งรายละเอียดต่าง ๆ ตามลำดับดังต่อไปนี้

### 2.1 งานวิจัยและทฤษฎีของเลเซอร์ทั่วไป

หลังจากที่ไอน์สไตน์ (Einstein) ได้อธิบายหลักการเปล่งแสงแบบถูกกระตุ้น (Stimulated Emission) ของโฟตอนในอะตอมในปี ค.ศ. 1917 แล้วนั้น กอร์ดอนและคณะ(Gordon and Other)[2] แห่งมหาวิทยาลัยโคลัมเบีย สหรัฐอเมริกาก็ได้สร้างเมเซอร์ (Maser) ซึ่งมาจากคำเต็มว่า Microwave Amplification by Stimulated Emission of Radiation สำเร็จเป็นครั้งแรกในปี ค.ศ. 1954 โดยอาศัยหลักการของการเปล่งแสงแบบถูกกระตุ้นให้แสงในย่านไมโครเวฟ และในปี ค.ศ. 1960 ไมมานแห่งห้องปฏิบัติการวิจัยของบริษัทอีวีสแห่งสหรัฐอเมริกา ได้สร้างเลเซอร์ที่บีมที่ให้แสงสีชมพูมีความยาวคลื่น 694.3 นาโนเมตร สำเร็จเป็นเครื่องแรก นับเป็นจุดเริ่มต้นของการสร้างและพัฒนาเลเซอร์ชนิดต่าง ๆ ต่อมา โดยสารที่จะนำมาใช้เป็นตัวกลางเลเซอร์ จะต้องมีคุณสมบัติพิเศษที่สามารถทำให้เกิดประชากรผกผัน (Population Inversion) ขึ้นภายในเนื้อสาร และสามารถทำให้เกิดขบวนการเปลี่ยนแปลงระดับพลังงานของอะตอมหรือโมเลกุลด้วยการเปล่งแสงแบบถูกกระตุ้นได้

การเรียกชื่อเลเซอร์ชนิดต่าง ๆ ก็จะเรียกตามชื่อของตัวกลางเลเซอร์นั้น ๆ เช่น ระบบเลเซอร์ที่มีตัวกลางเลเซอร์เป็นแก๊สผสมระหว่างฮีเลียมกับนีออน ก็จะเรียกฮีเลียมนีออนเลเซอร์ หรือเลเซอร์ที่มีตัวกลางเป็นแก๊สไนโตรเจนก็จะเรียกว่า ไนโตรเจนเลเซอร์ หรือเลเซอร์ที่มีตัวกลางเป็นสารละลายคายก็จะเรียกคายเลเซอร์ ซึ่งเลเซอร์ชนิดต่าง ๆ จะอาศัยหลักการพื้นฐานที่เหมือนกัน ดังนี้คือ

### 2.1.1 การเปล่งแสงแบบถูกกระตุ้น (Stimulated Emission)

จากการศึกษาทางกลศาสตร์ควอนตัม พบว่าระดับพลังงานของอะตอมหรือโมเลกุลจะมีค่าเป็นระดับขั้นที่ไม่ต่อเนื่องกัน โดยระดับพลังงานที่ต่ำที่สุดที่อิเล็กตรอนอยู่ได้อย่างเสถียรเรียกว่า สถานะพื้น (Ground State) ระดับพลังงานอื่น ๆ ที่มีระดับพลังงานสูงกว่านี้จะเรียกว่า สถานะกระตุ้น (Excited State) อิเล็กตรอนจะมีการเปลี่ยนระดับพลังงานจากระดับพลังงานที่ต่ำกว่าไปยังระดับพลังงานที่สูงกว่า หรือจากระดับพลังงานที่สูงกว่ามายังระดับพลังงานที่ต่ำกว่าได้ เมื่อมีการดูดกลืน หรือคายพลังงานออกมาในรูปของโฟตอน โดยผลต่างของระดับพลังงานทั้งสองระดับนั้นจะสัมพันธ์กับค่าความถี่ของแสงที่ถูกดูดกลืนหรือปลดปล่อยออกมดังสมการ

$$\Delta E = h\nu \quad (2.1)$$

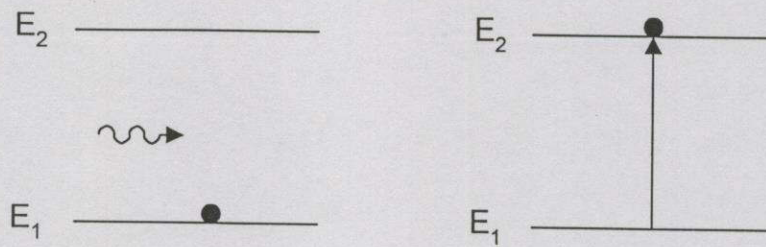
เมื่อ  $\Delta E = E_2 - E_1$   
 = ค่าผลต่างของระดับพลังงานสุดท้ายกับระดับพลังงานเริ่มต้น  
 $\nu$  = ความถี่ของแสงที่ถูกดูดกลืนหรือคายออกมา  
 $h$  = ค่าคงที่ของพลังค์ มีค่าเท่ากับ  $6.626 \times 10^{-34}$  J.s

การเปลี่ยนแปลงระดับพลังงานของอิเล็กตรอนจะอธิบายได้จากปรากฏการณ์ทางแสง 3 ปรากฏการณ์คือ

#### 2.1.1.1 การดูดกลืนแสง (Absorption)

ในสภาวะปกติอิเล็กตรอนจะอยู่ที่ระดับพลังงานที่ต่ำที่สุด ( $E_1$ ) แต่ถ้ามีโฟตอนที่มีค่าความถี่ที่เหมาะสมมากระตุ้น อิเล็กตรอนก็จะดูดกลืนพลังงานของโฟตอนนั้นแล้วเปลี่ยนสถานะไปยังระดับพลังงานที่สูงกว่า ( $E_2$ ) ดังแสดงในรูปที่ 2.1 อาจเรียกปรากฏการณ์นี้ว่าการดูดกลืนแสงแบบถูกกระตุ้น (Stimulated Absorption)

อัตราการเกิดการดูดกลืนแสงแบบถูกกระตุ้น (Stimulated Absorption Rate) จะแปรผันกับจำนวนอิเล็กตรอนที่สถานะพื้นและความหนาแน่นของพลังงานของโฟตอนที่เข้ามากระตุ้น ซึ่งเป็นไปตามความสัมพันธ์ดังสมการที่ (2.2)



รูปที่ 2.1 กระบวนการดูดกลืนแสง[4]

$$\text{อัตราการดูดกลืนแสงแบบถูกกระตุ้น} = B_{12}N_1\rho(\nu_{12}) \quad (2.2)$$

เมื่อ  $B_{12}$  = สัมประสิทธิ์การดูดกลืนแสง (Stimulated Absorption Coefficient)

$N_1$  = จำนวนอิเล็กตรอนที่ระดับพลังงาน  $E_1$

$\rho(\nu_{12})$  = ความหนาแน่นของพลังงานของโฟตอน (Photon Energy Density)

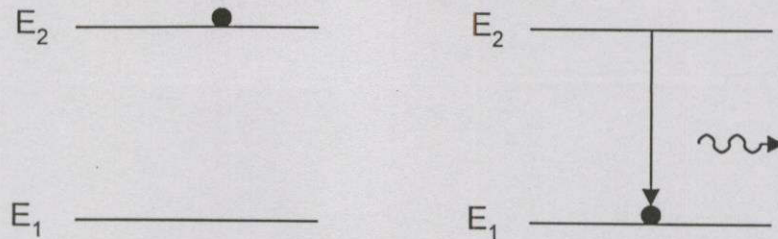
### 2.1.1.2 การเปล่งแสงแบบเกิดขึ้นเอง (Spontaneous Emission)

อิเล็กตรอนซึ่งอยู่ในสถานะกระตุ้น ( $E_2$ ) จะสามารถอยู่ในสถานะนี้ได้เพียงช่วงระยะเวลาหนึ่งซึ่งมีค่าเท่ากับค่าช่วงชีวิต (Life Time) เท่านั้น เมื่อหมดช่วงชีวิตแล้วก็จะตกลงมายังสถานะพื้น ( $E_1$ ) เองโดยจะปลดปล่อยโฟตอนออกมา ดังแสดงในรูปที่ 2.2 ซึ่งอัตราการเกิดการเปล่งแสงแบบเกิดขึ้นเองนี้จะมีสัดส่วนตามจำนวนอิเล็กตรอนที่ชั้นพลังงาน  $E_2$  คือ  $N_2$  เท่านั้น ดังนั้น

$$\text{อัตราการเปล่งแสงแบบเกิดขึ้นเอง} = A_{21}N_2 \quad (2.3)$$

เมื่อ  $A_{21}$  = สัมประสิทธิ์การเปล่งแสงแบบเกิดขึ้นเอง  
(Spontaneous Emission Coefficient)

$N_2$  = จำนวนอิเล็กตรอนที่ระดับพลังงาน  $E_2$



รูปที่ 2.2 กระบวนการเปล่งแสงแบบเกิดขึ้นเอง[4]

### 2.1.1.3 การเปล่งแสงแบบถูกกระตุ้น (Stimulated Emission)

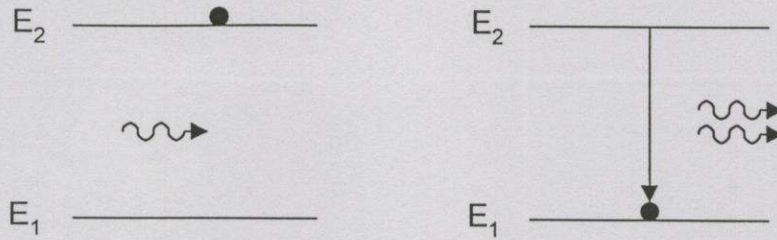
ในกรณีที่อิเล็กตรอนอยู่ในสถานะกระตุ้น ( $E_2$ ) ยังไม่ถึงเวลาที่อิเล็กตรอนจะตกลงสู่สถานะพื้น ( $E_1$ ) แต่มีโฟตอนซึ่งมีค่าพลังงานเท่ากับผลต่างของระดับพลังงานในสถานะกระตุ้นและสถานะพื้นเข้ามา จะทำให้อิเล็กตรอนที่สถานะกระตุ้นตกลงมายังสถานะพื้นและปลดปล่อยโฟตอนออกมาอย่างทันทีทันใด โดยโฟตอนที่ปลดปล่อยออกมานี้จะมีความถี่และเฟสที่เหมือนกับโฟตอนที่เข้ามา กระตุ้นทุกประการ ดังแสดงในรูปที่ 2.3 การเปล่งแสงแบบนี้จึงเรียกว่าการเปล่งแสงแบบถูกกระตุ้น ถ้าโฟตอนที่ฉายเข้ามาในระบบมีความหนาแน่นของพลังงาน  $\rho(\nu_{12})$  อัตราการเปล่งแสงแบบถูกกระตุ้นจะแปรผันกับจำนวนอิเล็กตรอนในชั้นพลังงาน  $E_2$  และ ความหนาแน่นของพลังงานที่มากระตุ้น ดังนั้นอัตราการเกิดการเปล่งแสงแบบถูกกระตุ้นจะเป็นไปตามความสัมพันธ์ดังนี้

$$\text{อัตราการเปล่งแสงแบบถูกกระตุ้น} = B_{21}N_2\rho(\nu_{12}) \quad (2.4)$$

โดย  $B_{21}$  = สัมประสิทธิ์การเปล่งแสงแบบถูกกระตุ้น  
(Stimulated Emission Coefficient)

และ  $B_{21} = B_{12}$

การเปล่งแสงแบบถูกกระตุ้นนี้เองที่เป็นหลักการอย่างหนึ่งในการที่ทำให้แสงเลเซอร์มีเฟสเดียวกัน มีค่าความถี่เดียวและยังเป็นที่มาของคำว่า Light Amplification ด้วย เนื่องจากว่าโฟตอนที่เข้าไปกระตุ้น 1 ตัว จะทำให้ได้โฟตอนเพิ่มขึ้นมาอีก 1 ตัวเป็น 2 ตัว คือเกิดการขยายแสงนั่นเอง ซึ่งการเปล่งแสงแบบถูกกระตุ้นนี้จะป็นพื้นฐานที่สำคัญประการหนึ่งในการเกิดแสงเลเซอร์ทุกชนิด



รูปที่ 2.3 กระบวนการเปล่งแสงแบบถูกกระตุ้น[4]

ในสภาวะสมดุลเชิงความร้อนอัตราการดูดกลืนแสงและอัตราการเปล่งแสงจะสมดุลกัน เพื่อให้จำนวน  $N_1 + N_2$  มีค่าคงที่ ซึ่งจะได้ว่า

อัตราการดูดกลืนแสง = อัตราการเปล่งแสงแบบเกิดขึ้นเอง  
+ อัตราการเปล่งแสงแบบถูกกระตุ้น

จากสมการที่ (2.2), (2.3) และ (2.4) จะได้ว่า

$$B_{12}N_1\rho(\nu_{12}) = A_{21}N_2 + B_{21}N_2\rho(\nu_{12}) \quad (2.5)$$

ไอน์สไตน์ (Einstein) เป็นผู้ริบชาความสัมพัทธ์ในสมการที่ (2.5) จึงเรียกค่าสัมประสิทธิ์  $B_{12}$ ,  $A_{21}$  และ  $B_{21}$ ) ว่าเป็น Einstein Coefficients

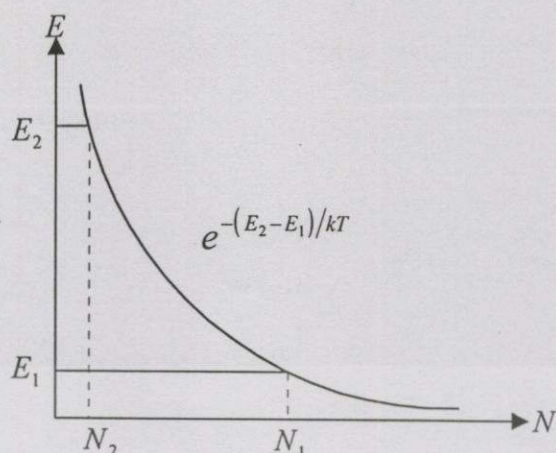
### 2.1.2. การเกิดประชากรผกผัน (Population Inversion)

เมื่อพิจารณาระบบที่มีระดับพลังงานเพียง 2 ระดับพลังงาน คือ  $E_1$  และ  $E_2$  (โดย  $E_2 > E_1$ ) และแต่ละระดับพลังงานมีจำนวนอะตอมเป็น  $N_1$  และ  $N_2$  ตามลำดับ ที่สภาวะสมดุลเชิงความร้อน สัดส่วนของจำนวนอะตอมในแต่ละระดับพลังงานจะเป็นไปตามหลักการกระจายแบบโบลท์ซมาน (Boltzmann Distribution) ดังสมการ

$$\frac{N_2}{N_1} = e^{-(E_2 - E_1)/kT} \quad (2.6)$$

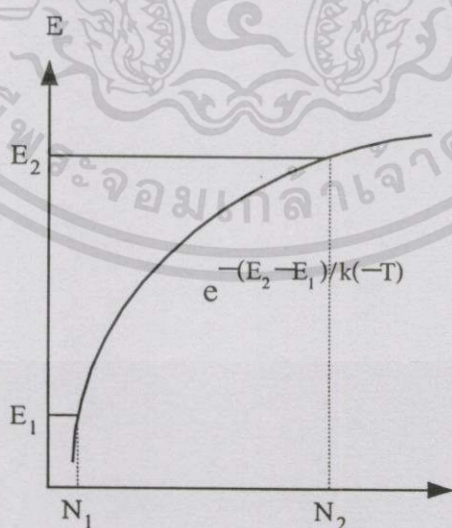
เมื่อ  $k$  = ค่าคงที่ของโบลท์ซมาน

$T$  = อุณหภูมิสัมบูรณ์



รูปที่ 2.4 การกระจายแบบโบลต์ซมานของจำนวนอะตอมที่ระดับพลังงาน  $E_1$  และ  $E_2$  ที่สภาวะสมดุลเชิงความร้อน

ความสัมพันธ์ในสมการที่ (2.6) เมื่อนำมาเขียนกราฟจะได้ดังรูปที่ 2.4 ซึ่งจะเห็นได้อย่างชัดเจนว่าในสภาวะสมดุลเชิงความร้อน ที่ระดับพลังงานต่ำจะมีจำนวนอะตอมมากกว่าที่ระดับพลังงานสูง ( $N_1 > N_2$ ) ดังนั้นถ้าฉายโฟตอนเข้าไปในระบบก็จะทำให้เกิดการดูดกลืนแสงมากกว่าที่จะเกิดการเปล่งแสง แต่ถ้าทำการรบกวนระบบจนทำให้เกิดเงื่อนไข  $N_2 > N_1$  แล้วเมื่อทำการฉายโฟตอนเข้าไปในระบบก็จะทำให้เกิดการเปล่งแสงแบบถูกกระตุ้นมากกว่าการดูดกลืนแสง จากสมการที่ (2.6) พบว่าจะเกิดเงื่อนไขนี้ได้เมื่อ  $T$  มีค่าติดลบ จึงอาจเรียกสภาวะของระบบเช่นนี้ว่าเป็น Negative Temperature และเรียกสภาวะที่เกิดเงื่อนไข  $N_2 > N_1$  ว่า เกิดการผกผันของประชากร ดังรูปที่ 2.5



รูปที่ 2.5 การเกิดประชากรผกผัน

เอกสารนี้เป็นเอกสารที่สงวนไว้สำหรับการใช้งานเพื่อการศึกษาเท่านั้น ไม่อนุญาตให้นำไปใช้ประโยชน์ด้านการค้า ไม่ว่ากรณีใดๆทั้งสิ้น อีกทั้งห้ามมิให้ดัดแปลงเนื้อหา และต้องอ้างอิงถึงเจ้าของเอกสารทุกครั้งที่มีการนำไปใช้

พิจารณาสัดส่วนของอัตราการเกิดการเปล่งแสงแบบถูกกระตุ้นต่ออัตราการดูดกลืนแสงแบบถูกกระตุ้น (สมการที่ 2.4 และ 2.2 ตามลำดับ) จะได้ว่า

$$\frac{\text{อัตราการเปล่งแสงแบบถูกกระตุ้น}}{\text{อัตราการดูดกลืนแสงแบบถูกกระตุ้น}} = \frac{B_{21} N_2 \rho(\nu_{12})}{B_{12} N_1 \rho(\nu_{12})}$$

เมื่อ  $B_{21} = B_{12}$  จะได้ว่า

$$\frac{\text{อัตราการเปล่งแสงแบบถูกกระตุ้น}}{\text{อัตราการดูดกลืนแสงแบบถูกกระตุ้น}} = \frac{N_2}{N_1} \quad (2.7)$$

จากสมการที่ (2.7) จะแสดงให้เห็นว่า ถ้า  $N_2 > N_1$  แล้ว จะทำให้ระบบเกิดการเปล่งแสงแบบถูกกระตุ้นในอัตราที่มากกว่าการเกิดการดูดกลืนแสงแบบถูกกระตุ้น ซึ่งปรากฏการณ์ที่  $N_2 > N_1$  นี้เรียกว่าการเกิดประชากรผกผัน การทำให้เกิดประชากรผกผันมีหลักการที่สำคัญคือต้องเพิ่มพลังงานให้แก่อะตอมหรือโมเลกุลของตัวกลางเลเซอร์ ซึ่งในทางปฏิบัติ ได้แก่การใช้แสงที่มีความหนาแน่นสูงเป็นตัวเพิ่มพลังงาน (Optical Pumping) การทำแก๊สดีสชาร์จ การกระตุ้นโดยใช้แสงเลเซอร์ชนิดอื่นเป็นแหล่งพลังงาน เป็นต้น ซึ่งจะเรียกการเพิ่มพลังงานให้กับระบบด้วยวิธีการต่างๆ นี้ว่า Energy Pumping

### 2.1.3. ตัวสั่นพ้องเชิงทัศน (Optical Resonator)

ระบบเลเซอร์ โดยทั่วไปแล้วจำเป็นต้องมีตัวสั่นพ้องเชิงทัศน ซึ่งประกอบด้วยกระจกเคลือบสารไดอิเล็กตริกที่มีสัมประสิทธิ์การสะท้อนกลับ 100 % (กระจกหลัง) และมีค่าอยู่ระหว่าง 65 – 95 % (กระจกหน้า) เพื่อทำหน้าที่ให้โฟตอนที่เกิดจากขบวนการเปล่งแสงแบบเกิดขึ้นเองสะท้อนกลับไปมาผ่านตัวกลางเลเซอร์ทำให้โฟตอนมีความเข้มสูงมากขึ้น ซึ่งจะทำให้อัตราการเกิดการเปล่งแสงแบบถูกกระตุ้นเพิ่มสูงขึ้น แต่ในสภาวะสมดุลเชิงความร้อนพบว่าอัตราการเปล่งแสงแบบเกิดขึ้นเองจะมากกว่าอัตราการเปล่งแสงแบบถูกกระตุ้นมาก ซึ่งพิจารณาได้จากสัดส่วนระหว่างอัตราการเปล่งแสงแบบถูกกระตุ้นต่ออัตราการเปล่งแสงแบบเกิดขึ้นเอง (สมการที่ 2.4 และ 2.3 ตามลำดับ) พบว่าจะนำไปตามสมการที่ (2.8)

$$\frac{\text{อัตราการเปล่งแสงแบบถูกกระตุ้น}}{\text{อัตราการเปล่งแสงแบบเกิดขึ้นเอง}} = \frac{B_{21}N_2\rho(\nu_{12})}{A_{21}N_2} = \frac{B_{21}}{A_{21}}\rho(\nu_{12}) \quad (2.8)$$

จากสมการที่ (2.5) จัดรูปใหม่จะได้  $\rho(\nu_{12}) = \frac{A_{21}/B_{21}}{(B_{12}N_1/B_{21}N_2) - 1} \quad (2.9)$

แทนค่า  $(N_1/N_2)$  จากสมการที่ (2.6) จะได้

$$\rho(\nu_{12}) = \frac{A_{21}/B_{21}}{B_{12}/B_{21} \exp(h\nu/kT) - 1} \quad (2.10)$$

พิจารณาการแผ่รังสีในวัตถุดำ [4]  $\rho(\nu_{12}) = \frac{8\pi h\nu^3}{c^3} \left( \frac{1}{\exp(h\nu/kT) - 1} \right) \quad (2.11)$

เปรียบเทียบสมการที่ (2.10) กับ (2.11) จะได้ว่า  $\frac{B_{21}}{A_{21}} = \frac{c^3}{8\pi h\nu^3} \quad (2.12)$

สัดส่วนของอัตราการเปล่งแสงแบบถูกกระตุ้นต่ออัตราการเปล่งแสงแบบเกิดขึ้นเองจะมีความสัมพันธ์ดังนี้

$$\frac{\text{อัตราการเปล่งแสงแบบถูกกระตุ้น}}{\text{อัตราการเปล่งแสงแบบเกิดขึ้นเอง}} = \frac{1}{\exp(h\nu/kT) - 1} \quad (2.13)$$

ความสัมพันธ์ในสมการที่ (2.13) พบว่าที่สภาวะสมดุลเชิงความร้อนอัตราส่วนระหว่างการเปล่งแสงแบบถูกกระตุ้นกับอัตราการเปล่งแสงแบบเกิดขึ้นเองจะมีค่าที่น้อยมาก เช่น แสงที่มีความถี่  $4.74 \times 10^{14}$  เฮิร์ต ที่อุณหภูมิ 370 เคลวิน สัดส่วนของอัตราการเปล่งแสงแบบถูกกระตุ้นต่ออัตราการเปล่งแสงแบบเกิดขึ้นเองจะมีค่าประมาณ  $10^{-27}$  [4] นั่นคือเกือบจะไม่มี การเปล่งแสงแบบถูกกระตุ้นเลย ซึ่งจะทำให้ระบบไม่เกิดแสงเลเซอร์ แต่จากสมการที่ (2.8) แสดงให้เห็นว่าถ้าต้องการให้เกิดอัตราการเปล่งแสงแบบถูกกระตุ้น

เอกสารนี้เป็นเอกสารที่สงวนไว้สำหรับการใช้งานเพื่อการศึกษาเท่านั้น ไม่อนุญาตให้นำไปใช้ประโยชน์ด้านการค้า ไม่ว่ากรณีใดๆทั้งสิ้น อีกทั้งห้ามมิให้ดัดแปลงเนื้อหา และต้องอ้างอิงถึงเจ้าของเอกสารทุกครั้งที่มีการนำไปใช้

ในอัตราที่มากกว่าอัตราการเกิดการเปล่งแสงแบบเกิดขึ้นเองแล้วนั้น จะต้องมียุทตอนที่มีความหนาแน่นของพลังงาน  $\rho(v_{12})$  สูงมาก ๆ เข้าไปในระบบ ทำให้โดยการเพิ่มความยาวของตัวกลางเลเซอร์ออกไปมาก ๆ เพื่อให้เกิดการขยายความเข้มของพลังงาน แต่ในทางปฏิบัติจะมีความยุ่งยากในการจัดวางระบบอย่างมาก จึงใช้วิธีการจัดวางกระจก 2 บานไว้ที่ปลายทั้งสองด้านของระบบเลเซอร์แทน เพื่อให้แสงเกิดการสะท้อนกลับไปกลับมาอยู่ภายในตัวกลางเลเซอร์ เป็นเสมือนการเพิ่มความยาวของระยะทางในการเคลื่อนที่ของแสง และทำให้มีความหนาแน่นของพลังงานมีค่ามากขึ้นนั่นเอง ซึ่งจะมีผลให้เกิดการเปล่งแสงแบบถูกกระตุ้นที่มากกว่าเกิดการเปล่งแสงแบบเกิดขึ้นเอง การจัดวางตัวสันพ้องเชิงทัศนศาสตร์แสดงดังรูปที่ 2.6 ซึ่งแสดงถึงตัวสันพ้องเชิงทัศนศาสตร์ ที่ประกอบด้วยกระจกเว้า 2 บาน ที่วางห่างกันเป็นระยะทาง  $L$  โดยกระจก  $M_1$  และ  $M_2$  มีรัศมีความโค้ง  $r_1$  และ  $r_2$  ตามลำดับ

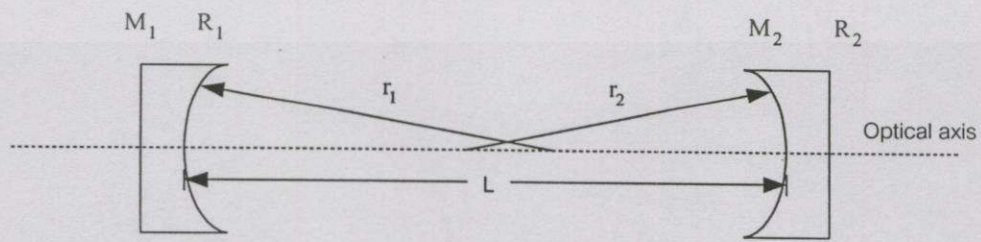
ในการวิเคราะห์ตัวสันพ้องเชิงทัศนศาสตร์หนึ่ง ๆ ว่าจะมีลักษณะที่มีการสูญเสียต่ำ (Low Loss) หรือจะไม่พิจารณาจากค่า  $g$ -parameter ซึ่งเป็นปริมาณที่ไม่มีหน่วย โดยระบบที่มีเสถียรภาพจะมีเงื่อนไขดังสมการที่(2.14)

$$0 \leq g_1 g_2 \leq 1 \tag{2.14}$$

เมื่อ  $g_1 = 1 - \frac{L}{r_1}$  สำหรับกระจก  $M_1$

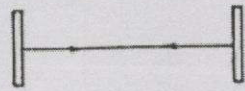
และ  $g_2 = 1 - \frac{L}{r_2}$  สำหรับกระจก  $M_2$

จากสมการที่ (2.14) ถ้า  $0 < g_1 g_2 < 1$  ระบบจะมีเสถียรภาพที่ดี แต่ถ้าหากว่า  $g_1 g_2 < 0$  หรือ  $g_1 g_2 > 1$  พบว่าระบบจะไม่มีเสถียรภาพ (Unstable) คือเมื่อเกิดการสะท้อนภายในระบบจะทำให้เกิดการสูญเสียมาก (High Loss) ซึ่งมีผลทำให้ไม่เกิดแสงเลเซอร์ขึ้น การจัดวางกระจกมีด้วยกันหลายแบบ แต่จะต้องจัดวางให้เป็นไปตามเงื่อนไขดังสมการที่ (2.14) จึงจะทำให้เกิดแสงเลเซอร์ที่มีเสถียรภาพที่ดี

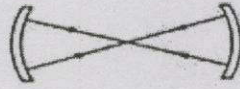


รูปที่ 2.6 ตัวสันพ้องเชิงทัศนศาสตร์ที่ประกอบด้วยกระจก 2 บาน  $M_1$  และ  $M_2$  มีค่าสัมประสิทธิ์การสะท้อน  $R_1$  และ  $R_2$  และมีรัศมีความโค้งเป็น  $r_1$  และ  $r_2$  ตามลำดับ

เอกสารนี้เป็นเอกสารที่สงวนไว้สำหรับกรใช้งานเพื่อการศึกษาเท่านั้น ไม่นอนุญาตให้นำไปใช้ประโยชน์ด้านการค้า ไม่ว่ากรณีใดๆทั้งสิ้น อีกทั้งห้ามมิให้ดัดแปลงเนื้อหา และต้องอ้างอิงถึงเจ้าของเอกสารทุกครั้งที่มีการนำไปใช้



plane-parallel resonator  
 $R_1 = R_2 = \infty$   
 $g_1 g_2 = 1$



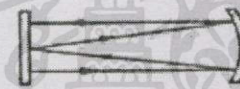
spherical resonator (concentric)  
 $R_1 = R_2 = L/2$   
 $g_1 g_2 = 1$



hemispherical resonator  
 $R_1 = \infty, R_2 = L$   
 $g_1 g_2 = 0$



confocal resonator  
 $R_1 = R_2 = L$   
 $g_1 g_2 = 0$



hemiconfocal resonator  
 $R_1 = \infty, R_2 = 2L$   
 $g_1 g_2 = 1/2$



$R_1 = R_2 = L/3$   
 $g_1 g_2 = 4$



$R_1 = R_2 = -L$   
 $g_1 g_2 = 4$



$R_1 = L/2, R_2 = -L$   
 $g_1 g_2 = -2$



$R_1 = -L, R_2 = \infty$   
 $g_1 g_2 = 2$

รูปที่ 2.7 การจัดวางตัวสั่นพ้องเชิงทัศนศาสตร์แบบต่าง ๆ [5]

เอกสารนี้เป็นเอกสารที่สงวนไว้สำหรับการใช้งานเพื่อการศึกษาเท่านั้น ไม่อนุญาตให้นำไปใช้ประโยชน์ด้านการค้า  
 ไม่ว่ากรณีใดๆทั้งสิ้น อีกทั้งห้ามมิให้ดัดแปลงเนื้อหา และต้องอ้างอิงถึงเจ้าของเอกสารทุกครั้งที่มีการนำไปใช้

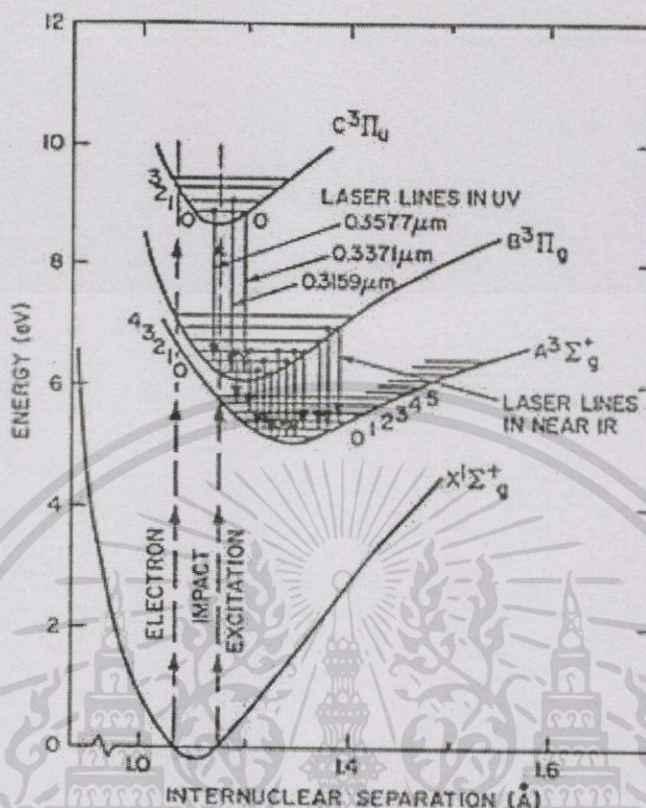
## 2.2 งานวิจัยและหลักการของไนโตรเจนเลเซอร์

ในปี ค.ศ. 1963 เฮิร์ด (Heard)[2] ได้สร้างไนโตรเจนเลเซอร์ที่ให้แสงเป็นพัลส์ในย่านอัลตราไวโอเล็ต มีความยาวคลื่น 337.1 นาโนเมตร สำเร็จเป็นเครื่องแรก หลังจากนั้นก็มีผู้สนใจสร้างและพัฒนาไนโตรเจนเลเซอร์มากขึ้นแต่ยังทำงานที่ความดันต่ำ ซึ่งมีการกระตุ้นเป็นแบบพัลส์คิซซาร์จ (Pulse Discharge) มีด้วยกันสองลักษณะคือไนโตรเจนเลเซอร์แบบกระตุ้นตามยาว (Longitudinal Excitation  $N_2$  Laser:LE- $N_2$  Laser) ซึ่งเป็นแบบที่ให้ลำแสงเลเซอร์ในทิศทางเดียวกับสนามไฟฟ้า อีกแบบหนึ่งคือไนโตรเจนเลเซอร์แบบกระตุ้นตามขวาง (Transverse Excitation  $N_2$ -Laser:TE-  $N_2$  Laser) เป็นแบบที่ให้ลำแสงเลเซอร์ในทิศทางตั้งฉากกับสนามไฟฟ้า ต่อมาในปี ค.ศ. 1968 สเวดเบิร์ก(Svedberg)ได้สร้างระบบไนโตรเจนเลเซอร์แบบกระตุ้นตามขวางที่ความดันบรรยากาศ (Transversely Excited at Atmospheric Pressure  $N_2$  Laser:TEA  $N_2$  -Laser) สำเร็จเป็นเครื่องแรก ซึ่งนับเป็นจุดเริ่มต้นของการสร้างไนโตรเจนเลเซอร์แบบกระตุ้นตามขวางที่ความดันบรรยากาศ ซึ่งเป็นระบบที่ให้แสงเป็นพัลส์ช่วงสั้น ๆ มีกำลังสูง และที่สำคัญคือสามารถทำงานได้ที่ความดันบรรยากาศ จึงไม่ต้องจัดสร้างระบบสุญญากาศขึ้น

ในประเทศไทยเริ่มมีผู้สนใจและสร้างไนโตรเจนเลเซอร์สำเร็จเป็นเครื่องแรกในปี พ.ศ. 2527 โดย รศ.ดร.บัณฑิต ณ ลำพูน แห่งมหาวิทยาลัยเชียงใหม่ โดยไนโตรเจนเลเซอร์ที่สร้างขึ้นใช้แผ่นแก้วจำนวนสองแผ่นประกบเข้ากับขั้วไฟฟ้าสองแท่ง และให้ประจุแก่ตัวเก็บประจุจากสปาร์กแกปที่สร้างขึ้นแบบง่าย ๆ จะได้แสงเลเซอร์ที่มีความยาวคลื่น 337.1 นาโนเมตร มีความกว้างของพัลส์ 10 นาโนวินาที มีพลังงานที่แรงดันไฟฟ้า 16 กิโลโวลต์ 17 เมกกะวัตต์ ทำงานที่ความดัน 70 ทอร์ ต่อมาในปี พ.ศ. 2537 นาวาอากาศเอกไพโรจน์ ไตรรัตน์ ก็ได้สร้างไนโตรเจนเลเซอร์แบบกระตุ้นตามขวางที่ความดันบรรยากาศสำเร็จ โดยใช้วงจรถวลัมไลน์เป็นวงจรถูกกระตุ้น ซึ่งประกอบด้วยตัวเก็บประจุแผ่นขนานที่ทำด้วยแผ่นอลูมิเนียมฟอยล์และแผ่นไมลาร์ มีขั้วไฟฟ้าทำจากแท่งอลูมิเนียม แสงจากไนโตรเจนเลเซอร์มีลักษณะเป็นพัลส์วัดความยาวคลื่นได้ 337 นาโนเมตร วัดพลังงานที่แรงดันไฟฟ้า 11.1 กิโลโวลต์ ได้ 190 ไมโครจูล ทำงานที่ความดันบรรยากาศ แต่ยังไม่สามารถควบคุมจังหวะในการเกิดแสงเลเซอร์ได้[6]

ในงานวิจัยนี้จะทำการสร้างไนโตรเจนเลเซอร์แบบกระตุ้นตามขวางที่ความดันบรรยากาศ โดยใช้วงจรถวลัมไลน์เช่นเดียวกับที่นาวาอากาศเอกไพโรจน์ ไตรรัตน์จัดสร้างขึ้น แต่จะใช้ขั้วไฟฟ้าทำจากโลหะสแตนเลสตัดมุม 45 องศา ควบคุมจังหวะการเกิดไนโตรเจนเลเซอร์ด้วยชุดจุกระเบิดหัวเทียนปรับความถี่ได้ 0.5-10 เฮิร์ต และส่งผ่านแสงจากไนโตรเจนเลเซอร์ไปกระตุ้นสารละลายคาบซินิกโรดามิน 6 จี เพื่อให้เกิดคายเลเซอร์ ซึ่งการเกิดไนโตรเจนเลเซอร์นั้นจะอาศัยหลักการพื้นฐานเช่นเดียวกับเลเซอร์โดยทั่วไป โดยตัวกลางเลเซอร์ของไนโตรเจนเลเซอร์จะเป็นแก๊สไนโตรเจน ( $N_2$ ) ซึ่งถือว่าเป็นแก๊สที่มีความหนาแน่นมากในธรรมชาติ และมีระดับพลังงานแสดงดังรูปที่ 2.8

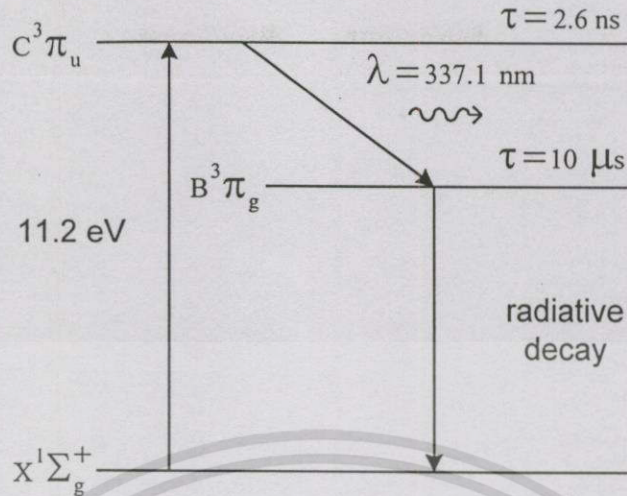
เอกสารนี้เป็นเอกสารที่สงวนไว้สำหรับการใช้งานเพื่อการศึกษาเท่านั้น ไม่อนุญาตให้นำไปใช้ประโยชน์ด้านการค้า ไม่ว่าจะกรณีใดๆทั้งสิ้น อีกทั้งห้ามมิให้ดัดแปลงเนื้อหา และต้องอ้างอิงถึงเจ้าของเอกสารทุกครั้งที่มีการนำไปใช้



รูปที่ 2.8 ระดับพลังงานในโมเลกุลของแก๊สไนโตรเจน ตัวยุคกษณ์  $X^1\Sigma^+$  จะแทนสถานะพื้น  $A^3\Sigma^+$ ,  $C^3\Pi_u$  และ  $B^3\Pi_u$  จะแทนสถานะกระตุ้น[7]

ระดับพลังงานในโมเลกุลของแก๊สไนโตรเจนดังแสดงในรูปที่ 2.8 จะแบ่งการเกิดแสงเลเซอร์ได้ 2 กลุ่มตามความยาวคลื่น[7] คือ กลุ่มแรกให้แสงในย่านอัลตราไวโอเลตมีความยาวคลื่น 0.3577, 0.3371 และ 0.3159 ไมโครเมตร ซึ่งเกิดจากการเปลี่ยนระดับพลังงานจากสถานะ  $C^3\Pi_u$  มายังสถานะ  $B^3\Pi_u$  และอีกกลุ่มให้แสงในย่านอินฟราเรดมีความยาวคลื่นระหว่าง 0.745 – 1.235 ไมโครเมตร เกิดจากการเปลี่ยนระดับพลังงานจากสถานะ  $B^3\Pi_u$  ไปยังสถานะ  $A^3\Sigma^+$

สำหรับงานวิจัยนี้จะสร้างไนโตรเจนเลเซอร์ที่เกิดจากการเปลี่ยนระดับพลังงานจากสถานะ  $C^3\Pi_u$  ไปยังสถานะ  $B^3\Pi_u$  ซึ่งให้แสงในย่านอัลตราไวโอเลตมีความเข้มมากที่สุดที่ความยาวคลื่น 0.3371 ไมโครเมตร เพื่อความสะดวกในการพิจารณาจึงเขียนระดับพลังงานของโมเลกุลไนโตรเจนจากรูปที่ 2.8 ใหม่ โดยแทนระดับพลังงานเป็นเส้นตรงดังรูปที่ 2.9



รูปที่ 2.9 ระดับพลังงาน 3 ระดับของโมเลกุลไนโตรเจน ให้แสงเลเซอร์ที่มีความยาวคลื่น 337.1 นาโนเมตร

เมื่อโมเลกุลไนโตรเจนในระดับพลังงาน  $X^1\Sigma_g^+$  (สถานะพื้น) ถูกกระตุ้นจะเปลี่ยนระดับพลังงานไปยัง  $C^3\Pi_u$  โดยผลต่างของระดับพลังงานทั้ง 2 นี้มีค่า 11.2 eV และจะเปลี่ยนระดับพลังงานจาก  $C^3\Pi_u$  มายัง  $B^3\Pi_g$  โดยปลดปล่อยโฟตอนที่มีความยาวคลื่น 337.1 นาโนเมตรออกมา จะเห็นว่าเงื่อนไขจำเป็นสำหรับเลเซอร์ที่ทำงานแบบต่อเนื่องคือค่าช่วงชีวิต (Life Time) ในระดับพลังงานชั้นบน (Upper Level) จะต้องยาวนานกว่าค่าช่วงชีวิตในระดับพลังงานชั้นล่าง (Lower Level) แต่ในกรณีของไนโตรเจนเลเซอร์มิได้เป็นเช่นนั้น กล่าวคือช่วงชีวิตของระดับพลังงานชั้นบนสั้นมากมีค่าเพียง 40 นาโนวินาทีที่ความดันต่ำ และ 2.6 นาโนวินาทีที่ความดันบรรยากาศ แต่ที่ระดับพลังงานชั้นล่างกลับมีช่วงชีวิตที่ยาวนานกว่าคือมีค่าถึง 10 ไมโครวินาที ด้วยเหตุนี้เองจึงเป็นขีดจำกัดที่ทำให้ไนโตรเจนเลเซอร์กำเนิดแสงแบบพัลส์ และการเกิดประชากรผกผันที่สภาวะสุดท้ายจะต้องเกิดขึ้นอย่างรวดเร็ว โดยมีเวลาน้อยกว่าค่าช่วงชีวิตของระดับพลังงานชั้นบน จากนั้นค่าประชากรผกผันก็จะลดลงจนถึงระดับที่ไม่ทำให้เกิดเลเซอร์ได้ ซึ่งจะเรียกว่า Self Terminating จึงมีผลให้ไนโตรเจนเลเซอร์กำเนิดแสงแบบพัลส์ (Pulse) ในช่วงเวลาที่สั้นมาก และมีความเข้มสูง เรียกว่าเป็นเลเซอร์ชนิด Amplified Spontaneous Emission ซึ่งทำให้เกิดแสงเลเซอร์ได้โดยไม่ต้องใช้กระจก (Mirrorless Lasing) นั่นเอง

## 2.3 งานวิจัยและหลักการของคายเลเซอร์

ในปี ค.ศ. 1966 โซโรกินและลานการ์ด (Sorokin and Lankard)[2] แห่งห้องปฏิบัติการวิจัยและพัฒนาของบริษัท IBM ประเทศสหรัฐอเมริกา ได้นำเลเซอร์ทึบทิมไปกระตุ้นสารละลายชนิดโรดามีน 6 จี สำเร็จเป็นครั้งแรก ในปีเดียวกันนั้นโซโรกินก็ได้นำไฟฟเลซไปใช้ในการกระตุ้นสารละลายคายชนิดโคโรลูมิเนียมไพโรไซยานิน (Chloroaluminum Phtalocyanine) สำเร็จ หลังจากนั้นก็ได้มีการนำเลเซอร์ชนิดต่าง ๆ ไปกระตุ้นสารละลายคาย เช่น KrF Laser, Nd<sup>3+</sup> Laser , Argon ion Laser เป็นต้น ในโตรเจนเลเซอร์ก็เป็นเลเซอร์อีกชนิดหนึ่งที่มีความเหมาะสมที่จะนำไปใช้เป็นตัวกระตุ้นสารละลายคาย โดยลานการ์ดได้ประสบความสำเร็จในการนำไนโตรเจนเลเซอร์ไปกระตุ้นสารละลายคายเพื่อให้เกิดคายเลเซอร์ในปี ค.ศ. 1969 ให้แสงที่เป็นพัลส์ ซึ่งจะเห็นว่าแสงจากคายเลเซอร์จะมีทั้งที่เป็นแสงต่อเนื่องและเป็นพัลส์ขึ้นอยู่กับชนิดของเลเซอร์ที่นำมากระตุ้น และชนิดของสารละลายคาย โดยคายเลเซอร์เป็นเลเซอร์ชนิดที่ใช้ระบบออปติคอลลัมคือใช้แสงเป็นตัวเพิ่มพลังงาน มีตัวกลางเลเซอร์อยู่ในสถานะของเหลว ซึ่งส่วนมากจะเป็นสารประกอบทางเคมีที่ละลายอยู่ในเอทานอล เมทานอล หรือน้ำเป็นต้น ซึ่งชนิดของสารคายมีด้วยกันมากมายหลายชนิดดังแสดงตัวอย่างของสารคายที่เป็นตัวกลางของคายเลเซอร์ดังรูปที่ 2.10

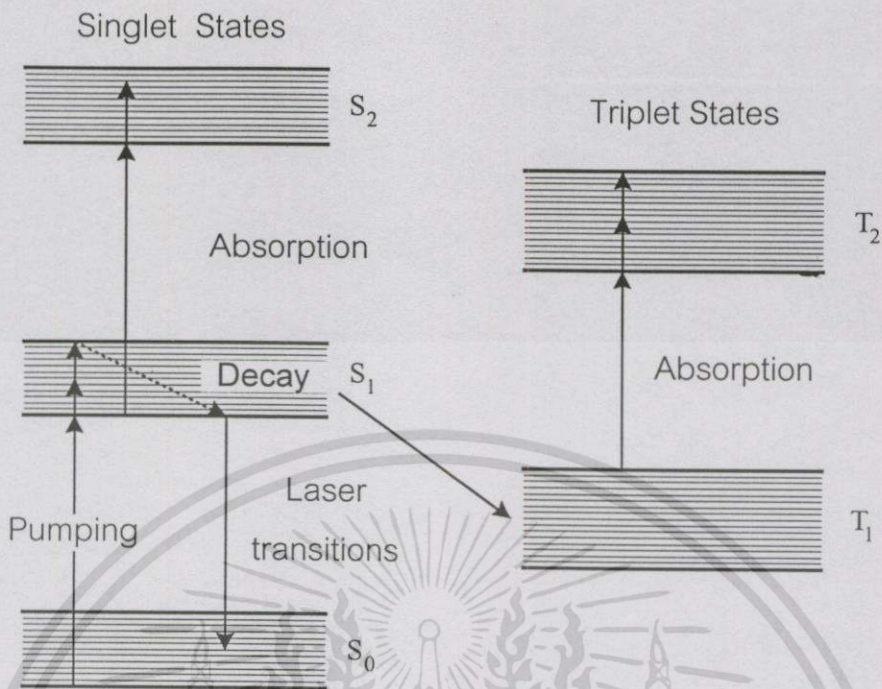
ตัวกลางของคายเลเซอร์มีอยู่มากมายหลายชนิดด้วยกัน แต่สารละลายคายที่นิยมนำมาใช้เป็นตัวกลางเลเซอร์กันมากที่สุดตัวหนึ่งคือ โรดามีน 6 จี (Rhodamine 6G) เนื่องจากสามารถให้แสงเลเซอร์ที่มีความยาวคลื่นอยู่ในช่วงที่กว้างมาก อีกทั้งยังมีประสิทธิภาพในการเกิดเลเซอร์ได้ดีกว่าสารละลายคายชนิดอื่น

เมื่อพิจารณาโครงสร้างของสารละลายคายพบว่าจะมีโมเลกุลที่ซับซ้อนมาก ประกอบด้วยสารประกอบไฮโดรคาร์บอนที่มีพันธะเป็นเบนซีนริง (Benzen Ring) สามารถเขียนระดับพลังงานได้ดังรูปที่ 2.11

Dye	Structure	Solvent	Wavelength
Acridine red		EtOH	Red 600-630 nm
Parosin B		MeOH H <sub>2</sub> O	Yellow
Rhodamine 6G		EtOH MeOH H <sub>2</sub> O DMSO Polymethylmethacrylate	Yellow 570-610 nm
Rhodamine B		EtOH MeOH Polymethylmethacrylate	Red 605-635 nm
Na-fluorescein		EtOH H <sub>2</sub> O	Green 530-560 nm
2,7-Dichloro-fluorescein		EtOH	Green 530-560 nm
7-Hydroxy-coumarin		H <sub>2</sub> O (pH ~ 9)	Blue 450-470 nm
4-Methylumbelliferone		H <sub>2</sub> O (pH ~ 9)	Blue 450-470 nm
Esculin		H <sub>2</sub> O (pH ~ 9)	Blue 450-470 nm

รูปที่ 2.10 ตัวกลางชนิดต่างๆ ของคายเลเซอร์[3]

เอกสารนี้เป็นเอกสารที่สงวนไว้สำหรับการใช้งานเพื่อการศึกษาเท่านั้น ไม่อนุญาตให้นำไปใช้ประโยชน์ด้านการค้า  
ไม่ว่ากรณีใดๆทั้งสิ้น อีกทั้งห้ามมิให้ดัดแปลงเนื้อหา และต้องอ้างอิงถึงเจ้าของเอกสารทุกครั้งที่มีการนำไปใช้



รูปที่ 2.11 ระดับพลังงานของโมเลกุลของคาย และการเกิดแสงคายเลเซอร์[8]

ภายในโมเลกุลของคายจะมีระดับพลังงานแบ่งออกเป็น 2 กลุ่ม กลุ่มหนึ่งเรียกว่า สถานะซิงเกิลท(Singlet State) ใช้สัญลักษณ์เป็น  $S_0$ ,  $S_1$  และ  $S_2$  ที่สถานะนี้จะเกิดขึ้นเมื่อสปินรวมของอิเล็กตรอนในแต่ละโมเลกุลมีค่าเป็นศูนย์ และอีกกลุ่มหนึ่งเรียกว่า สถานะทริเปิลท(Triplet State) ใช้สัญลักษณ์  $T_1$  และ  $T_2$  สถานะนี้จะเกิดเมื่อสปินรวมของอิเล็กตรอนในแต่ละโมเลกุลมีค่าเป็นหนึ่ง

เมื่อสารละลายคายถูกปั๊มด้วยไฟแฟลชหรือเลเซอร์ชนิดอื่น โมเลกุลของคายที่ระดับพลังงาน  $S_0$  จะถูกกระตุ้นและเปลี่ยนระดับพลังงานไปยังระดับพลังงาน  $S_1$  แต่ที่แต่ละระดับพลังงานพบว่าจะมีลักษณะเป็นแถบพลังงาน จึงมีผลทำให้อะตอมที่ถูกกระตุ้นอาจจะไปอยู่ที่ระดับพลังงานย่อยต่าง ๆ ที่  $S_1$  ได้ แต่จะมีการปลดปล่อยพลังงานและตกลงมายังระดับพลังงานที่ต่ำที่สุดของระดับพลังงาน  $S_1$  อย่างรวดเร็วโดยไม่มีการเปล่งแสง และจะเกิดการผกผันของประชากรระหว่าง  $S_1 \rightarrow S_0$  เมื่อมีโฟตอนเข้ามากระตุ้นที่ระดับพลังงาน  $S_1$  ก็จะทำให้เกิดการปลดปล่อยโฟตอนออกมาเกิดเป็นแสงเลเซอร์ แต่เนื่องจากระดับพลังงาน  $S_0$  มีลักษณะเป็นแถบพลังงานที่กว้าง ดังนั้นการเปลี่ยนแปลงระดับพลังงานจาก  $S_1$  ไปยัง  $S_0$  จึงทำให้เกิดแสงเลเซอร์ได้หลายความถี่นั่นเอง ดังนั้นคายเลเซอร์จึงมีลักษณะพิเศษคือ สามารถออกแบบให้ปรับความยาวคลื่นได้ตามต้องการ

การเปลี่ยนแปลงระดับพลังงานของคายเลเซอร์ไม่ได้เกิดที่ระดับพลังงาน  $S_1$  ไปยังระดับพลังงาน  $S_0$  เท่านั้น แต่อาจจะเกิดการเปลี่ยนระดับพลังงานจากระดับพลังงาน  $S_1$  ไปยังระดับพลังงาน

งาน  $T_1$  ได้เนื่องจากเกิดการชนกันของโมเลกุลคายทำให้ค่าสปินเกิดการเปลี่ยนแปลง ซึ่งหากเกิดการเปลี่ยนระดับพลังงานในลักษณะนี้จะมีผลทำให้เกิดเลเซอร์หยุดขังกล เนื่องจากว่าค่าช่วงชีวิตของระดับพลังงาน  $T_1$  มีช่วงชีวิตที่ยาวนานมาก และอาจจะทำให้เกิดการดูดกลืนแสงจากระดับพลังงาน  $T_1$  ไปยังระดับพลังงาน  $T_2$  ซึ่งมีผลทำให้การเปลี่ยนระดับพลังงานจากระดับพลังงาน  $S_1$  ไปยัง  $S_0$  เกิดได้น้อยลง เพื่อหลีกเลี่ยงปรากฏการณ์ดังกล่าวนี้จะต้องใช้แสงที่มามีคายเลเซอร์ที่มีลักษณะเป็นพัลส์ที่สั้น ๆ เพื่อทำให้เกิดการเปลี่ยนระดับพลังงานจากระดับพลังงาน  $S_0$  ไปยังระดับพลังงาน  $S_1$  ก่อนที่จำนวนโมเลกุลในระดับ  $T_1$  จะมากพอที่จะดูดกลืนแสงเลเซอร์ที่เกิดขึ้น หรืออาจจะใช้วิธีการควENCHING) คือการเติมโมเลกุลของสารบางชนิดลงไปในสารละลายคาย เช่น Cyclo-Octatetraent (COT) เพื่อช่วยให้เกิดการลดระดับพลังงานของโมเลกุลจาก  $T_1$  ไปยัง  $S_0$  ได้เร็วขึ้น



เอกสารนี้เป็นเอกสารที่สงวนไว้สำหรับการใช้งานเพื่อการศึกษาเท่านั้น ไม่อนุญาตให้นำไปใช้ประโยชน์ด้านการค้า ไม่ว่ากรณีใดๆทั้งสิ้น อีกทั้งห้ามมิให้ดัดแปลงเนื้อหา และต้องอ้างอิงถึงเจ้าของเอกสารทุกครั้งที่มีการนำไปใช้

### บทที่ 3

## การออกแบบและการสร้างไนโตรเจนเลเซอร์แบบกระตุ้นตามขวางที่ความดันบรรยากาศ สำหรับปั๊มระบบคายเลเซอร์

บทนี้จะกล่าวถึงการออกแบบและสร้างไนโตรเจนเลเซอร์เพื่อใช้สำหรับปั๊มระบบคายเลเซอร์ ซึ่งจะแยกเป็น 2 ส่วนใหญ่ ๆ คือ ส่วนแรกจะกล่าวถึง การออกแบบและสร้างไนโตรเจนเลเซอร์แบบกระตุ้นตามขวางที่ความดันบรรยากาศ โดยใช้วงจรบัลลูนเป็นวงจรกระตุ้น รวมถึงรายละเอียดของระบบที่ใช้ในการควบคุมจังหวะในการเกิดแสงไนโตรเจนเลเซอร์ และองค์ประกอบอื่น ๆ ที่เกี่ยวข้อง ในส่วนที่สองจะกล่าวถึงการจัดวางระบบคายเลเซอร์ และการเตรียมความเข้มข้นของสารละลายคายค่าต่าง ๆ ดังรายละเอียดต่อไปนี้

### 3.1 การออกแบบและสร้างชุดไนโตรเจนเลเซอร์สำหรับปั๊มระบบคายเลเซอร์

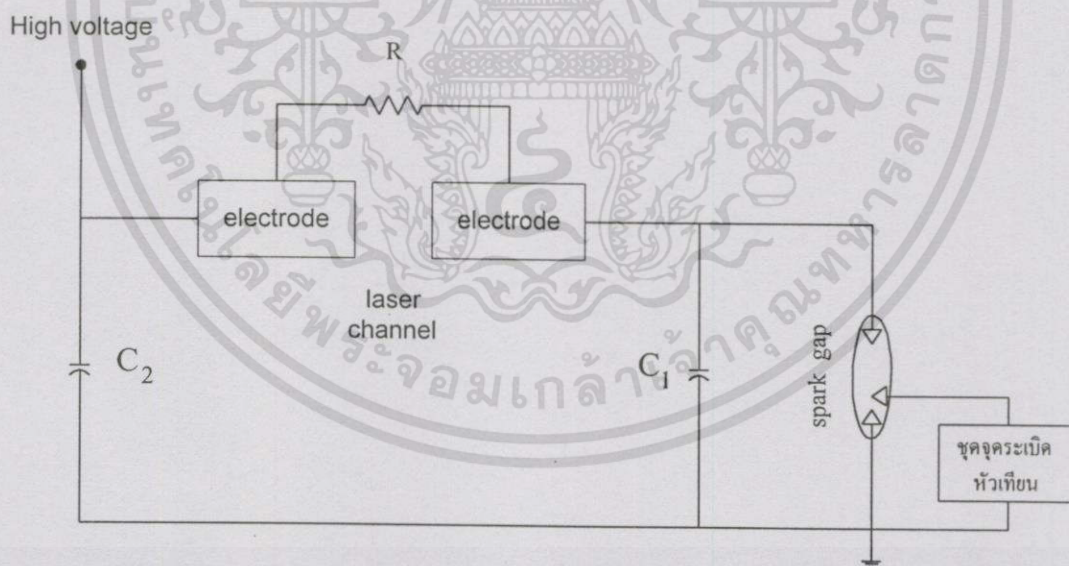
#### 3.1.1 การออกแบบและสร้างชุดไนโตรเจนเลเซอร์[9]

ไนโตรเจนเลเซอร์แบบกระตุ้นตามขวางที่ความดันบรรยากาศ (Transversely Excited at Atmospheric Pressure -  $N_2$  Laser : TEA- $N_2$  Laser) สามารถให้แสงที่เป็นพัลส์แคบ และมีกำลังสูง อีกทั้งสามารถออกแบบให้มีขนาดกะทัดรัดได้อีกด้วย และที่สำคัญที่สุด คือไม่ต้องใช้ระบบสุญญากาศ ซึ่งในการสร้างและพัฒนาระบบไนโตรเจนเลเซอร์แบบกระตุ้นตามขวางนี้สนใจเฉพาะไนโตรเจนเลเซอร์ที่ให้แสงในช่วงอัลตราไวโอเล็ตที่มีความยาวคลื่น 337.1 นาโนเมตรเท่านั้น จึงต้องมีขบวนการผกผันของประชากร และการเปล่งแสงแบบถูกกระตุ้นจากระดับพลังงาน  $C^3\pi_u$  ไปยัง  $B^3\pi_u$  แต่เนื่องจากช่วงชีวิตของโมเลกุลไนโตรเจนในระดับ  $C^3\pi_u$  มีค่าเพียง 2.6 นาโนวินาทีแต่ในระดับพลังงาน  $B^3\pi_u$  มีค่าถึง 10 ไมโครวินาที ดังนั้นถ้าทำให้เกิดการผกผันของประชากรระหว่างระดับพลังงานทั้งสองนั้น จำเป็นจะต้องกระตุ้นให้โมเลกุลไนโตรเจนขึ้นไปทีระดับพลังงาน  $C^3\pi_u$  ด้วยเวลาที่น้อยกว่า 2.6 นาโนวินาทีจึงต้องใช้วงจรกระตุ้นแบบพัลส์ที่เร็วมาก คือวงจรที่มีค่าอินดักแตนซ์ต่ำ ๆ นั่นเอง วงจรที่มีลักษณะเช่นนี้ได้แก่วงจรคาปาซิเตอร์ชาร์จทรานสเฟอร์ (Capacitor-Charge Transfer Circuit) และวงจรบัลลูน (Blumlein Circuit) เป็นต้น

ในงานวิจัยนี้ได้เลือกใช้วงจรบลิ้มไลน์เป็นวงจรกระตุ้นของไนโตรเจนเลเซอร์ เนื่องจากเป็นวงจรที่สร้างได้ง่ายและนิยมใช้กันมากที่สุด ดังนั้นในที่นี้จะขอกล่าวเฉพาะวงจรบลิ้มไลน์เท่านั้น

การทำงานของวงจรบลิ้มไลน์ดังรูปที่ 3.1 สามารถอธิบายได้ดังนี้ ตัวเก็บประจุสตอเรจ (Storage Capacitor)  $C_1$  และตัวเก็บประจุพัลส์ฟอร์มมิงไลน์ (Pulse Forming line Capacitor)  $C_2$  ถูกประจุจนเต็มจากแหล่งจ่ายไฟแรงดันสูง (High Voltage) เมื่อสปาร์กแกปทำงานประจุใน  $C_1$  จะไหลลงกราวด์อย่างรวดเร็ว ทำให้เกิดความต่างศักย์ตกคร่อมระหว่างช่องเลเซอร์ มีค่าเท่ากับความต่างศักย์จากแหล่งจ่ายไฟแรงดันสูง

เนื่องจากขั้วไฟฟ้าที่ต่อกับ  $C_1$  ในขณะนี้มีศักย์เท่ากับกราวด์ ดังนั้นจึงเกิดการคายประจุของ  $C_2$  อย่างรวดเร็วผ่านขั้วไฟฟ้าภายในช่องเลเซอร์เป็นผลให้มีอิเล็กตรอนพลังงานสูงวิ่งจากขั้วไฟฟ้าของ  $C_2$  ไปยัง  $C_1$  โมเลกุลของแก๊สไนโตรเจนที่ไหลผ่านระหว่างช่องเลเซอร์ จะถูกกระตุ้นโดยการชนของอิเล็กตรอนเหล่านั้น (Electron Collisional Excitation Process) ภายใต้อุณหภูมิที่เหมาะสมก็จะเกิดแสงเลเซอร์ออกมาตามแนวยาวของช่องเลเซอร์



รูปที่ 3.1 วงจรบลิ้มไลน์

### 3.1.2 ส่วนประกอบของไนโตรเจนเลเซอร์เลเซอร์แบบกระตุ้นตามขวาง

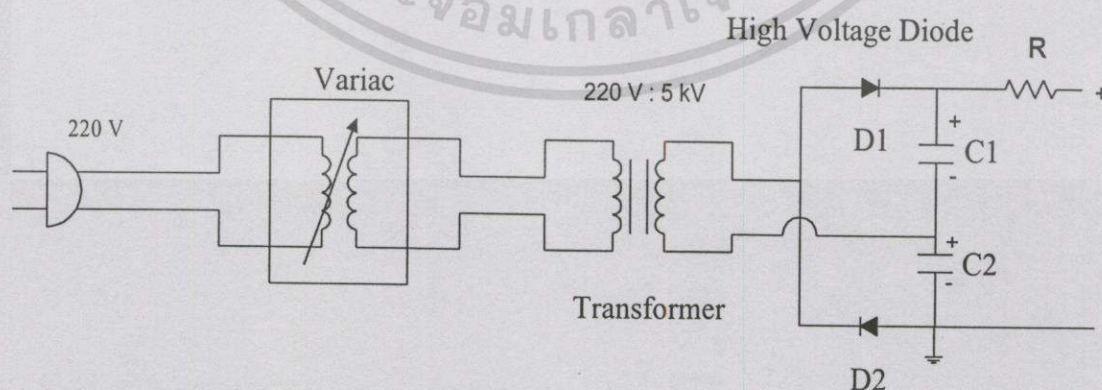
ส่วนประกอบต่าง ๆ ที่สำคัญในการสร้างไนโตรเจนเลเซอร์แบบกระตุ้นตามขวาง มีดังต่อไปนี้

#### 3.1.2.1 ขั้วไฟฟ้า และช่องเลเซอร์

ขั้วไฟฟ้าทำจากโลหะสแตนเลสขนาด  $30 \times 400$  ตารางมิลลิเมตร วางขนานกัน 2 อัน ขอบของขั้วไฟฟ้าทั้งสองจะตัดทำมุม 45 องศา เพื่อให้เกิดการดิซซาร์จระหว่างผิวหน้าของขั้วไฟฟ้าทั้งสองสม่ำเสมอตลอดแนวที่วางขนานกัน สำหรับระยะห่างระหว่างขั้วไฟฟ้าทั้งสองซึ่งประกอบเป็นช่องเลเซอร์สามารถปรับได้ตามความต้องการตั้งแต่ 0-5 มิลลิเมตร

#### 3.1.2.2 ระบบจ่ายไฟแรงดันสูง

ชุดจ่ายไฟแรงดันสูงสามารถจ่ายแรงดันไฟฟ้ากระแสตรงปรับค่าได้ระหว่าง 0-15 กิโลโวลต์ เพื่อจ่ายให้วงจรบัลลิสต์ ดังรูปที่ 3.2 ซึ่งเป็นวงจรทวีแรงดันแบบเต็มคลื่น (Full Wave Voltage Multiplier Circuit) ประกอบด้วยหม้อแปลงที่มีแรงดันขาเข้า 220 โวลต์ แรงดันขาออก 5 กิโลโวลต์ สามารถปรับค่าแรงดันขาเข้าได้ด้วยวาริแอก (Variac) ไดโอด (D1 และ D2) สามารถทนแรงดันได้ 15 กิโลโวลต์ ตัวเก็บประจุ (C1 และ C2) มีค่า 0.33 ไมโครฟารัด ตัวต้านทาน (R) มีค่า 100 กิโลโอห์ม 40 วัตต์ ทำหน้าที่จำกัดกระแส (Current Limit)



รูปที่ 3.2 วงจรจ่ายไฟฟ้ากระแสตรงแรงดันสูง

เอกสารนี้เป็นเอกสารที่สงวนไว้สำหรับการใช้งานเพื่อการศึกษาเท่านั้น ไม่อนุญาตให้นำไปใช้ประโยชน์ด้านการค้า ไม่ว่ากรณีใดๆทั้งสิ้น อีกทั้งห้ามมิให้ดัดแปลงเนื้อหา และต้องอ้างอิงถึงเจ้าของเอกสารทุกครั้งที่มีการนำไปใช้

ในวงจรจ่ายไฟฟ้ากระแสตรงแรงดันสูง ที่ช่วงสัญญาณแรงดันค้ำานบวก ไคโอด D1 จะได้รับการไบอัสตรง ส่วนไคโอด D2 ได้รับการไบอัสกลับจึงไม่นำกระแส ทำให้ C1 มีการอัดประจุจนมีค่าเท่ากับค่าแรงดันของขดลวดทุติยภูมิของหม้อแปลง และในช่วงสัญญาณด้านลบ ไคโอด D1 ได้รับการไบอัสกลับ และไคโอด D2 ได้รับการไบอัสตรงทำให้ C2 มีการอัดประจุจนมีค่าเท่ากับค่าแรงดันของขดลวดทุติยภูมิของหม้อแปลง แรงดันที่ตกคร่อม C1 และ C2 จึงมีค่าเป็นสองเท่าของแรงดันของขดลวดทุติยภูมิของหม้อแปลง

### 3.1.2.3 ตัวเก็บประจุแบบแผ่นขนาน

จากวงจรลัดมีไลน์ความจุของตัวเก็บประจุ  $C_2$  ต้องมีค่ามากกว่า  $C_1$  อาจจะใช้อัตราส่วนตั้งแต่ 2:1 ขึ้นไป และเพื่อให้ความเหนี่ยวนำในวงจรกระตุ้นเลเซอร์มีค่าต่ำมาก ๆ ดังนั้น  $C_1$  และ  $C_2$  จำเป็นต้องเป็นตัวเก็บประจุแบบแผ่นขนาน ในที่นี้สร้างโดยใช้แผ่นไมลาร์ (Mylar) เป็นไดอิเล็กตริกซึ่งมีแผ่นอลูมิเนียมฟอยล์ 2 แผ่นประกบอยู่ โดยแผ่นอลูมิเนียมฟอยล์จะทำหน้าที่เป็นเพลทของตัวเก็บประจุแบบแผ่นไมลาร์ และแผ่นอลูมิเนียมฟอยล์ทั้งหมดนี้จะวางเรียงเป็นชั้นอยู่บนแผ่นอะคริลิกเพื่อให้เรียบ ค่าความจุของ  $C_1$  และ  $C_2$  คำนวณได้จากสูตร

$$C = \epsilon_r \epsilon_0 A / d \quad (3.1)$$

เมื่อ  $C$  = ค่าความจุของตัวเก็บประจุ มีหน่วยเป็นฟารัด (farad : F)

$\epsilon_r$  = สภาพยอมทางไฟฟ้าสัมพัทธ์ (Relative Permittivity) ของไดอิเล็กตริก (แผ่นไมลาร์มีค่า = 3.0)

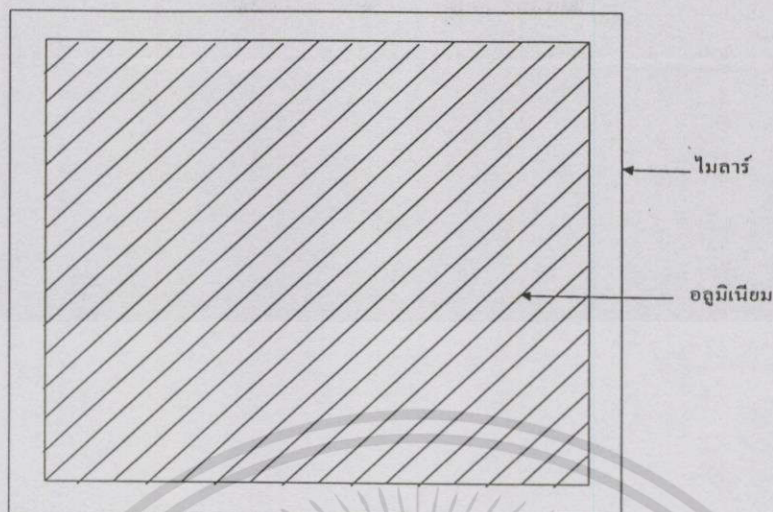
$\epsilon_0$  = สภาพยอมทางไฟฟ้าของสุญญากาศ มีค่าเท่ากับ  $8.85 \times 10^{-12}$  ฟารัด/ เมตร

$A$  = พื้นที่ผิวของเพลทของตัวเก็บประจุ

$d$  = ความหนาของแผ่นไดอิเล็กตริก

ในงานวิจัยนี้ขั้วไฟฟ้าสแตนเลสมีความยาว 400 มิลลิเมตร ดังนั้นความยาวของแผ่นอลูมิเนียมฟอยล์จะต้องมีขนาดสั้นกว่าขั้วไฟฟ้าสแตนเลสเล็กน้อย ในงานวิจัยนี้ใช้ความยาว 380 มิลลิเมตร ส่วนความกว้างของแผ่นอลูมิเนียมฟอยล์สำหรับ  $C_1$  และ  $C_2$  เท่ากับ 90 และ 180 มิลลิเมตร ตามลำดับ สำหรับไมลาร์ที่ใช้จะต้องมีขนาดใหญ่กว่าแผ่นอลูมิเนียมฟอยล์ที่ประกบอยู่พอสมควรทั้งนี้เพื่อป้องกันการอาร์คของไฟฟ้าระหว่างแผ่นอลูมิเนียมทั้งสอง

เอกสารนี้เป็นเอกสารที่สงวนไว้สำหรับการใช้งานเพื่อการศึกษาเท่านั้น ไม่อนุญาตให้นำไปใช้ประโยชน์ด้านการค้า ไม่ว่าจะกรณีใดๆทั้งสิ้น อีกทั้งห้ามมิให้ดัดแปลงเนื้อหา และต้องอ้างอิงถึงเจ้าของเอกสารทุกครั้งที่มีการนำไปใช้

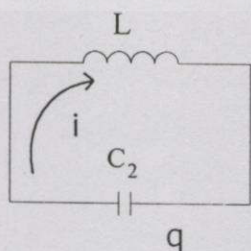


รูปที่ 3.3 ตัวเก็บประจุแผ่นขนานโดยใช้แผ่นไมลาร์เป็นไดอิเล็กทริกวางอยู่ระหว่างแผ่นอลูมิเนียมฟอยล์ 2 แผ่น ซึ่งทำหน้าที่เป็นขั้วไฟฟ้า(มองจากด้านบน)

สำหรับ  $C_1$  แผ่นอลูมิเนียมฟอยล์มีพื้นที่  $380 \times 90$  ตารางมิลลิเมตร ความหนาของแผ่นไมลาร์  $d = 0.35$  มิลลิเมตร จากการคำนวณได้ค่าความจุของ  $C_1 = 2.6$  นาโนฟารัด

สำหรับ  $C_2$  แผ่นอลูมิเนียมฟอยล์มีพื้นที่  $380 \times 180$  ตารางมิลลิเมตร ความหนาของแผ่นไมลาร์  $d = 0.35$  มิลลิเมตร จากการคำนวณได้ค่าความจุของ  $C_2 = 5.2$  นาโนฟารัด

หลังจากที่คำนวณค่า  $C_1$  และ  $C_2$  ที่ใช้ในวงจรบลิบไลน์ได้แล้ว ต่อไปต้องคำนวณดูว่าความเร็วในการกระตุ้นของวงจรบลิบไลน์ที่ใช้จะสามารถกระตุ้นแก๊สไนโตรเจนได้ในเวลาที่สั้นกว่า 2.6 นาโนวินาที เพื่อทำให้เกิดประชากรผกผันได้หรือไม่ นั่นต้องคำนวณหาเวลาที่แรงดันไฟฟ้าขึ้นถึงจุดสูงสุดในวงจรพัลส์ฟอร์มมิง (Pulse Forming) ที่ใช้ซึ่งในที่นี้แทนได้ด้วยวงจรสมมูลดังรูปที่ 3.4



รูปที่ 3.4 วงจรพัลส์ฟอร์มมิง

เอกสารนี้เป็นเอกสารที่สงวนไว้สำหรับการใช้งานเพื่อการศึกษาเท่านั้น ไม่อนุญาตให้นำไปใช้ประโยชน์ด้านการค้า ไม่ว่าจะกรณีใดๆทั้งสิ้น อีกทั้งห้ามมิให้ดัดแปลงเนื้อหา และต้องอ้างอิงถึงเจ้าของเอกสารทุกครั้งที่มีการนำไปใช้

จากกฎของ Kirchoff จะได้ว่า

$$L \frac{d^2 q}{dt^2} + \frac{q}{C_2} = 0 \quad (3.2)$$

$$\frac{d^2 q}{dt^2} + \frac{q}{LC_2} = 0 \quad (3.3)$$

$$q = q_m \cos(\omega t + \phi) \quad (3.4)$$

$$\omega = \frac{1}{\sqrt{LC_2}} \quad (3.5)$$

โดยที่  $q$  = ประจุไฟฟ้าในตัวเก็บประจุหน่วยเป็นคูลอมบ์  
 $L$  = ความเหนี่ยวนำของตัวเหนี่ยวนำ หน่วยเป็นเฮนรี  
 $\omega$  = ความถี่เชิงมุมของการแกว่งกวัด หน่วยเป็นเรเดียนต่อวินาที  
 $T$  = คาบของการแกว่งกวัด หน่วยเป็นวินาที

จะได้ 
$$T = \frac{2\pi}{\omega} = 2\pi \sqrt{LC_2} \quad (3.6)$$

เวลาที่แรงดันไฟฟ้าขึ้นถึงจุดสูงสุดในวงจรพัลส์ฟอร์มมิง =  $T_r$   
 $T_r$  เป็นเวลาหนึ่งในสี่ของคาบการแกว่งกวัด

$$T_r = \frac{T}{4} = \frac{\pi}{2} \sqrt{LC_2} \quad (3.7)$$

ดังนั้นเวลาที่แรงดันไฟฟ้าขึ้นถึงจุดสูงสุดในวงจรที่สร้างสามารถคำนวณได้โดย

$L$  = ความเหนี่ยวนำในวงจร ซึ่งค่าความเหนี่ยวนำใน  $C_2$  มีค่าสูงกว่าส่วนอื่น ๆ ดังนั้น จึงคิดเฉพาะใน  $C_2$  เท่านั้น

$$L = \mu_r \mu_0 dl/w$$

$\mu_r$  = สภาพซึมซาบทางแม่เหล็กสัมพัทธ์ = 1

$\mu_0$  = สภาพซึมซาบได้ทางแม่เหล็กของสุญญากาศ

$$= 4\pi \times 10^{-8} \text{ เฮนรี/เมตร}$$

$d$  = ความหนาของไดโอดีเล็กตริก =  $0.35 \times 10^{-3}$  เมตร

$l$  = ความยาวของแผ่นไดโอดีเล็กตริก = 0.18 เมตร

$w$  = ความกว้างของแผ่นไดโอดีเล็กตริกวัดขนานไปกับขั้วไฟฟ้า

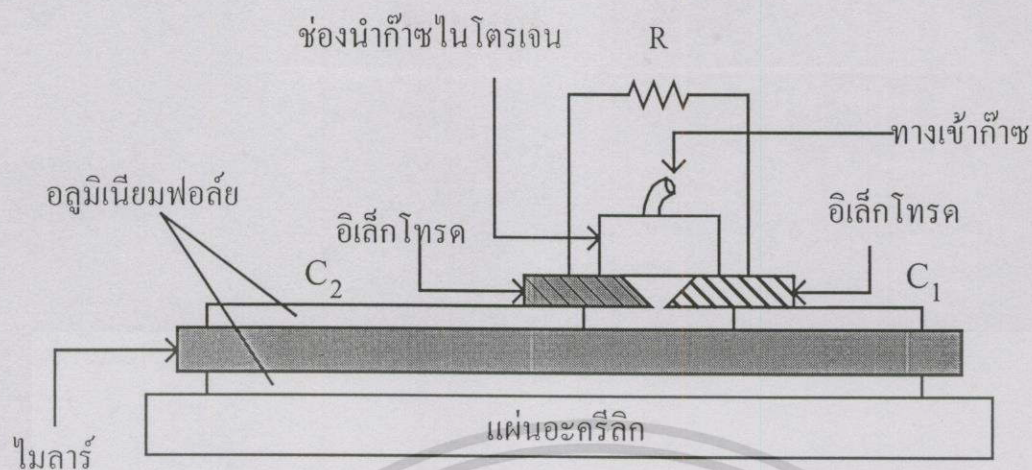
$$= 0.38 \text{ เมตร}$$

จะได้  $L = 1.26 \times 10^{-7} \times 0.35 \times 10^{-3} \times 0.18 / 0.38$  เฮนรี = 0.021 นาโนเฮนรี

$$T_r = \frac{\pi}{2} \sqrt{LC_2} = 0.52 \times 10^{-9} = 0.52 \text{ นาโนวินาที}$$

เนื่องจากช่วงชีวิตที่ระดับพลังงาน  $C^3\pi_u (T_0)$  ที่ความดันบรรยากาศมีค่า 2.6 นาโนวินาที แต่จากการคำนวณจะเห็นว่า  $T_r < T_0$  ดังนั้นวงจรบลิบไลน์ที่สร้างขึ้นจึงสามารถกระตุ้นอิเล็กตรอนที่สถานะพื้นของโมเลกุลไนโตรเจนไปสู่ระดับพลังงาน  $C^3\pi_u$  แล้วทำให้เกิดสภาพประชากรผกผันได้ แต่เนื่องจากช่วงชีวิตของระดับพลังงาน  $C^3\pi_u$  สั้นกว่าที่ระดับพลังงาน  $B^3\pi_u$  การเกิดเลเซอร์เป็นแบบซูเปอร์เรเดียนท์ (Superradiant) จึงไม่จำเป็นต้องใช้ตัวสั่นพ้องเชิงทัศน

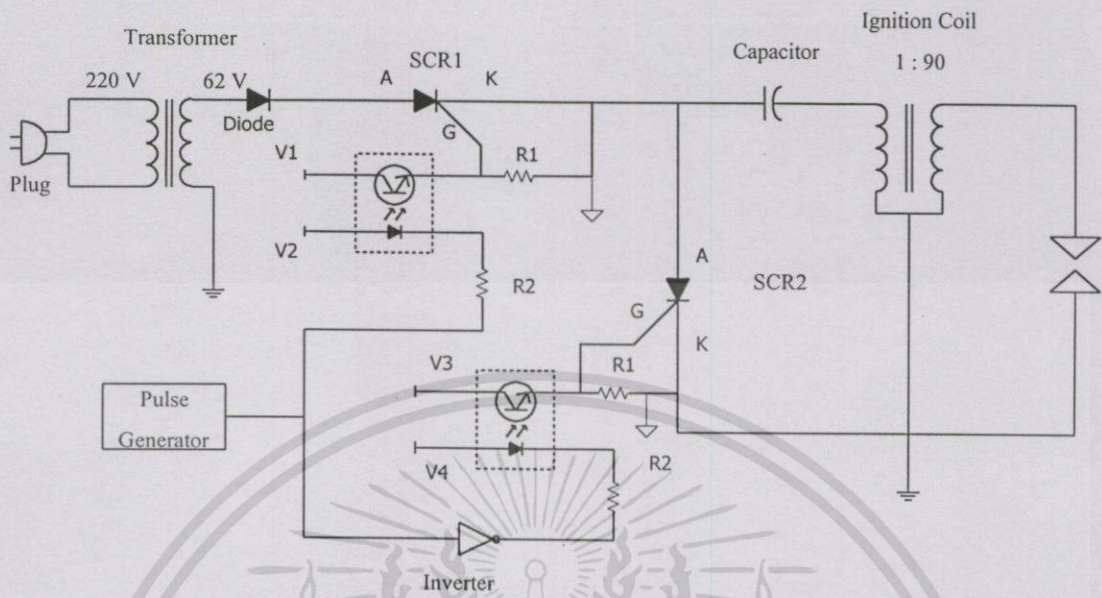
ในการออกแบบสร้างไนโตรเจนเลเซอร์แบบกระตุ้นตามขวางที่ความดันบรรยากาศ เพื่อความสะดวกและกระทัดรัดของระบบเลเซอร์ ในการสร้าง  $C_1$  กับ  $C_2$  แผ่นไมลาร์ที่ใช้จะเป็นแผ่นเดียวกัน ส่วนแผ่นอลูมิเนียมฟอยล์แผ่นล่างก็เป็นแผ่นเดียวกัน แต่แผ่นอลูมิเนียมฟอยล์แผ่นบนจะแยกกันเพื่อเป็นตัวแยกค่า  $C_1$  และ  $C_2$  ดังรูปที่ 3.5



รูปที่ 3.5 ภาพตัดขวางของขั้วไฟฟ้า ซึ่งวางอยู่บนตัวเก็บประจุ  $C_1$  และ  $C_2$  โดย  $C_1$  และ  $C_2$  ใช้แผ่นไมลาร์แผ่นเดียวกัน

#### 3.1.2.4 ชุดวงจรควบคุมจังหวะการเกิดไนโตรเจนเลเซอร์[10]

ชุดวงจรควบคุมจังหวะการเกิดแสงไนโตรเจนเลเซอร์ดังแสดงในรูปที่ 3.6 ประกอบด้วยหม้อแปลงทำหน้าที่แปลงไฟฟ้ากระแสสลับ 220 โวลต์ ให้เป็น 62 โวลต์ ไดโอดจะทำหน้าที่แปลงไฟฟ้ากระแสสลับจากหม้อแปลงให้เป็นกระแสตรง กระแสไฟฟ้าจะยังไม่ไหลผ่านตัว SCR1 จนกว่าจะมีสัญญาณจากวงจรกำเนิดสัญญาณพัลส์ (Pulse Generator) มากระตุ้นที่ขาเกตของ SCR1 จึงจะทำให้มีกระแสไฟฟ้าไหลผ่านไปยังตัวเก็บประจุโดยไม่ผ่าน SCR2 และเมื่อแรงดันที่ขาแอนโอดมีค่าที่ต่ำกว่าที่ขงแคโทด SCR1 ก็หยุดนำกระแส ในขณะที่ถ้ามีสัญญาณจากวงจรกำเนิดสัญญาณพัลส์มากระตุ้นที่ขาเกต SCR2 ตัวเก็บประจุก็จะเกิดการคายประจุออกมาอย่างรวดเร็วผ่าน SCR2 ทำให้ที่ขดลวดปฐมภูมิของคอยล์จูดระเบิดมีการเปลี่ยนแปลงแรงดันไฟฟ้าอย่างรวดเร็ว เกิดอำนาจแม่เหล็กเหนี่ยวนำทำให้เกิดไฟฟ้าแรงดันสูงขึ้นที่ขดลวดทุติยภูมิของคอยล์จูดระเบิด เกิดเป็นประกายไฟที่เขียวของหัวเทียนขึ้น



รูปที่ 3.6 วงจรควบคุมจังหวะการเกิดในไทรเจนเลเซอร์

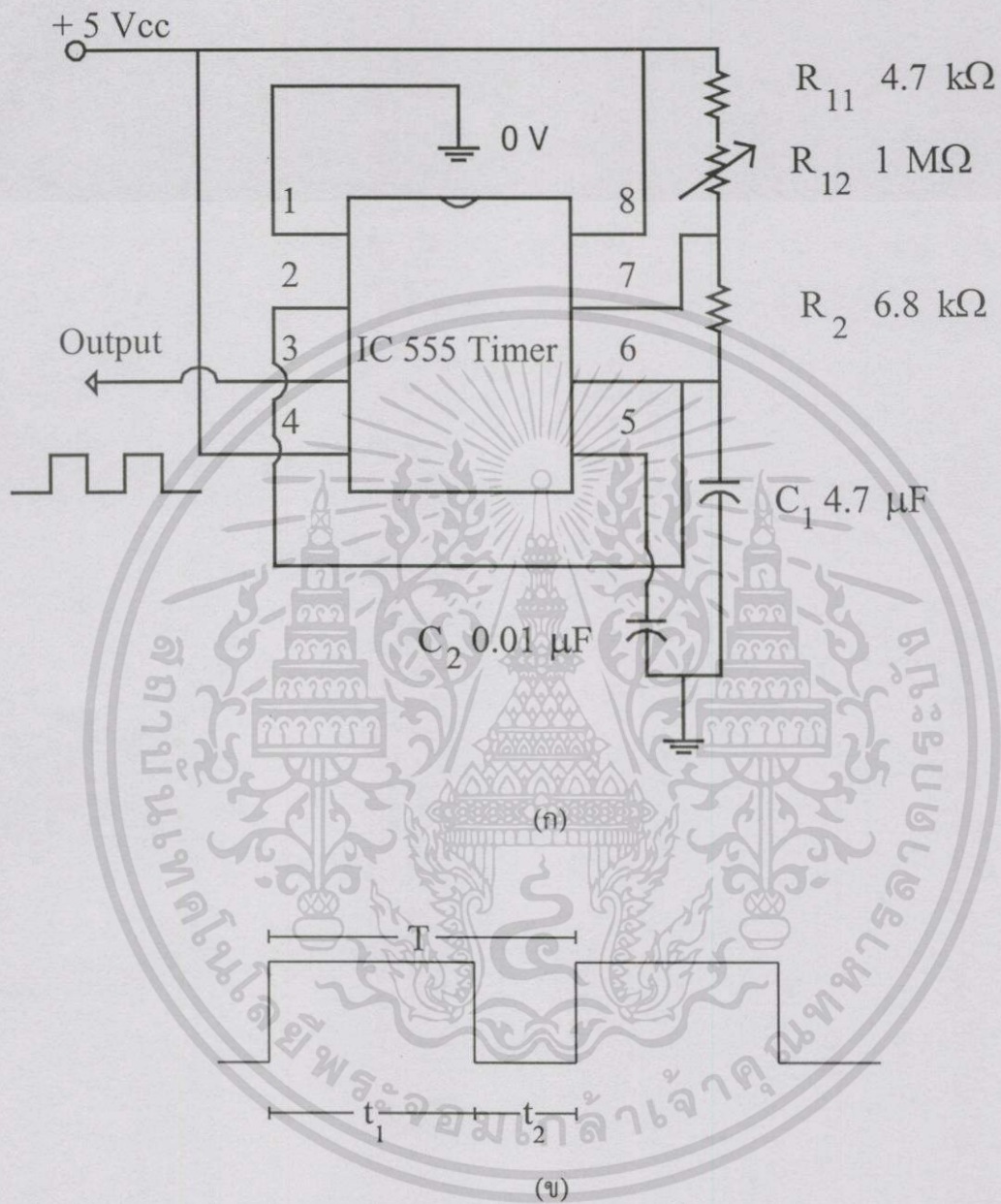
วงจรกำเนิดสัญญาณพัลส์ (Pulse Generator) ที่มากระตุ้นที่ขาเกตของ SCR1 และ SCR2 จะสร้างจากระบบออสซิลเลเตอร์แบบไม่มีที่ไวเบเรเตอร์ (Astable Multivibrator) โดยใช้ไอซีแอลเอ็ม 555 ไทเมอร์ (LM 555 Timer) เป็นตัวกำเนิดสัญญาณสี่เหลี่ยม (Square Wave) ลักษณะของวงจรและลักษณะของสัญญาณที่ออกมาจะแสดงดังรูปที่ 3.7ก และ 3.7ข ตามลำดับ ซึ่งสามารถคำนวณค่าตัวต้านทานที่นำมาต่อในวงจรได้จาก

$$t_1 = 0.693(R_1 + R_2)C_1$$

$$t_2 = 0.693(R_2)C_1$$

เมื่อ  $t_1$  คือ คาบเวลาของสัญญาณด้านบวก  $t_2$  คือ คาบเวลาของสัญญาณด้านลบ

ในงานวิจัยนี้จะออกแบบและสร้างวงจรกำเนิดสัญญาณพัลส์ให้สามารถปรับค่าความถี่ได้ในช่วง 0.5–10 เฮิร์ต ดังนั้นค่าคาบเวลาใน 1 สัญญาณคลื่น (T) จะมีค่าระหว่าง 0.1–2 วินาที โดยกำหนดให้  $t_2$  เท่ากับ 0.02 วินาที  $t_1$  จะมีค่าอยู่ระหว่าง 0.08–1.98 วินาที ซึ่งสามารถคำนวณหาค่าตัวต้านทานที่นำมาต่อในวงจรดังแสดงในรูปที่ 3.7ก

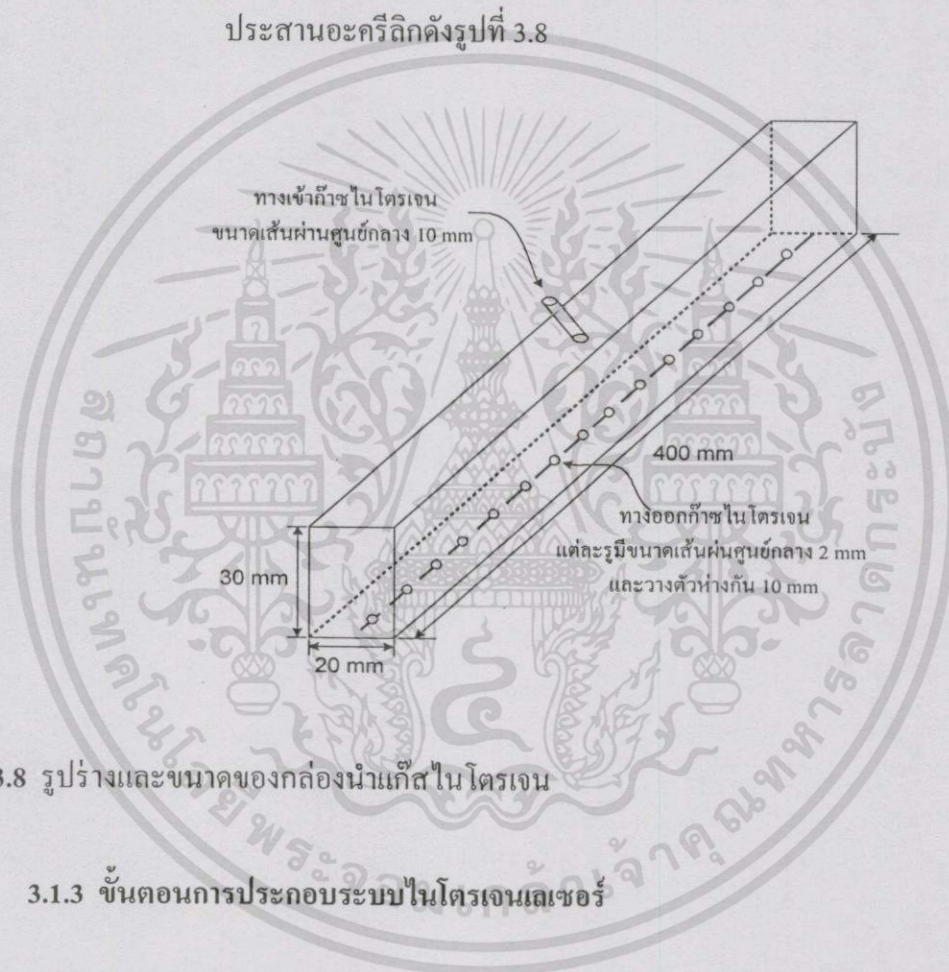


รูปที่ 3.7 วงจรกำเนิดสัญญาณพัลส์ปรับความถี่ตั้งแต่ 0.5 – 10 เฮิรตซ์

- (ก) วงจรมัลติไวเบรเตอร์ที่สร้างจากไอซี LM 555  
 (ข) ลักษณะสัญญาณขาออก

### 3.1.2.5 ระบบจ่ายแก๊สไนโตรเจนเข้าสู่ห้องเลเซอร์ ประกอบด้วย

1. ถังแก๊สไนโตรเจนความดัน 2000 ปอนด์/ตารางนิ้วพร้อมเกจวัดความดันและวาล์วควบคุมความดันของการไหลของแก๊สในท่อในช่วงความดัน 0-200 ปอนด์/ตารางนิ้ว (ความดันบรรยากาศ = 14.7ปอนด์/ตารางนิ้ว)
2. สายยางขนาดเส้นผ่าศูนย์กลางภายใน 10 มิลลิเมตร
3. ก่อสร้างนำแก๊สเข้าสู่ห้องเลเซอร์ ได้จากการตัดแผ่นอะคริลิก พร้อมกับเจาะรูแก๊สเข้า แล้วนำมาประกอบกันเป็นกล่องสี่เหลี่ยมโดยใช้น้ำยาเชื่อมประสานอะคริลิกดังรูปที่ 3.8



รูปที่ 3.8 รูปร่างและขนาดของกล่องนำแก๊สไนโตรเจน

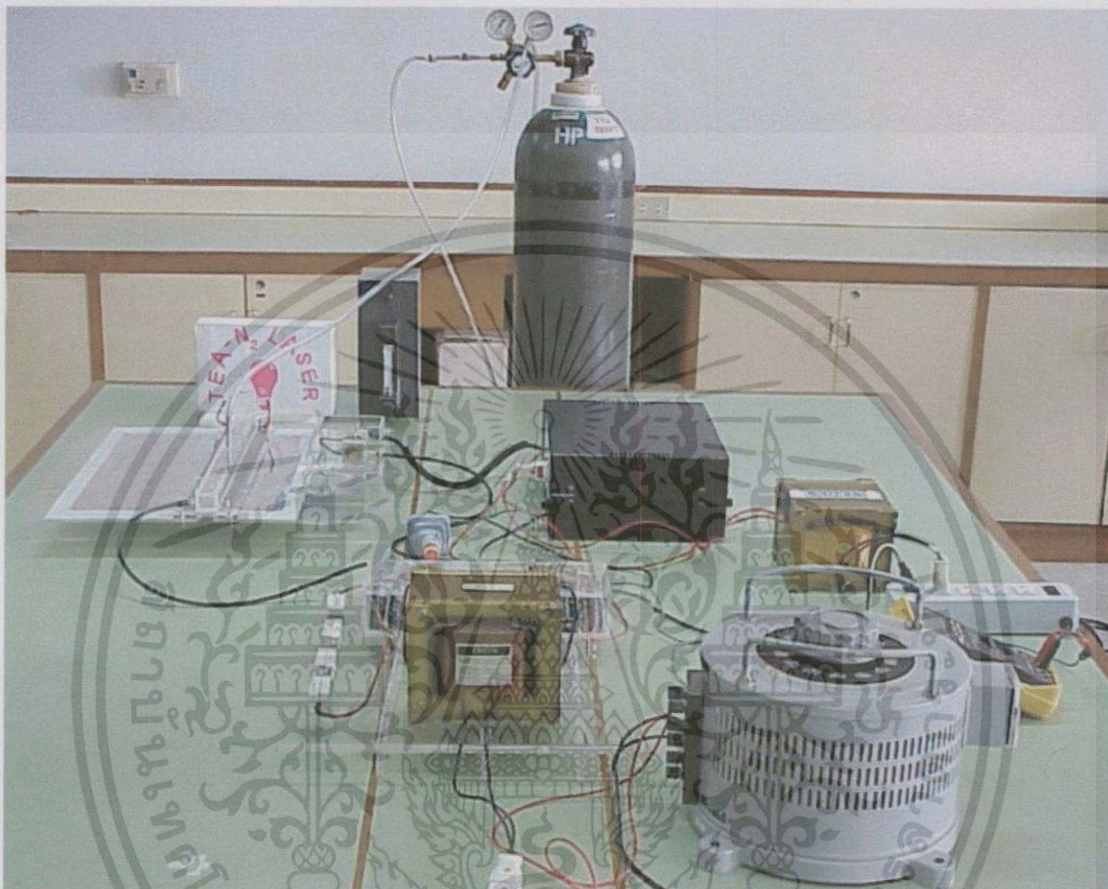
### 3.1.3 ขั้นตอนการประกอบระบบไนโตรเจนเลเซอร์

หลังจากที่ทำการออกแบบและสร้างส่วนต่าง ๆ ของระบบไนโตรเจนเลเซอร์เสร็จเรียบร้อยแล้ว จะได้ระบบเลเซอร์ที่มีองค์ประกอบหลักดังนี้

1. ขั้วอิเล็กโทรดหรือขั้วไฟฟ้าสแตนเลสขนาด 30 × 400 ตารางมิลลิเมตร
2. ชุดจ่ายไฟแรงสูงกระแสตรง ปรับแรงดันไฟฟ้าได้ตั้งแต่ 0 - 15 กิโลโวลต์
3. ตัวเก็บประจุแผ่นขนาน  $C_1$ ,  $C_2$  ขนาดความจุ 2.6 และ 5.2 นาโนฟารัด ตามลำดับ
4. ชุดวงจรควบคุมจังหวะการเกิดแสงไนโตรเจนเลเซอร์

เอกสารนี้เป็นเอกสารที่สงวนไว้สำหรับการใช้งานเพื่อการศึกษาเท่านั้น ไม่อนุญาตให้นำไปใช้ประโยชน์ด้านการค้าไม่ว่ากรณีใดๆทั้งสิ้น อีกทั้งห้ามมิให้ดัดแปลงเนื้อหา และต้องอ้างอิงถึงเจ้าของเอกสารทุกครั้งที่มีการนำไปใช้

เมื่อนำส่วนประกอบต่าง ๆ มาประกอบเข้าด้วยกันจะได้ระบบไนโตรเจนเลเซอร์ ดังแสดงในรูปที่ 3.9 ซึ่งเป็นภาพถ่ายระบบไนโตรเจนเลเซอร์ที่สร้างขึ้น

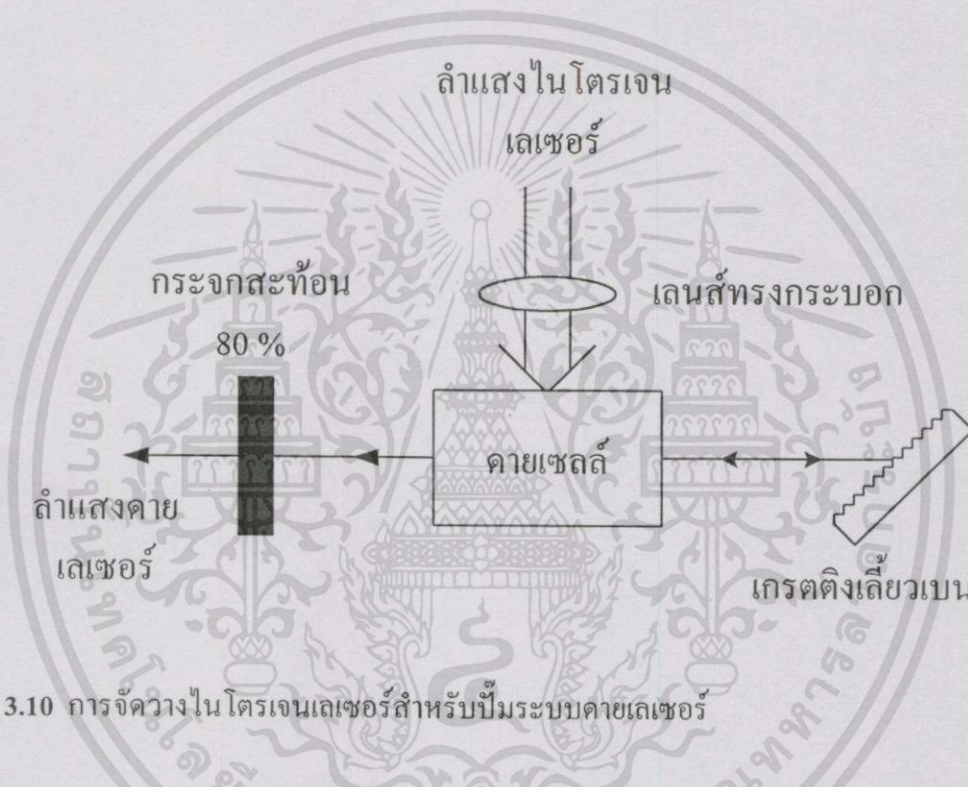


รูปที่ 3.9 ภาพถ่ายระบบไนโตรเจนเลเซอร์แบบกระตุ้นตามขวางที่จัดสร้างขึ้น

เอกสารนี้เป็นเอกสารที่สงวนไว้สำหรับการใช้งานเพื่อการศึกษาเท่านั้น ไม่อนุญาตให้นำไปใช้ประโยชน์ด้านการค้า ไม่ว่าจะกรณีใดๆทั้งสิ้น อีกทั้งห้ามมิให้ดัดแปลงเนื้อหา และต้องอ้างอิงถึงเจ้าของเอกสารทุกครั้งที่มีการนำไปใช้

### 3.2. การจัดวางไนโตรเจนเลเซอร์สำหรับปั๊มระบบคายเลเซอร์

การจัดวางไนโตรเจนเลเซอร์สำหรับปั๊มระบบคายเลเซอร์ดังรูปที่ 3.10 ประกอบด้วยไนโตรเจนเลเซอร์ที่เป็นตัวเพิ่มพลังงานให้กับสารละลายคายที่บรรจุอยู่ในคายเซลล์ที่ทำจากควอทซ์ที่มีการเคลือบผิวลดการสะท้อน (Antireflection Coating) ขนาดบรรจุ 0.4×0.8×1 ลูกบาศก์เซนติเมตร มีกระจกสะท้อน 80% เป็นกระจกหน้าและใช้เกรตติงชนิด 1800 เส้น/มิลลิเมตรเป็นตัวเลือกความยาวคลื่นแสงโดยติดไว้ที่ด้านหลัง



รูปที่ 3.10 การจัดวางไนโตรเจนเลเซอร์สำหรับปั๊มระบบคายเลเซอร์

ในการจัดวางไนโตรเจนเลเซอร์สำหรับปั๊มระบบคายเลเซอร์นั้น มีสิ่งที่ต้องคำนึงถึง คือ สมบัติบางประการของลำแสงไนโตรเจนเลเซอร์ โดยเฉพาะขนาดของลำแสงไนโตรเจนเลเซอร์และการลู่ออกของแสง ซึ่งเป็นสิ่งที่ต้องนำไปคำนวณหาตำแหน่งในการวางคายเซลล์ สิ่งที่ต้องพิจารณาต่อมาคือคุณสมบัติของเกรตติงที่ใช้ รวมทั้งหลักการคำนวณค่าต่างๆ ของเกรตติงทั้งความยาวคลื่นและค่ามุม ประการสุดท้ายที่จะพิจารณา คือ ความเข้มข้นของสารละลายคายที่บรรจุลงในคายเซลล์จะต้องมีความเข้มข้นที่เหมาะสมจึงจะทำให้เกิดคายเลเซอร์ได้ ซึ่งจะกล่าวถึงรายละเอียดดังต่อไปนี้

### 3.2.1 การคำนวณหาตำแหน่งที่วางคายเซลล์

ในการคำนวณหาระยะห่างของคายเซลล์จากชุดไนโตรเจนเลเซอร์นั้น จะคำนวณโดยพิจารณาให้แสงจากไนโตรเจนเลเซอร์ตกกระทบที่คายเซลล์ในแนวอนมีระยะมากกว่าพื้นที่หน้าตัดของคายเซลล์ ในงานวิจัยนี้ใช้คายเซลล์ที่มีแนวการรับแสงในแนวอนมีขนาด 0.8 เซนติเมตร จึงต้องจัดให้แสงจากไนโตรเจนเลเซอร์ตกกระทบที่คายเซลล์มากกว่า 0.8 เซนติเมตร (เลือกใช้ที่ 1 เซนติเมตร) ดังนั้นจะต้องทำการวางคายเซลล์ให้ห่างจากชุดไนโตรเจนเลเซอร์โดยพิจารณาจากสมบัติของแสงที่ออกมา และการลู่ออกของแสง ดังแสดงในรูปที่ 3.11

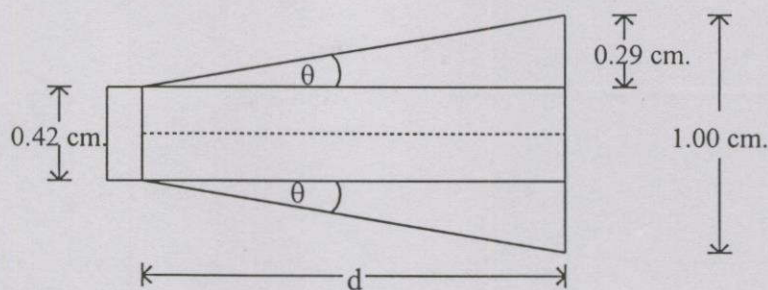
สมบัติของไนโตรเจนเลเซอร์ที่สร้างขึ้นในงานวิจัยนี้มีการลู่ออกของแสงแบบ full angle ในแนวตั้งและแนวนอน 4.7×9.0 มิลลิเรเดียน และมีขนาดของแสงเมื่อวัดที่ตำแหน่งแสงเลเซอร์ออก (Laser Output) ในแนวตั้งและแนวนอนเป็น 0.28 และ 0.42 เซนติเมตร ตามลำดับ (ดังแสดงในผลการทดลองบทที่ 4) พิจารณาเฉพาะขนาดของแสงในแนวนอน จะได้ว่าถ้าต้องการแสงที่มีขนาด 1 เซนติเมตร โดยแสงมีการลู่ออกแบบ full angle 9.0 มิลลิเรเดียน จะมีการลู่ออกแบบ half angle เท่ากับ 4.5 มิลลิเรเดียน สามารถคำนวณหาตำแหน่งในการวางคายเซลล์ได้จากสมการที่ (3.8)

$$\tan \theta = \frac{\text{ด้านตรงข้ามมุม}\theta}{\text{ด้านประชิดมุม}\theta}$$

$$d = \frac{\text{ด้านตรงข้ามมุม}\theta}{\tan \theta} \quad (3.8)$$

จะได้ 
$$d = \frac{0.29}{\tan(4.5 \times 10^{-3})} = 64.44 \text{ เซนติเมตร}$$

นั่นคือต้องวางคายเซลล์ห่างจากชุดไนโตรเจนเลเซอร์เป็นระยะทาง 64.44 เซนติเมตรในแนวนอนกับลำแสง จึงจะทำให้แสงจากชุดไนโตรเจนเลเซอร์ตกกระทบที่คายเซลล์มีขนาด 1 เซนติเมตร



รูปที่ 3.11 การลู่ออกของลำแสงในโทรเจนเลเซอร์

### 3.2.2 เกรตติงเลี้ยวเบน (Diffraction grating)[11]

เกรตติงเป็นอุปกรณ์ทางแสงชนิดหนึ่งซึ่งมีลักษณะเป็นช่องเล็ก ๆ จำนวนมาก แต่ช่องอยู่ห่างกันเป็นระยะ  $a$  แสงที่ออกจากแต่ละช่องของเกรตติงจะเกิดการแทรกสอดกันเกิดเป็นแถบมืดและแถบสว่างซึ่งแยกออกจากกันได้อย่างชัดเจน จึงมีการนำเกรตติงมาใช้เป็นตัวแยกลำแสงหรือใช้ในการวัดความยาวคลื่น ซึ่งจะพิจารณาจากสมการของเกรตติงดังต่อไปนี้

ในกรณีที่ลำแสงตกกระทบบนทำมุม  $\alpha$  กับเส้นปกติ (Normal line) ดังรูปที่ 3.12 จะหาความแตกต่างของระยะทาง (Path Difference) ได้เป็น

$$\Delta = \overline{I_2H} + \overline{I_2K} \quad (3.9)$$

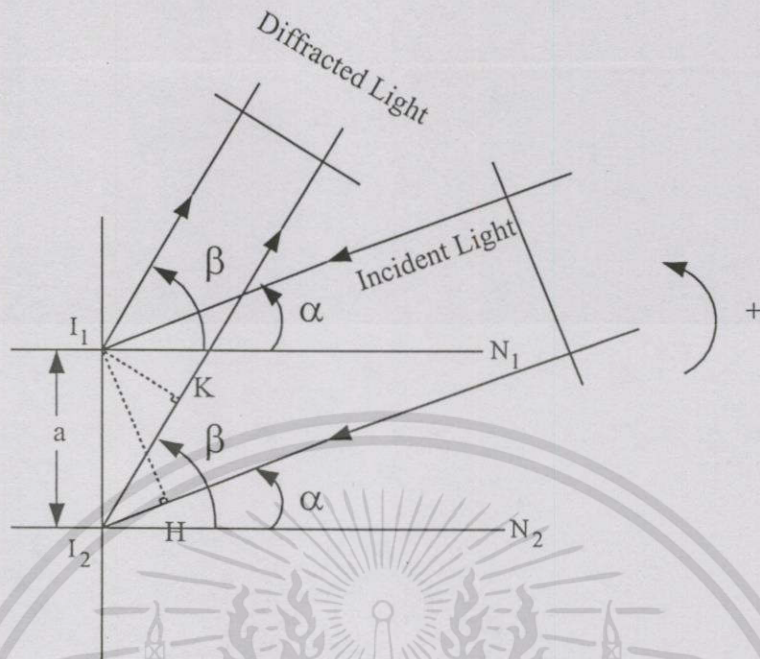
จากรูป  $\overline{I_2H} = a \sin \alpha \quad (3.10)$

และ  $\overline{I_2K} = a \sin \beta \quad (3.11)$

เมื่อ  $\overline{I_1I_2} = a =$  ระยะห่างระหว่างช่องของเกรตติง

แทนค่าจากสมการที่ (3.10) และ (3.11) ลงใน (3.9) จะได้

$$\begin{aligned} \Delta &= a \sin \alpha + a \sin \beta \\ &= a(\sin \alpha + \sin \beta) \end{aligned} \quad (3.12)$$



รูปที่ 3.12 การกระจายแสงของเกรตติง[12]

จาก[11]ได้ว่า

$$\Delta = k\lambda$$

เมื่อ  $k = 0, \pm 1, \pm 2, \dots$

จะได้

$$\Delta = a(\sin \alpha + \sin \beta) = k\lambda$$

$$\sin \alpha + \sin \beta = \frac{k\lambda}{a}$$

(3.13)

เรียกสมการที่ (3.13) ว่าสมการของเกรตติงเลี้ยวเบน (Diffraction Grating

Equation)[12]

หรืออาจจะเขียนได้ว่า

$$\sin \alpha + \sin \beta = nk\lambda$$

(3.14)

เมื่อ  $n = \frac{1}{a}$  ซึ่งเป็นจำนวนช่องต่อหนึ่งหน่วยความยาวของเกรตติง

จากสมการที่ (3.14) เทอมทางซ้ายมืออาจมีค่าเป็นบวกหรือลบก็ได้ขึ้นอยู่กับทิศทางของ  $\beta$  ของลำแสงเลี้ยวเบน ดังนั้นถ้าต้องการให้สมการที่ (3.14) ใช้ได้ในทุกกรณี จะต้องกำหนดเครื่องหมายของมุมตกกระทบและเครื่องหมายของมุมเลี้ยวเบน ซึ่งในที่นี้จะกำหนดให้มุม  $\alpha$  และ  $\beta$  มีค่าเป็นบวกเมื่อมีทิศทวนเข็มนาฬิกาและมีค่าเป็นลบเมื่อมีทิศตามเข็มนาฬิกาโดยวัดเทียบกับเส้นปกติ

จากสมการที่ (3.14) พบว่ากรณีที่  $k = 0$  เกิดขึ้นเมื่อ  $\beta = -\alpha$  หมายความว่าลำแสงเลี้ยวเบนในกรณีนี้คือแสงสะท้อนนั่นเอง ที่ตำแหน่งของแสงสะท้อนจะไม่มีการแยกสเปกตรัมของแสง นั่นคือที่อันดับ  $k = 0$  จะเป็นแถบสว่างที่ประกอบด้วยแสงทุกความยาวคลื่น ส่วนอันดับที่สูงขึ้น ทั้งค่า  $k$  ที่เป็นบวกและเป็นลบ จะทำให้แถบหรือเส้นสเปกตรัมปรากฏอยู่ทั้งสองข้างของแถบสว่างกลาง สำหรับกรณีที่แสงตกกระทบมีทิศทางที่ ค่า  $\beta$  ของแถบสว่างในอันดับที่  $k$  ไม่เท่ากับศูนย์ จะมีค่าขึ้นอยู่กับความยาวคลื่น ถ้าแหล่งกำเนิดมีหลายความยาวคลื่น แกรตติงจะทำการแยกแสงแต่ละความยาวคลื่นได้โดยทำให้เกิดเส้นสเปกตรัมแยกกัน ด้วยเหตุนี้แกรตติงจึงมีประโยชน์มากในการใช้วัดความยาวคลื่นของแสงและการวิเคราะห์สเปกตรัม

ในงานวิจัยนี้จะนำแกรตติงมาใช้ในงานใน 2 ลักษณะคือนำแกรตติงมาใช้ในการวัดความยาวคลื่นของลำแสงใน โตรเจนเลเซอร์ซึ่งวิธีการ รายละเอียดและผลที่ได้จะกล่าวถึงในบทที่ 4 ต่อไป ในบทนี้จะกล่าวถึงเฉพาะการนำแกรตติงมาใช้เป็นตัวค้นพ้องเชิงทัศน โดยจัดวางแกรตติงไว้ทางด้านหลังของระบบคายเลเซอร์ในแบบที่เรียกว่า Littrow คือให้  $\beta = \alpha$  จากสมการที่ (3.14) จะได้เป็น

$$2 \sin \beta = nk\lambda \quad (3.15)$$

ดังนั้นจะต้องทำการจัดมุมของแสงเลี้ยวเบนให้มีขนาดสัมพันธ์กับค่าความยาวคลื่นที่ต้องการ เช่นหากต้องการให้ลำแสงจากคายเลเซอร์มีความยาวคลื่น 580 นาโนเมตร พิจารณาจากสมการที่ (3.15) จะต้องจัดมุมของแสงเลี้ยวเบนให้มีขนาด

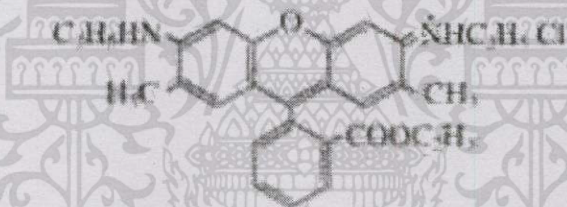
$$\beta = \sin^{-1} \left( \frac{nk\lambda}{2} \right) = 31.47 \text{ องศา}$$

เมื่อ  $k = 1$      $n = 1800$  เส้น/มิลลิเมตร     $\lambda = 580$  นาโนเมตร

### 3.2.1 การเตรียมความเข้มข้นสารละลายตาย

ในการส่งผ่านลำแสงจากไนโตรเจนเลเซอร์ไปยังคานาเซลล์ที่บรรจุด้วยสารละลายตาย พบว่าความเข้มข้นของสารละลายตายจะมีผลเป็นอย่างมากในการทำให้เกิดการวาวแสง (Florescence) ของสารละลายตาย นั่นคือหากว่าสารละลายตายมีความเข้มข้นมากเกินไป แสงจากไนโตรเจนเลเซอร์ก็ไม่สามารถทะลุผ่านเข้าไปในสารละลายตายได้เลย จะถูกดูดกลืนอยู่ที่บริเวณผิวหน้า แต่ถ้าสารละลายตายมีความเจือจางมากแสงจากไนโตรเจนเลเซอร์ก็จะทะลุผ่านเข้าไปภายในสารละลายตายมากเกินไป จึงทำให้เกิดการดูดกลืนอยู่ภายในหมด ดังนั้นจึงต้องคำนึงถึงความเข้มข้นของสารละลายตายที่บรรจุลงในคานาเซลล์ให้มีค่าความเข้มข้นที่เหมาะสมที่สุด

ในงานวิจัยนี้ใช้สารคานาชนิดโรดามีน 6 จี ทำละลายในเอทานอล 99% จึงจะกล่าวถึงเฉพาะการเตรียมสารละลายคานาชนิดโรดามีน 6 จีเท่านั้น ซึ่งโครงสร้างของโรดามีน 6 จี จะแสดงดังรูปที่ 3.13



รูปที่ 3.13 โครงสร้างของสาร โรดามีน 6 จี[3]

จากสูตรโครงสร้างโมเลกุลของคานา พบว่าจะเป็นพันธะแบบไฮโดรคาร์บอนมีสูตรโมเลกุลเขียนได้เป็น  $C_{28}H_{31}O_3N_2Cl$  ซึ่งคำนวณหามวลโมเลกุลได้โดย

$$\begin{aligned} \text{มวลโมเลกุลของโรดามีน 6 จี} &= (12.01115 \times 28) + (1.00800 \times 31) + (15.99900 \times 3) \\ &\quad + (14.00670 \times 2) + (35.45300 \times 1) \end{aligned}$$

$$\text{ดังนั้น โรดามีน 6 จี 1 โมลมีมวลโมเลกุล} = 479.0236$$

เมื่อ	H มีมวลอะตอม	=	1.00800
	N มีมวลอะตอม	=	14.00670
	O มีมวลอะตอม	=	15.99900
	Cl มีมวลอะตอม	=	35.45300
	C มีมวลอะตอม	=	12.01115

### การเตรียมสารละลายชนิดโรคามิน 6 จี มีขั้นตอนดังนี้

1. การหาปริมาณโรคามิน 6 จี ที่ต้องการใช้ (หน่วยเป็นกรัม)

เนื่องจากโรคามิน 6 จี มีมวลโมเลกุล 479.0236 นั่นคือ 1 โมลของโรคามิน 6 จี มีมวล 479.0236 กรัม ดังนั้นมวลของโรคามิน 6 จี ที่ต้องใช้เพื่อให้ได้จำนวนโมลที่ต้องการ สามารถคำนวณได้จากสมการต่อไปนี้

$$X = (\text{Mol})(\text{MW}) \quad (3.16)$$

เมื่อ X คือ มวลของสารโรคามิน 6 จี ที่ต้องการหา (หน่วยเป็นกรัม)  
 MW คือ มวลโมเลกุลของโรคามิน 6 จี มีค่าเท่ากับ 479.0236  
 Mol คือ จำนวนโมลของสารที่ต้องการ

ตัวอย่างเช่นต้องการสารโรคามิน 6 จี จำนวน  $1 \times 10^{-2}$  โมล จะสามารถคำนวณหา น้ำหนักได้จากสมการที่ (3.16)

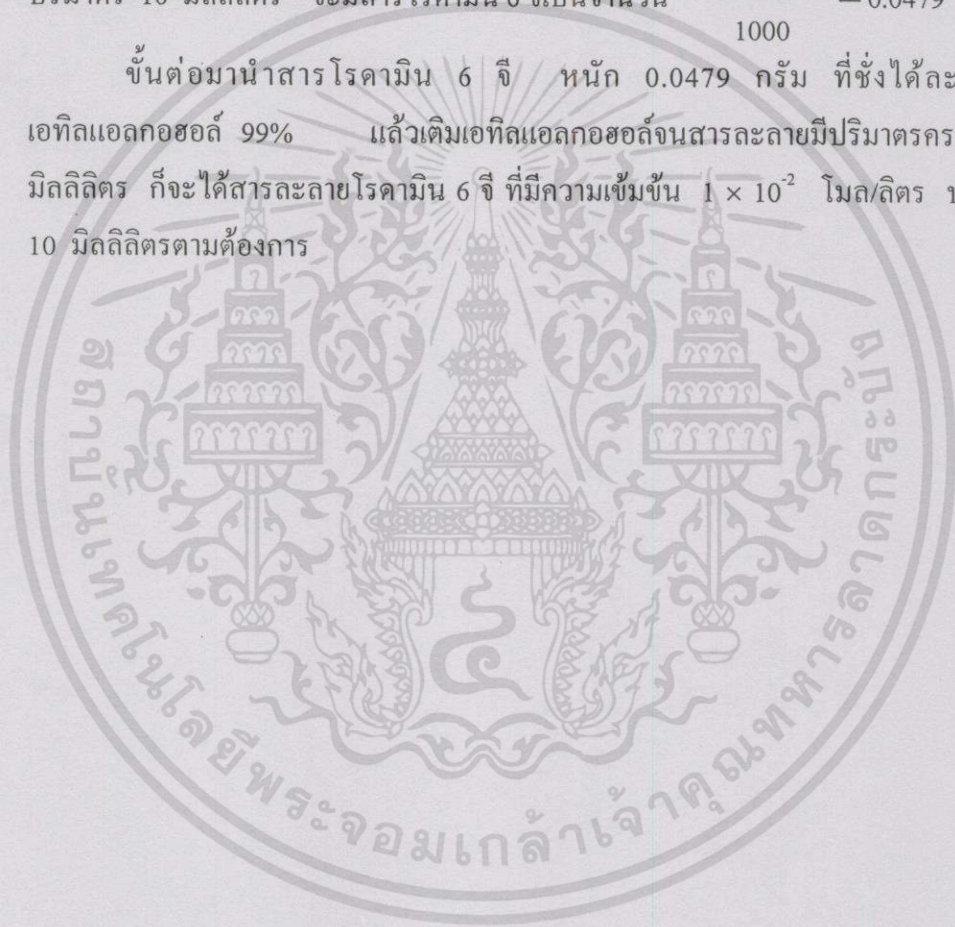
$$\begin{aligned} X &= (1 \times 10^{-2})(479.0236) \\ &= 4.7902 \quad \text{กรัม} \end{aligned}$$

- เมื่อทราบปริมาณของสารโรคามิน 6 จี ที่ต้องการ (X) จากข้อ (1) แล้ว ทำการชั่งสารโรคามิน 6 จี ด้วยเครื่องชั่งอิเล็กทรอนิกส์ให้ได้มวลตามค่าที่คำนวณได้ (ทศนิยม 4 ตำแหน่ง)
- นำสารละลายโรคามินที่ได้จากการชั่งในข้อ (2) มาละลายในเอทานอล 99% แล้วเติมเอทานอลจนสารละลายมีปริมาตรครบ 1 ลิตร จะได้สารละลายโรคามิน 6 จี มีความเข้มข้นตามต้องการ

หากไม่ต้องการสารละลายมากถึง 1 ลิตร อาจทำการเตรียมสารละลายในปริมาณเท่าที่ต้องการได้เช่น ต้องการสารละลายโรดามีน 6 จี ความเข้มข้น  $1 \times 10^{-2}$  โมล/ลิตร ที่มีปริมาตรเพียง 10 มิลลิลิตรเท่านั้น สามารถเตรียมได้โดย

ขั้นแรกต้องทำการคำนวณก่อนว่าในสารละลายโรดามีน 6 จี ความเข้มข้น  $1 \times 10^{-2}$  โมล ปริมาตร 10 มิลลิลิตร จะมีสารโรดามีน 6 จีเป็นจำนวนเท่าไร จากค่าที่คำนวณได้พบว่าสารละลายโรดามีน 6 จี ที่มีความเข้มข้น  $1 \times 10^{-2}$  โมล ปริมาตร 1 ลิตร (1 ลิตร = 1,000 มิลลิลิตร) จะมีสารโรดามีน 6 จี 4.7902 กรัม ดังนั้นในสารละลายโรดามีน 6 จี ปริมาตร 10 มิลลิลิตร จะมีสารโรดามีน 6 จีเป็นจำนวน  $\frac{4.7902 \times 10}{1000} = 0.0479$  กรัม

ขั้นต่อมา นำสารโรดามีน 6 จี หนัก 0.0479 กรัม ที่ซึ่งได้ละลายในเอทิลแอลกอฮอล์ 99% แล้วเติมเอทิลแอลกอฮอล์จนสารละลายมีปริมาตรครบ 10 มิลลิลิตร ก็จะได้สารละลายโรดามีน 6 จี ที่มีความเข้มข้น  $1 \times 10^{-2}$  โมล/ลิตร ปริมาตร 10 มิลลิลิตรตามต้องการ



## การทดลอง ผลการทดลอง และอภิปรายผลการทดลอง

บทนี้จะกล่าวถึงวิธีการทดสอบการทำงานของไนโตรเจนเลเซอร์แบบกระตุ้นตามขวางที่ความดันบรรยากาศ การหาสภาวะที่ทำให้เกิดแสงเลเซอร์ที่ดีที่สุด เช่น อัตราการไหลของแก๊ส ค่าแรงดันไฟฟ้ากระแสตรงที่ป้อนให้กับชุดไนโตรเจนเลเซอร์ เป็นต้น และศึกษาสมบัติของลำแสงไนโตรเจนบางประการ เช่น การลู่ออกของลำแสง ความกว้างของลำแสง ความยาวคลื่น และส่วนสุดท้ายจะกล่าวถึงการทดสอบการทำงานของไนโตรเจนเลเซอร์แบบกระตุ้นตามขวางที่ความดันบรรยากาศเมื่อนำไปใช้ป้อนระบบคายเลเซอร์ รวมทั้งสังเกตหาค่าความเข้มข้นของสารละลายคายที่เหมาะสม และวัดการลู่ออกของแสงจากระบบคายเลเซอร์ ซึ่งจะกล่าวถึงวิธีการทดลอง ผลการทดลอง และการอภิปรายผลการทดลองแยกเป็นหัวข้อดังต่อไปนี้

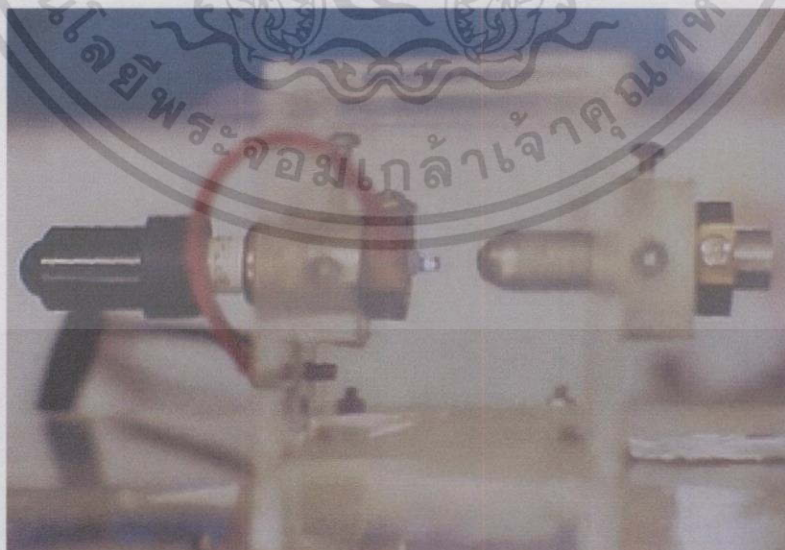
### 4.1 การทดสอบการทำงานของไนโตรเจนเลเซอร์แบบกระตุ้นตามขวางที่ความดันบรรยากาศ และศึกษาสมบัติของแสงเลเซอร์

#### 4.1.1 ทดสอบการทำงานของไนโตรเจนเลเซอร์แบบกระตุ้นตามขวางที่ความดันบรรยากาศ

1. จัดชุดกำเนิดแสงไนโตรเจนเลเซอร์โดยปรับระยะห่างของขั้วไฟฟ้าเท่ากับ 2.286 มิลลิเมตร โดยใช้ฟิลเตอร์ที่ใช้สำหรับวัดระยะห่างของเขี้ยวหัวเทียนรถยนต์
2. ตั้งระยะของสปาร์กแก๊ป ให้ห่างกัน 6.706 มิลลิเมตร โดยใช้ฟิลเตอร์เช่นกัน
3. เปิดสวิตช์ที่ชุดจุกระเบิดหัวเทียนเพื่อให้ชุดจุกระเบิดหัวเทียนควบคุมจังหวะของการเกิดแสงเลเซอร์ สังเกตผลที่เกิดขึ้นที่เขี้ยวหัวเทียน
4. ป้อนแรงดันจากชุดจ่ายไฟฟ้ากระแสตรงแรงดันสูงให้กับชุดไนโตรเจนเลเซอร์เพิ่มแรงดันช้า ๆ จนเกิดการสปาร์กที่ขั้วไฟฟ้า สังเกตผลที่เกิดขึ้นที่ขั้วไฟฟ้าและสังเกตดูว่าเกิดแสงเลเซอร์หรือไม่ โดยสังเกตจากฉากรับแสงที่ติดกระดาษเรืองแสงหรือกระดาษขาว ถ้าเกิดแสงเลเซอร์จะสังเกตเห็นจุดสว่างขึ้นที่ฉากรับแสง
5. ปลดปล่อยแก๊สไนโตรเจนที่มีความบริสุทธิ์ 99.99% เข้าไปยังช่องเลเซอร์ด้วยอัตราการไหลของแก๊ส 0.5 ลิตร/นาที สังเกตที่ฉากรับแสงว่าเกิดแสงเลเซอร์หรือไม่
6. สรุปและวิเคราะห์ผล

### ผลการทดลอง

เมื่อเปิดสวิตซ์ที่ชุดจลจรเบ็ดหัวเทียนให้ชุดจลจรเบ็ดหัวเทียนทำงานเพื่อควบคุม จังหวะของการเกิดเลเซอร์ จะสังเกตเห็นประกายไฟที่เชื่อมหัวเทียนตามจังหวะการ กระตุ้นดังแสดงในรูปที่ 4.1 เมื่อปรับแรงดันจากชุดจ่ายไฟฟ้ากระแสตรงแรงดันสูงให้ กับชุดไนโตรเจนเลเซอร์ เพิ่มแรงดันขึ้นช้า ๆ จนแรงดันมีค่าประมาณ 11.5 กิโลโวลต์ จะเริ่มเกิดการสปาร์กที่ขั้วไฟฟ้าแต่เกิดขึ้นเพียงครั้งเดียว เมื่อเพิ่มแรงดันสูงขึ้นไปจนถึงที่ 12 กิโลโวลต์ จะเกิดการสปาร์กที่มากขึ้นแต่ยังไม่สม่ำเสมอ เมื่อเพิ่มแรงดันมาก ขึ้นจนถึงที่ 12.5 กิโลโวลต์ จะเกิดการสปาร์กที่ขั้วไฟฟ้าที่สม่ำเสมอ สังเกตที่ฉากรับ แสงพบว่าไม่เกิดจุดแสงเลเซอร์ขึ้นแต่เห็นเป็นลักษณะของแสงจากการสปาร์ก เมื่อเพิ่ม แรงดันสูงขึ้นไปเรื่อย ๆ จนถึงที่ 14.5 กิโลโวลต์ จะสังเกตเห็นผลที่ฉากรับแสงได้เช่น เดียวกันซึ่งลักษณะการสปาร์กที่ขั้วไฟฟ้าและลักษณะของแสงที่ปรากฏที่ฉากรับแสง แสดงดังรูปที่ 4.2 และ 4.3ก ตามลำดับ เมื่อปรับแรงดันจากชุดจ่ายไฟฟ้ากระแสตรง แรงดันสูงลดลงมาที่ 12.5 กิโลโวลต์ แล้วปล่อยแก๊สไนโตรเจนที่มีความบริสุทธิ์ 99.99% เข้าไปยังช่องเลเซอร์ด้วยอัตราการไหลของแก๊ส 0.5 ลิตร/นาที สังเกตที่ฉาก รับแสงจะเริ่มเห็นเป็นจุดแสงเลเซอร์บ้างในบางครั้งแต่ยังไม่ชัดเจนมากนัก เมื่อเพิ่ม แรงดันไฟฟ้าให้สูงขึ้นเรื่อย ๆ พบว่าจุดแสงจะเข้มมากขึ้นเรื่อย ๆ จนที่ค่าแรงดัน 14.5 กิโลโวลต์พบว่าจุดแสงเลเซอร์ที่ปรากฏที่ฉากจะมีความเข้มมากที่สุด ซึ่งลำแสง ไนโตรเจนเลเซอร์มีลักษณะที่ไม่เป็นวงกลมแต่มีลักษณะเป็นรูปสี่เหลี่ยมผืนผ้าดัง แสดงในรูปที่ 4.3ข

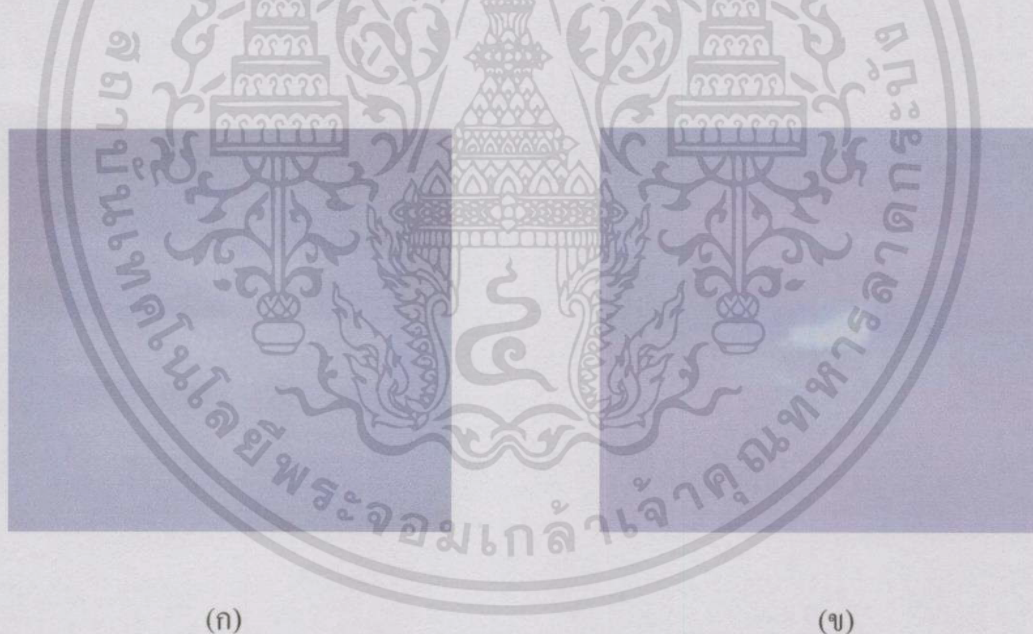


รูปที่ 4.1 การเกิดการสปาร์กที่เชื่อมหัวเทียน เมื่อเปิดสวิตซ์ที่ชุดจลจรเบ็ดหัวเทียน

เอกสารนี้เป็นเอกสารที่สงวนไว้สำหรับการใช้งานเพื่อการศึกษาเท่านั้น ไม่อนุญาตให้นำไปใช้ประโยชน์ด้านการค้า ไม่ว่ากรณีใดๆทั้งสิ้น อีกทั้งห้ามมิให้ดัดแปลงเนื้อหา และต้องอ้างอิงถึงเจ้าของเอกสารทุกครั้งที่มีการนำไปใช้



รูปที่ 4.2 การเกิดการสปาร์กที่ขั้วไฟฟ้า



(ก)

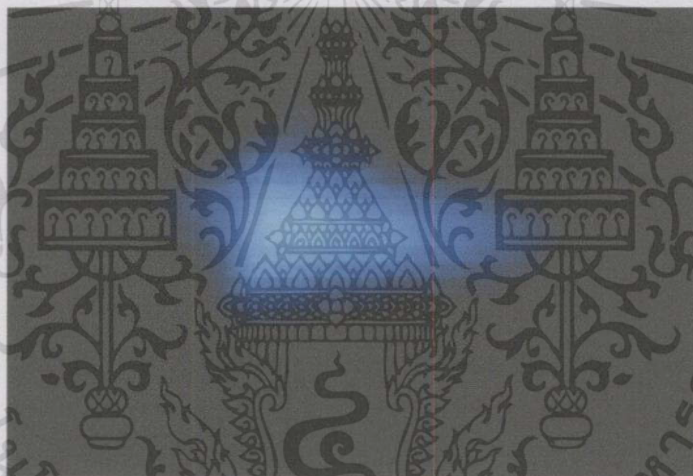
(ข)

รูปที่ 4.3 ลักษณะของแสงที่ปรากฏที่ฉากรับแสง (ติดด้วยกระดาษขาว) วางฉากห่างจากชุดไนโตรเจนเลเซอร์ 20 เซนติเมตร

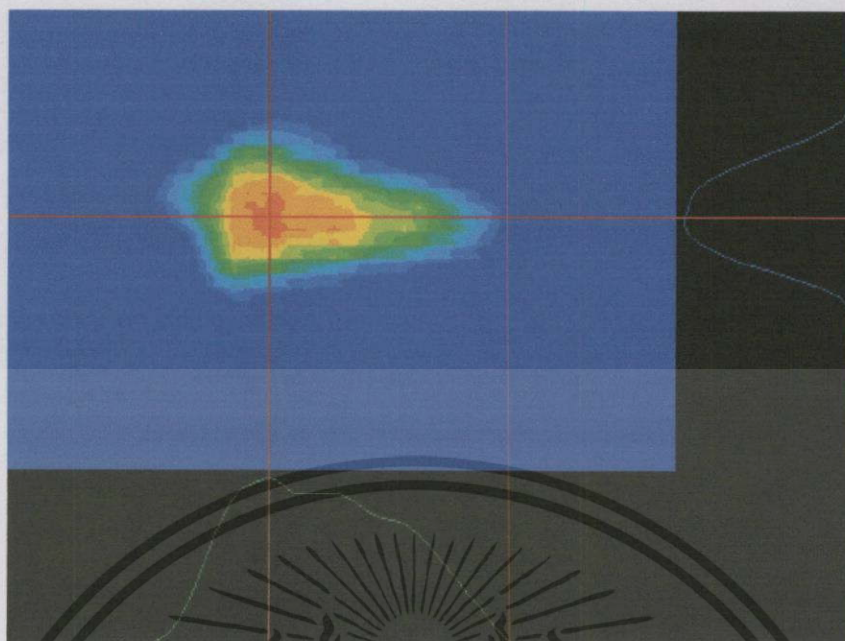
- (ก) แสงที่เกิดจากการสปาร์กที่ขั้วไฟฟ้าเมื่อยังไม่ได้ปล่อยแก๊สไนโตรเจนเข้าระบบ (เป็นเพียงแสงจากการสปาร์ก)
- (ข) แสงที่เกิดจากการสปาร์กที่ขั้วไฟฟ้าเมื่อปล่อยแก๊สไนโตรเจนเข้าระบบที่อัตราการไหลของแก๊ส 0.5 ลิตร/นาที (เกิดเป็นจุดแสงเลเซอร์)

เอกสารนี้เป็นเอกสารที่สงวนไว้สำหรับการใช้งานเพื่อการศึกษาเท่านั้น ไม่อนุญาตให้นำไปใช้ประโยชน์ด้านการค้า ไม่ว่ากรณีใดๆทั้งสิ้น อีกทั้งห้ามมิให้ดัดแปลงเนื้อหา และต้องอ้างอิงถึงเจ้าของเอกสารทุกครั้งที่มีการนำไปใช้

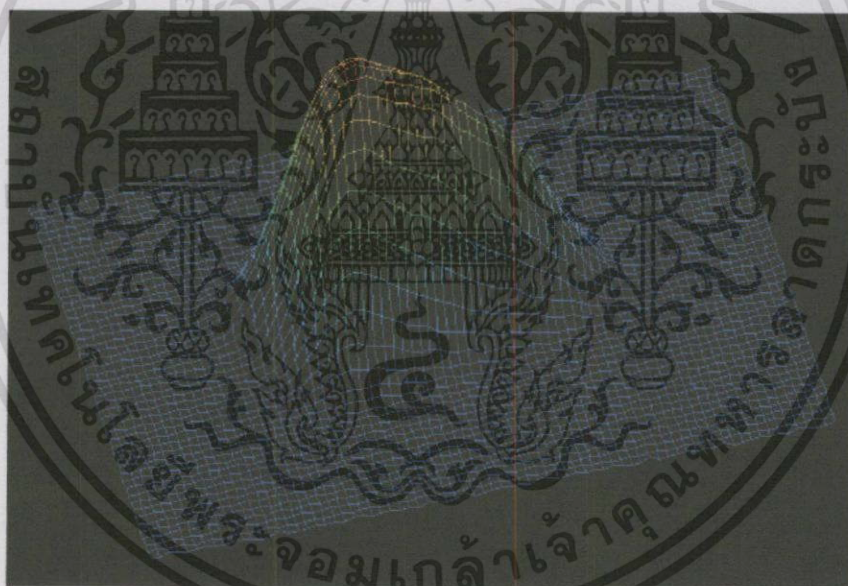
ทำการบันทึกภาพจุดแสงที่ปรากฏที่ฉาก (วางฉากห่างจากช่องที่แสงเลเซอร์ออก เป็นระยะ 20 เซนติเมตร) ด้วยกล้องถ่ายรูป Pentax รุ่น Super A ใช้เลนส์ขนาด 50 มิลลิเมตร เปิดหน้ากล้องไว้ที่ 1.7 และตั้งชัตเตอร์ไว้ที่ B นำภาพที่บันทึกได้แสดงใน รูปที่ 4.4 ไปวิเคราะห์การกระจายความเข้มแสงภายในจุดแสงในโตรเจนเลเซอร์ด้วย ระบบ Laser Beam Profiler ที่พัฒนาขึ้นโดยภาควิชาฟิสิกส์ประยุกต์ สจล. พบว่าได้ ลักษณะการกระจายความเข้มแสงใน 2 มิติ และโครงร่างของลำแสงตามแนวแกนนอน และแกนตั้งแสดงดังรูปที่ 4.5ก โดยแถบแสงสีแดงจะแสดงถึงบริเวณที่มีความเข้มมากที่สุด แถบแสงสีส้ม สีเหลือง สีเขียว สีน้ำเงิน และ สีม่วง จะแสดงถึงบริเวณที่มีความเข้มที่ น้อยลงตามลำดับ จากรูปที่ 4.5ก พบว่าบริเวณตรงกลางของจุดแสงในโตรเจนจะมีความ เข้มมากที่สุด และลักษณะการกระจายความเข้มแสงใน 3 มิติ แสดงดังรูปที่ 4.5ข



รูปที่ 4.4 ลักษณะของจุดแสงในโตรเจนเลเซอร์ที่บันทึกภาพที่ระยะห่างของฉาก 20 เซนติเมตร (ภาพที่นำไปวิเคราะห์การกระจายความเข้มแสงด้วยระบบ Laser Beam Profiler)



(ก)



(ข)

**รูปที่ 4.5** การกระจายความเข้มแสงภายในจุดแสงในโตรเจนเลเซอร์ (วัดด้วยระบบ Laser Beam Profiler ที่พัฒนาขึ้นโดยภาควิชาฟิสิกส์ประยุกต์ สถาบันเทคโนโลยีพระจอมเกล้าเจ้าคุณทหารลาดกระบัง)

(ก) การกระจายความเข้มแสงใน 2 มิติพร้อมโครงร่างของลำแสงตามแกนนอนและแกนตั้ง

(ข) การกระจายความเข้มแสงใน 3 มิติ

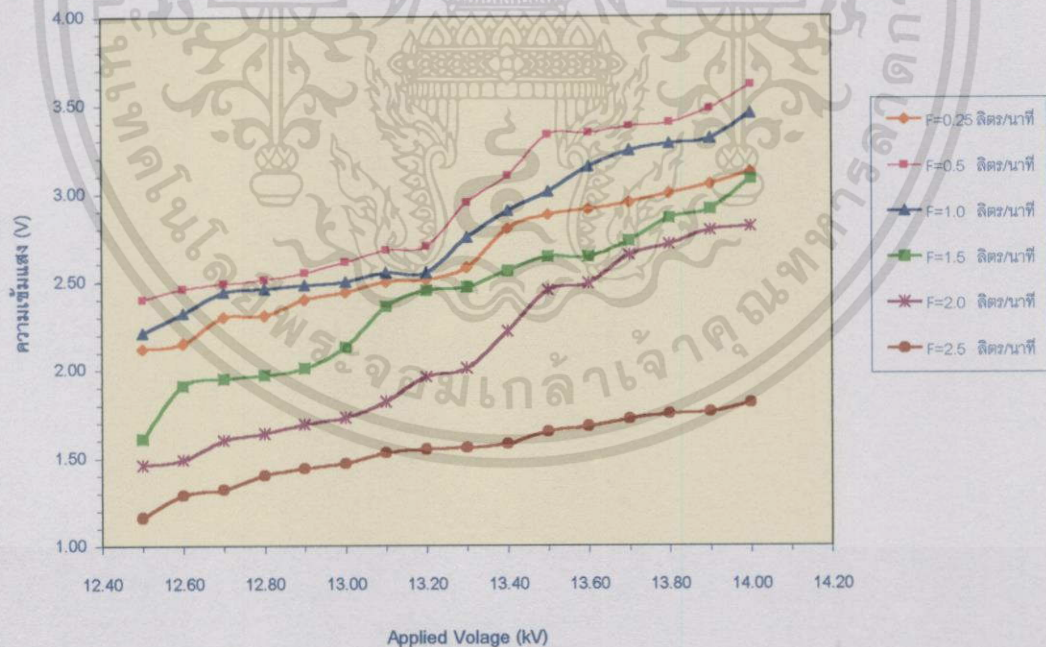
เอกสารนี้เป็นเอกสารที่สงวนไว้สำหรับการใช้งานเพื่อการศึกษาเท่านั้น ไม่อนุญาตให้นำไปใช้ประโยชน์ด้านการค้า ไม่ว่าจะกรณีใดๆทั้งสิ้น อีกทั้งห้ามมิให้ดัดแปลงเนื้อหา และต้องอ้างอิงถึงเจ้าของเอกสารทุกครั้งที่มีการนำไปใช้

#### 4.1.2 ความสัมพันธ์ระหว่างค่าแรงดันไฟฟ้ากระแสตรงแรงดันสูงที่ป้อนให้กับชุดไนโตรเจนเลเซอร์ (Applied Voltage) กับค่าความเข้มแสงที่อัตราการไหลของแก๊สไนโตรเจนค่าต่าง ๆ

1. จัดชุดกำเนิดแสงไนโตรเจนเลเซอร์โดยปรับระยะห่างของขั้วไฟฟ้าเท่ากับ 2.286 มิลลิเมตร ตั้งระยะห่างของสปาร์กแกปเท่ากับ 6.706 มิลลิเมตร ด้วยฟิลเลอร์ที่ใช้วัดระยะห่างของเขี้ยวหัวเทียนรถยนต์
2. เปิดสวิทช์ที่ชุดจุดระเบิดหัวเทียนเพื่อให้ชุดจุดระเบิดหัวเทียนควบคุมจังหวะของการเกิดแสงเลเซอร์
3. ปลดปล่อยแก๊สไนโตรเจนที่มีความบริสุทธิ์ 99.99 % เข้าไปยังช่องเลเซอร์ด้วยอัตราการไหลของแก๊ส 0.25 ลิตร/นาที่ และป้อนแรงดันจากชุดจ่ายไฟฟ้ากระแสตรงแรงดันสูง 12.5 กิโลโวลต์
4. นำหัววัดความเข้มแสงชนิดโฟโตไดโอดแบบ High-Speed Silicon Detector-DET200 ของบริษัท Thorlabs มาวัดความเข้มแสงโดยต่อเข้ากับออสซิลโลสโคปของบริษัท Tektronix รุ่น TDS 420 A
5. อ่านค่าแรงดันและบันทึกค่าแรงดันที่อ่านได้จากออสซิลโลสโคปจำนวน 100 ค่าแล้วนำไปหาค่าเฉลี่ย
6. ทำการทดลองเช่นเดียวกับข้อ 3-5 แต่เพิ่มแรงดันเป็น 12.6, 12.7, 12.8, 12.9, 13.0, 13.1, 13.2, 13.3, 13.4, 13.5, 13.6, 13.7, 13.8, 13.9 และ 14.0 กิโลโวลต์ ตามลำดับ
7. ทำการทดลองเช่นเดียวกับข้อ 3-6 แต่เพิ่มอัตราการไหลของแก๊สเป็น 0.5, 1.0, 1.5, 2.0 และ 2.5 ลิตร/นาที่ ตามลำดับ
8. นำผลของค่าข้อมูลเฉลี่ยที่ได้ไปเขียนกราฟความสัมพันธ์ระหว่างค่าแรงดันไฟฟ้ากระแสตรงแรงดันสูงที่ป้อนให้กับชุดเลเซอร์และความเข้มแสง เมื่อมีอัตราการไหลของแก๊สค่าต่าง ๆ กัน
9. สรุปและวิเคราะห์ผล

## ผลการทดลอง

เมื่อจัดชุดกำเนิดแสงไนโตรเจนเลเซอร์โดยปรับระยะห่างของขั้วไฟฟ้าเท่ากับ 2.286 มิลลิเมตร ตั้งระยะของสปาร์แกปให้ห่างกัน 6.706 มิลลิเมตร เปิดสวิตซ์ที่ชุดจุดระเบิดหัวเทียนเพื่อให้ชุดจุดระเบิดหัวเทียนควบคุมจังหวะของการเกิดแสงเลเซอร์ ปล่อยแก๊สไนโตรเจนที่มีความบริสุทธิ์ 99.99 % เข้าไปยังช่องเลเซอร์โดยเริ่มต้นที่อัตราการไหลของแก๊ส 0.25 ลิตร/นาที่ จ่ายแรงดันจากชุดจ่ายไฟฟ้ากระแสตรงแรงดันสูง 12.5 กิโลโวลต์ นำหัววัดความเข้มแสงชนิดโฟโตไดโอดต่อเข้ากับออสซิลโลสโคปอ่านและบันทึกค่าแรงดันที่อ่านได้จากออสซิลโลสโคปจำนวน 100 ค่า แล้วนำไปหาค่าเฉลี่ย เพิ่มแรงดันเป็น 12.6, 12.7, 12.8, 12.9, 13.0, 13.1, 13.2, 13.3, 13.4, 13.5, 13.6, 13.7, 13.8, 13.9 และ 14.0 กิโลโวลต์ตามลำดับ ทำการทดลองเช่นเดิม แต่เพิ่มอัตราการไหลของแก๊สเป็น 0.5, 1, 1.5, 2.0 และ 2.5 ลิตร/นาที่ ตามลำดับ ในแต่ละค่าแรงดัน นำผลของค่าข้อมูลเฉลี่ยที่ได้ไปเขียนกราฟความสัมพันธ์ระหว่างค่าแรงดันไฟฟ้ากระแสตรงแรงดันสูงที่ป้อนให้กับชุดไนโตรเจนเลเซอร์และความเข้มแสง เมื่อมีอัตราการไหลของแก๊สค่าต่าง ๆ กัน พบว่าจะได้กราฟดังแสดงในรูปที่ 4.6



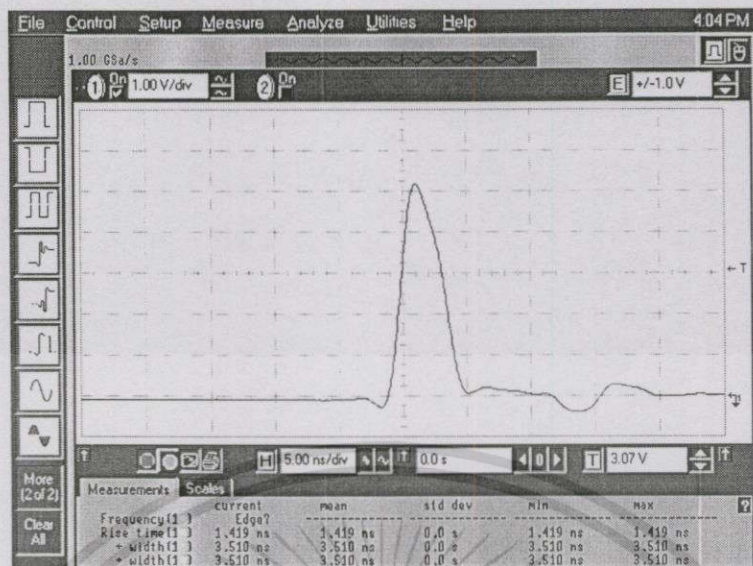
รูปที่ 4.6 กราฟความสัมพันธ์ระหว่างค่าแรงดันไฟฟ้ากระแสตรงที่ป้อนเข้าไปในระบบกับความเข้มแสง เมื่อวางตัววัดแสง (Detector) ห่าง 3 เมตร ระยะห่างของสปาร์กแกปเท่ากับ 6.706 มิลลิเมตร ระยะห่างของขั้วไฟฟ้าเท่ากับ 2.286 มิลลิเมตร

#### 4.1.3 การวัดค่าความกว้างของพัลส์ (Pulse Width)ของไนโตรเจนเลเซอร์แบบกระตุ้นตามขวางที่ความดันบรรยากาศ

1. จัดชุดกำเนิดแสงไนโตรเจนเลเซอร์โดยปรับระยะห่างของขั้วไฟฟ้าเท่ากับ 2.286 มิลลิเมตร ปรับระยะของสปาร์กแกปให้มีระยะห่าง 6.706 มิลลิเมตรโดยใช้ฟิลเตอร์ตั้งวาล์วที่ใช้สำหรับวักระยะห่างของเขี้ยวหัวเทียน
2. เปิดสวิตซ์ที่ชุดจุดระเบิดหัวเทียน เพื่อให้ชุดจุดระเบิดหัวเทียนควบคุมจังหวะของการเกิดแสงเลเซอร์
3. ปลดปล่อยแก๊สไนโตรเจนที่มีความบริสุทธิ์ 99.99 % เข้าไปยังช่องเลเซอร์ด้วยอัตราการไหลของแก๊ส 0.5 ลิตร/นาที และป้อนแรงดันจากชุดจ่ายไฟฟ้ากระแสตรงแรงดันสูง 14.0 กิโลโวลต์
4. นำหัววัดความเข้มแสงชนิดโฟโตไดโอดแบบ High-Speed Silicon Detector-DET200 ของบริษัท Thorlabs มาวัดความเข้มแสงโดยต่อเข้ากับออสซิลอสโคปของบริษัท Hewlett Packard รุ่น Infiniium 54810A
5. บันทึกลักษณะของสัญญาณที่เกิดขึ้น พร้อมกับบันทึกความกว้างของพัลส์จำนวน 20 ค่า แล้วนำไปหาค่าเฉลี่ย
6. สรุปและวิเคราะห์ผล

#### ผลการทดลอง

เมื่อจัดชุดกำเนิดแสงไนโตรเจนเลเซอร์โดยปรับระยะห่างของขั้วไฟฟ้า 2.286 มิลลิเมตร ระยะห่างของสปาร์กแกป 6.706 มิลลิเมตร เปิดสวิตซ์ที่ชุดจุดระเบิดหัวเทียน เพื่อให้ชุดจุดระเบิดหัวเทียนควบคุมจังหวะของการเกิดแสงเลเซอร์ ปลดปล่อยแก๊สไนโตรเจนที่มีความบริสุทธิ์ 99.99 % เข้าไปยังช่องเลเซอร์ด้วยอัตราการไหลของแก๊ส 0.5 ลิตร/นาที และป้อนแรงดันจากชุดจ่ายไฟฟ้ากระแสตรงแรงดันสูง 14.0 กิโลโวลต์ นำหัววัดความเข้มแสงมาวัดความเข้มแสงโดยต่อเข้ากับออสซิลอสโคป บันทึกลักษณะสัญญาณของแสงไนโตรเจนเลเซอร์ด้วยออสซิลอสโคปแสดงดังรูปที่ 4.7 และบันทึกความกว้างของพัลส์จำนวน 20 ครั้ง ได้ดังตารางที่ 4.1 ซึ่งหาค่าความกว้างพัลส์ได้  $3.40 \pm \frac{0.83}{\sqrt{20}} = 3.40 \pm 0.19$  นาโนวินาที ด้วยความเชื่อมั่น 63%



รูปที่ 4.7 ลักษณะของสัญญาณแสงใน โตรเจนเลเซอร์ที่วัดได้เมื่อต่อเข้าออสซิลโลสโคป

ตารางที่ 4.1 ค่าความกว้างของพัลส์ที่อ่านได้จากออสซิลโลสโคป

ครั้งที่	ความกว้างของพัลส์ (นาโนวินาที)	ครั้งที่	ความกว้างของพัลส์ (นาโนวินาที)
1	2.20	13	4.41
2	4.57	14	3.36
3	4.38	15	4.04
4	4.57	16	3.04
5	2.36	17	2.84
6	2.34	18	2.68
7	4.20	19	2.67
8	3.07	20	3.63
9	3.23	ค่าเฉลี่ย	3.40
10	4.34	ค่าเบี่ยงเบน มาตรฐาน	0.83
11	2.36	ความกว้าง ของพัลส์	3.40±0.19
12	3.78		

เอกสารนี้เป็นเอกสารที่สงวนไว้สำหรับการใช้งานเพื่อการศึกษาเท่านั้น ไม่อนุญาตให้นำไปใช้ประโยชน์ด้านการค้า  
ไม่ว่ากรณีใดๆทั้งสิ้น อีกทั้งห้ามมิให้ดัดแปลงเนื้อหา และต้องอ้างอิงถึงเจ้าของเอกสารทุกครั้งที่มีการนำไปใช้

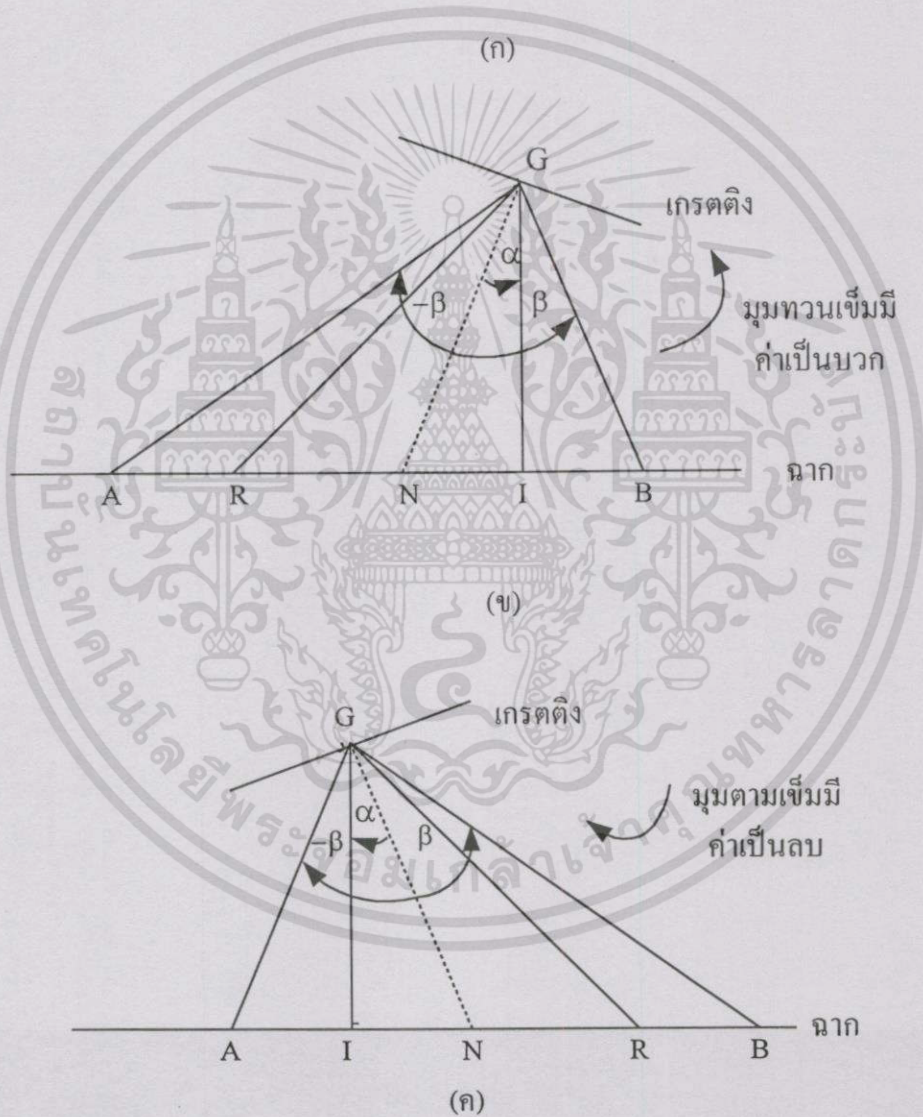
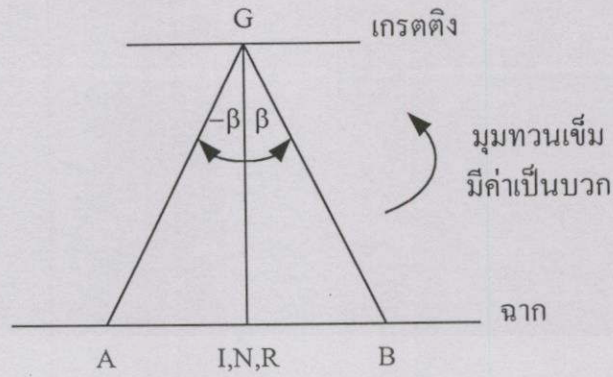
#### 4.1.4 การวัดความยาวคลื่นของไนโตรเจนเลเซอร์แบบกระตุ้นตามขวางที่ความดันบรรยากาศโดยใช้เกรตติง

ตอนที่ 1 วางเกรตติงให้แสงตกกระทบทำมุมศูนย์องศากับเส้นปกติของเกรตติง

$$(\alpha = 0)$$

1. จัดชุดกำเนิดแสงไนโตรเจนเลเซอร์โดยปรับระยะห่างของขั้วไฟฟ้าเท่ากับ 2.286 มิลลิเมตร ตั้งระยะของสปาร์กแกปให้ห่างกัน 6.706 มิลลิเมตร โดยใช้ฟิลเลอร์ที่ใช้สำหรับวัดระยะห่างของเขี้ยวหัวเทียนรถยนต์
2. เปิดสวิตซ์ที่ชุดจุกระเบิดหัวเทียนเพื่อให้ชุดจุกระเบิดหัวเทียนเป็นตัวควบคุมจังหวะของการเกิดแสงเลเซอร์
3. ปลดปล่อยแก๊สไนโตรเจนที่มีความบริสุทธิ์ 99.99 % เข้าไปยังช่องเลเซอร์ด้วยอัตราการไหลของแก๊ส 0.5 ลิตร/นาที และป้อนแรงดันจากชุดจ่ายไฟฟ้ากระแสตรงแรงดันสูง 14.0 กิโลโวลต์
4. นำเกรตติงชนิดเลี้ยวเบน (Diffraction Grating) ชนิด 1800 เส้น/มิลลิเมตร มาวางห่างจากช่องที่แสงเลเซอร์ออก โดยให้ระนาบของเกรตติงตั้งฉากกับลำแสงเลเซอร์ (มุมตกกระทบมีค่าเท่ากับศูนย์) วางเกรตติงห่างจากช่องที่แสงเลเซอร์ออกเป็นระยะ 7.55 เซนติเมตร
5. นำฉากรับแสงมาติดไว้ที่ช่องที่แสงเลเซอร์ออก โดยทำช่องให้มีขนาดเท่ากับขนาดของลำแสงไนโตรเจนเลเซอร์ที่ออกมา
6. บันทึกระยะ  $\overline{IG}$ ,  $\overline{RI}$ ,  $\overline{IA}$  และ  $\overline{IB}$  ซึ่งลักษณะของตำแหน่งต่าง ๆ แสดงดังรูปที่ 4.8ก

เมื่อ	I	คือ	ตำแหน่งของแสงเลเซอร์ที่ออกมา
	G	คือ	ตำแหน่งของเกรตติง
	R	คือ	ตำแหน่งของแสงที่สะท้อนจากเกรตติงที่ปรากฏบนฉาก
	A	คือ	ตำแหน่งของแสงที่หักเหจากเกรตติงที่ปรากฏที่ฉากทางด้านซ้าย
	B	คือ	ตำแหน่งของแสงที่หักเหจากเกรตติงที่ปรากฏที่ฉากทางด้านขวา
	N	คือ	ตำแหน่งของเส้นปกติ



รูปที่ 4.8 การวางเกรตติงในลักษณะต่างๆ กัน

- (ก) วางเกรตติงในลักษณะที่มุมตกกระทบมีค่าเป็นศูนย์องศา
- (ข) วางเกรตติงในลักษณะที่มุมตกกระทบมีค่าเป็นบวก
- (ค) วางเกรตติงในลักษณะที่มุมตกกระทบมีค่าเป็นลบ

เอกสารนี้เป็นเอกสารที่สงวนไว้สำหรับการใช้งานเพื่อการศึกษาเท่านั้น ไม่อนุญาตให้นำไปใช้ประโยชน์ด้านการค้า ไม่ว่ากรณีใดๆ ทั้งสิ้น อีกทั้งห้ามมิให้ดัดแปลงเนื้อหา และต้องอ้างอิงถึงเจ้าของเอกสารทุกครั้งที่มีการนำไปใช้

7. คำนวณค่ามุมเลี้ยวเบนจากเกรตติงที่ปรากฏที่ฉากทางด้านซ้าย ( $\beta_{(-)}$ ) จากสมการที่(4.1)

$$\text{จาก} \quad \tan \beta_{(-)} = \frac{\overline{IA}}{\overline{IG}}$$

$$\beta_{(-)} = \tan^{-1} \frac{\overline{IA}}{\overline{IG}} \quad (4.1)$$

8. บันทึกค่าที่คำนวณได้ลงในตาราง

9. คำนวณหาค่ามุมเลี้ยวเบนจากเกรตติงที่ปรากฏที่ฉากทางด้านขวา ( $\beta_{(+)}$ ) จากสมการที่ (4.2)

$$\text{จาก} \quad \tan \beta_{(+)} = \frac{\overline{IB}}{\overline{IG}}$$

$$\beta_{(+)} = \tan^{-1} \frac{\overline{IB}}{\overline{IG}} \quad (4.2)$$

10. บันทึกค่าที่คำนวณได้ลงในตาราง

11. นำค่า  $\beta_{(-)}$  และ  $\beta_{(+)}$  ที่ได้ไปคำนวณหาความยาวคลื่นของในโตรเจนเลเซอร์ จากสมการของเกรตติงเลี้ยวเบน (สมการที่ 3.13)
12. บันทึกค่า  $\lambda_{(-)}$  และ  $\lambda_{(+)}$  ที่คำนวณได้ลงในตาราง 4.2 เมื่อ  $\lambda_{(-)}$  และ  $\lambda_{(+)}$  คือ ความยาวคลื่นที่คำนวณจากมุม  $\beta_{(-)}$  และ  $\beta_{(+)}$  ตามลำดับ
13. ทำการทดลองเช่นเดิม แต่เลื่อนเกรตติงให้ห่างจากช่องที่แสงเลเซอร์ออกเป็น ระยะ 10.10, 12.65, 15.20, 17.75, 20.30, 22.85, 25.40, 27.95 และ 30.50 เซนติเมตร ตามลำดับ
14. บันทึกผลการทดลองที่ได้ลงในตาราง 4.2
15. สรุปและวิเคราะห์ผล

ตอนที่ 2 วางเกรตติงให้แสงตกกระทบทำมุมค่าต่าง ๆ กับเส้นปกติของเกรตติง

1. ทำการทดลองเช่นเดียวกับตอนที่ 1 แต่วางเกรตติงห่างจากช่องที่แสงเลเซอร์ออกเป็นระยะ 22.80 เซนติเมตร (เมื่อระนาบของเกรตติงตั้งฉากกับลำแสง) ที่ตำแหน่งนี้แสงตกกระทบจะทำมุมศูนย์กลางกับเส้นปกติของเกรตติง ( $\alpha = 0$ ) บันทึกระยะ  $\overline{IG}$ ,  $\overline{RI}$ ,  $\overline{IA}$  และ  $\overline{IB}$  ซึ่งลักษณะของตำแหน่งต่าง ๆ แสดงดังรูปที่ 4.8ข และ 4.8ค

2. คำนวณหาค่า  $\beta_{(-)}$  และ  $\beta_{(+)}$  จากสมการที่ (4.1) และ (4.2) ตามลำดับ
3. นำค่า  $\beta_{(-)}$  และ  $\beta_{(+)}$  ที่ได้ไปคำนวณหาความยาวคลื่นของไนโตรเจนเลเซอร์ จากสมการของเกรตติงเลี้ยวเบน (สมการที่ 3.13)
4. บันทึกค่า  $\lambda_{(-)}$  และ  $\lambda_{(+)}$  ที่คำนวณได้ลงในตาราง 4.3
5. ทำการทดลองเช่นเดิมแต่หมุนเกรตติงให้แสงตกกระทบบนมุมค่าต่าง ๆ กับเส้นปกติของเกรตติง โดยให้  $\overline{IG}$  มีระยะ 22.30, 22.40, 22.50, 22.60, 22.70, 22.80, 22.90, 23.00, 23.10, 23.20 และ 23.30 ตามลำดับ
6. บันทึกระยะ  $\overline{IG}$ ,  $\overline{RI}$ ,  $\overline{IA}$  และ  $\overline{IB}$  ซึ่งลักษณะของตำแหน่งต่าง ๆ แสดงดังรูปที่ (4.8ก), (4.8ข) และ (4.8ค) เมื่อมุมตกกระทบบนมุมศูนย์กลางกับเส้นปกติของเกรตติง มุมตกกระทบบมีค่าเป็นบวก และมุมตกกระทบบมีค่าเป็นลบ ตามลำดับ (เมื่อให้มุมที่มีทิศวนเข็มนาฬิกามีค่าเป็นบวก)

7. คำนวณหาค่ามุมตกกระทบบจากสมการที่ (4.3)

จาก 
$$\tan 2\alpha = \frac{\overline{RI}}{\overline{IG}}$$

$$\alpha = \frac{1}{2} \left( \tan^{-1} \frac{\overline{RI}}{\overline{IG}} \right) \quad (4.3)$$

8. เมื่อมุมตกกระทบบมีค่าเป็นบวกคำนวณหาค่ามุม  $\beta_{(-)}$  และ  $\beta_{(+)}$  ได้จากสมการที่ (4.4) และ (4.5)

$$\beta_{(-)} = \tan^{-1} \left( \frac{\overline{IA}}{\overline{IG}} \right) + \frac{1}{2} \left( \tan^{-1} \frac{\overline{RI}}{\overline{IG}} \right) \quad (4.4)$$

$$\beta_{(+)} = \tan^{-1} \left( \frac{\overline{IB}}{\overline{IG}} \right) + \frac{1}{2} \left( \tan^{-1} \frac{\overline{RI}}{\overline{IG}} \right) \quad (4.5)$$

9. นำค่า  $\alpha$ ,  $\beta_{(-)}$  และ  $\beta_{(+)}$  ที่ได้ไปคำนวณหาความยาวคลื่น ( $\lambda_{(-)}$  และ  $\lambda_{(+)}$ ) โดยใช้สมการเกรตติงเลี้ยวเบน (สมการที่ 3.13)
10. สรุปและวิเคราะห์ผล

## ผลการทดลอง

เมื่อจัดชุดกำเนิดแสงไนโตรเจนเลเซอร์ โดยปรับระยะห่างของขั้วไฟฟ้า 2.286 มิลลิเมตร ระยะห่างของสปาร์กเกป 6.706 มิลลิเมตร เปิดสวิตซ์ที่ชุดจุดระเบิดหัวเทียนเพื่อควบคุมจังหวะของการเกิดแสงเลเซอร์ ปล่อยแก๊สไนโตรเจนที่มีความบริสุทธิ์ 99.99 % เข้าไปยังช่องเลเซอร์ด้วยอัตราการไหล 0.5 ลิตร/นาที และป้อนแรงดันจากชุดจ่ายไฟฟ้ากระแสตรงแรงดันสูง 14.0 กิโลโวลต์ นำเกรตติงเดี่ยวเบนชนิด 1800 เส้นต่อมิลลิเมตรมาวัดความยาวคลื่นพบว่าเมื่อวางเกรตติงให้ระนาบของเกรตติงตั้งฉากกับลำแสงไนโตรเจนเลเซอร์ ( $\alpha = 0$  องศา) ดังการทดลองตอนที่ 1 พบว่า

$$\text{ความยาวคลื่น}(\lambda) = 3.37 \pm \frac{0.01}{\sqrt{20}} = (3.37 \pm 2.24 \times 10^{-3}) \times 10^{-7} \text{ เมตร} = 337 \pm 0.22 \text{ นาโนเมตร}$$

เมื่อวางเกรตติงให้แสงตกกระทบทำมุมค่าต่าง ๆ กับเส้นปกติของเกรตติง ดังการทดลองตอนที่ 2

$$\text{ความยาวคลื่น}(\lambda) = 3.37 \pm \frac{0.01}{\sqrt{22}} = (3.37 \pm 2.13 \times 10^{-3}) \times 10^{-7} \text{ เมตร} = 337 \pm 0.21 \text{ นาโนเมตร}$$

ตารางที่ 4.2 การวัดความยาวคลื่นโดยใช้เกรตติงเดี่ยวเบน เมื่อวางเกรตติงให้ระนาบของเกรตติงตั้งฉากกับลำแสงไนโตรเจนเลเซอร์ ( $\alpha = 0$  องศา)

ครั้งที่	$\overline{IG}$ (ซม.)	$\overline{RI}$ (ซม.)	$\overline{IA}$ (ซม.)	$\overline{IB}$ (ซม.)	$\alpha$ (องศา)	$\beta_{(-)}$ (องศา)	$\beta_{(+)}$ (องศา)	$\lambda_{(-)}$ ( $\times 10^{-7}$ เมตร)	$\lambda_{(+)}$ ( $\times 10^{-7}$ เมตร)
1	7.55	0.00	-5.70	5.75	0.00	-37.05	37.29	3.35	3.37
2	10.10	0.00	-7.75	7.70	0.00	-37.50	37.32	3.38	3.37
3	12.65	0.00	-9.65	9.70	0.00	-37.34	37.48	3.37	3.38
4	15.20	0.00	-11.60	11.65	0.00	-37.35	37.47	3.37	3.38
5	17.75	0.00	-13.55	13.55	0.00	-37.36	37.36	3.37	3.37
6	20.30	0.00	-15.55	15.50	0.00	-37.45	37.36	3.38	3.37
7	22.85	0.00	-17.40	17.50	0.00	-37.29	37.45	3.37	3.38
8	25.40	0.00	-19.35	19.35	0.00	-37.30	37.30	3.37	3.37
9	27.95	0.00	-21.40	21.40	0.00	-37.44	37.44	3.38	3.38
10	30.50	0.00	-23.35	23.35	0.00	-37.44	37.44	3.38	3.38
ค่าเฉลี่ย								3.37	
ค่าเบี่ยงเบนมาตรฐาน								0.01	
ความยาวคลื่น								$3.37 \pm 2.24 \times 10^{-3}$	

เอกสารนี้เป็นเอกสารที่สงวนไว้สำหรับการใช้งานเพื่อการศึกษาเท่านั้น ไม่อนุญาตให้นำไปใช้ประโยชน์ด้านการค้า ไม่ว่าจะกรณีใดๆทั้งสิ้น อีกทั้งห้ามมิให้ดัดแปลงเนื้อหา และต้องอ้างอิงถึงเจ้าของเอกสารทุกครั้งที่มีการนำไปใช้

ตารางที่ 4.3 การวัดความยาวคลื่นโดยใช้เกรตติงเลี้ยวเบน เมื่อวางเกรตติงให้แสงตกกระทบบำมุมค่าต่าง ๆ กับเส้นปกติของเกรตติง

ครั้งที่	$\overline{IG}$ (ซม.)	$\overline{RI}$ (ซม.)	$\overline{IA}$ (ซม.)	$\overline{IB}$ (ซม.)	$\alpha$ (องศา)	$\beta_{(-)}$ (องศา)	$\beta_{(+)}$ (องศา)	$\lambda_{(-)}$ ( $\times 10^{-7}$ เมตร)	$\lambda_{(+)}$ ( $\times 10^{-7}$ เมตร)
1	22.30	-3.15	-12.10	23.55	-4.02	-32.50	42.54	3.37	3.37
2	22.40	-2.60	-12.90	22.50	-3.31	-33.25	41.82	3.37	3.38
3	22.50	-2.00	-13.90	21.00	-2.54	-34.25	40.49	3.37	3.36
4	22.60	-1.45	-14.90	20.00	-1.84	-35.23	39.67	3.38	3.37
5	22.70	-0.70	-16.15	18.60	-0.88	-36.31	38.45	3.38	3.37
6	22.80	0.00	-17.35	17.45	0.00	-37.27	37.43	3.36	3.38
7	22.90	1.05	-19.60	15.65	1.31	-39.25	35.66	3.39	3.37
8	23.00	1.65	-21.00	14.80	2.05	-40.35	34.81	3.40	3.37
9	23.10	2.10	-21.90	14.20	2.60	-40.88	34.18	3.38	3.37
10	23.20	2.55	-23.00	13.55	3.14	-41.62	33.42	3.39	3.36
11	23.30	3.20	-24.55	12.70	3.91	-42.59	32.50	3.38	3.36
ค่าเฉลี่ย								3.37	
ค่าเบี่ยงเบนมาตรฐาน								0.01	
ความยาวคลื่น								$3.37 \pm 2.13 \times 10^{-3}$	

#### 4.1.5 การลู่ออกของแสงจากไนโตรเจนเลเซอร์แบบกระตุ้นตามขวางที่ความดันบรรยากาศ

1. จัดชุดกำเนิดแสงไนโตรเจนเลเซอร์โดยปรับระยะห่างของขั้วไฟฟ้าเท่ากับ 2.286 มิลลิเมตร ปรับระยะของสปาร์แกปให้ห่างกัน 6.706 มิลลิเมตร โดยใช้ฟิลเตอร์สำหรับวัดระยะห่างของเขี้ยวหัวเทียน
2. เปิดสวิทช์ที่ชุดจุดระเบิดหัวเทียนเพื่อควบคุมจังหวะการเกิดแสงเลเซอร์
3. ปลดปล่อยแก๊สไนโตรเจนที่มีความบริสุทธิ์ 99.99 % เข้าไปยังช่องเลเซอร์ด้วยอัตราการไหลของแก๊ส 0.5 ลิตร/นาที และป้อนแรงดันจากชุดจ่ายไฟฟ้ากระแสตรงแรงดันสูง 14.0 กิโลโวลต์
4. นำฉากไปวางห่างจากช่องที่แสงเลเซอร์ออกมาเป็นระยะทาง 10 เซนติเมตร บันทึกภาพโดยใช้กล้องถ่ายรูป Pentax รุ่น Super A ใช้เลนส์ขนาด 50 มิลลิเมตร เปิดหน้ากล้องไว้ที่ 1.7 และตั้งชัตเตอร์ไว้ที่ B ทำการบันทึกภาพแสงเลเซอร์ 5 ภาพ
5. เลื่อนฉากออกมาที่ระยะ 30 , 50 ,100, 150, 200, 250 และ 300 เซนติเมตร ตามลำดับ บันทึกภาพเช่นเดิม
6. นำภาพที่ได้มาทำการวิเคราะห์และหาค่าเฉลี่ยขนาดของลำแสงไนโตรเจนเลเซอร์
7. นำค่าที่ได้ไปเขียนกราฟแสดงความสัมพันธ์ระหว่างระยะทางและขนาดของลำแสงไนโตรเจนเลเซอร์
8. คำนวณหาค่าการลู่ออกของลำแสง (Beam Divergence) จากสมการ

$$\tan \theta = \frac{\Delta y}{\Delta x} = \frac{r}{D} \quad (4.6)$$

เมื่อ  $r$  = ขนาดของลำแสง  $D$  = ระยะห่างของฉาก

$$\text{หรือจากสมการเส้นตรง} \quad y = mx + c \quad (4.7)$$

$$\text{เมื่อ } m = \text{ความชันของกราฟ} = \frac{\Delta y}{\Delta x} \quad c = \text{จุดตัดแกน } y$$

เปรียบเทียบสมการที่ (4.6) และ(4.7)จะสามารถหาการลู่ออกของแสง ( $\theta$ ) ได้ดังสมการที่ (4.8)

$$\theta = \tan^{-1} \left( \frac{r}{D} \right) = \tan^{-1} \left( \frac{\Delta y}{\Delta x} \right) = \tan^{-1} (m) \quad (4.8)$$

#### 9. สรุปและวิเคราะห์ผล

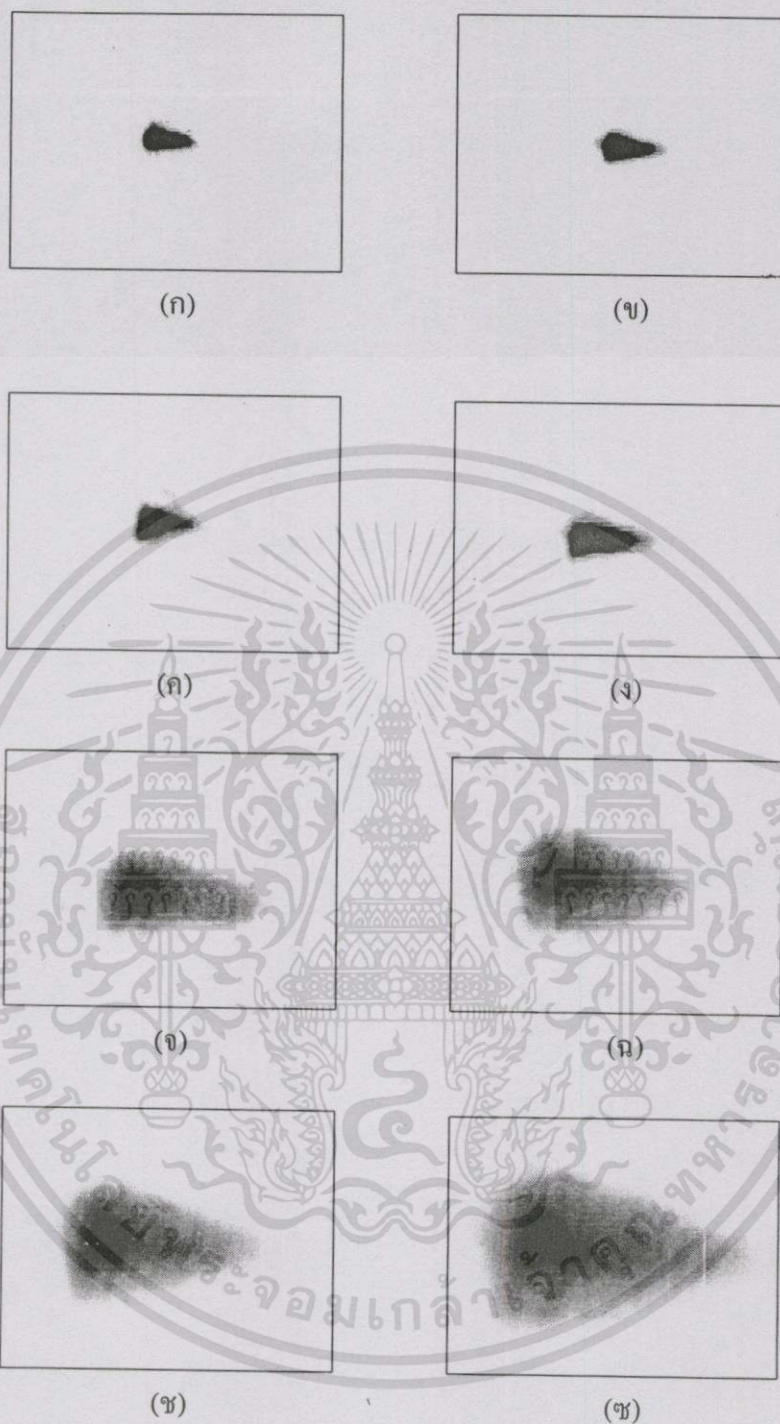
เอกสารนี้เป็นเอกสารที่สงวนไว้สำหรับการใช้งานเพื่อการศึกษาเท่านั้น ไม่อนุญาตให้นำไปใช้ประโยชน์ด้านการค้า ไม่ว่ากรณีใดๆทั้งสิ้น อีกทั้งห้ามมิให้ดัดแปลงเนื้อหา และต้องอ้างอิงถึงเจ้าของเอกสารทุกครั้งที่มีการนำไปใช้

## ผลการทดลอง

เมื่อจัดชุดกำเนิดแสงเลเซอร์โดยปรับระยะห่างของขั้วไฟฟ้าเท่ากับ 2.286 มิลลิเมตร ตั้งระยะของสปาร์แกปให้ห่างกัน 6.706 มิลลิเมตร เปิดสวิตซ์ที่ชุดจุดระเบิด หัวเทียนให้ชุดจุดระเบิดหัวเทียนควบคุมจังหวะการเกิดแสงเลเซอร์ ปลดอแก๊สในโตรเจนที่มีความบริสุทธิ์ 99.99 % เข้าไปยังช่องเลเซอร์ที่อัตราการไหลของแก๊ส 0.5 ลิตร/นาที่ และป้อนแรงดันจากชุดจ่ายไฟฟ้ากระแสตรงแรงดันสูง 14.0 กิโลโวลต์ นำฉากไปวางห่างจากช่องที่แสงเลเซอร์ออกมาเป็นระยะทาง 10, 30, 50, 100, 150, 200, 250 และ 300 เซนติเมตรตามลำดับ ทำการบันทึกภาพ ลักษณะของภาพที่บันทึกแสดงดังรูปที่ 4.9 ซึ่งเมื่อระยะห่างของฉากมากขึ้นลักษณะของลำแสงก็จะยิ่งมีขนาดใหญ่ขึ้น ทำการบันทึกภาพเมื่อวางฉากที่ตำแหน่งต่าง ๆ กัน ตำแหน่งละ 5 ภาพ วัดขนาดของลำแสงทั้งด้านกว้างและด้านยาว นำไปหาค่าเฉลี่ยผลที่ได้จะแสดงดังตารางที่ 4.4 และเมื่อนำค่าที่ได้ไปเขียนกราฟความสัมพันธ์ระหว่างระยะห่างของฉากกับขนาดของลำแสงในโตรเจนเลเซอร์ จะแสดงดังรูปที่ 4.10

ตารางที่ 4.4 ค่าเฉลี่ยขนาดของลำแสงในโตรเจนเลเซอร์ที่ระยะห่างของฉากค่าต่างๆ

ระยะห่างของฉาก (ซม.)	ค่าเฉลี่ยขนาดของลำแสง	
	ด้านกว้าง(ซม.)	ด้านยาว(ซม.)
10	0.34	0.51
30	0.43	0.69
50	0.51	0.85
100	0.77	1.31
150	0.95	1.81
200	1.21	2.24
250	1.43	2.73
300	1.71	3.06



รูปที่ 4.9 ลักษณะของลำแสงในโตรเจนเลเซอร์ที่บันทึกภาพเมื่อวางฉากที่ตำแหน่งต่าง ๆ

(ภาพขาวดำ ขนาดไม่เท่าจริง)

(ก) วางฉากห่าง 10 เซนติเมตร

(ข) วางฉากห่าง 30 เซนติเมตร

(ค) วางฉากห่าง 50 เซนติเมตร

(ง) วางฉากห่าง 100 เซนติเมตร

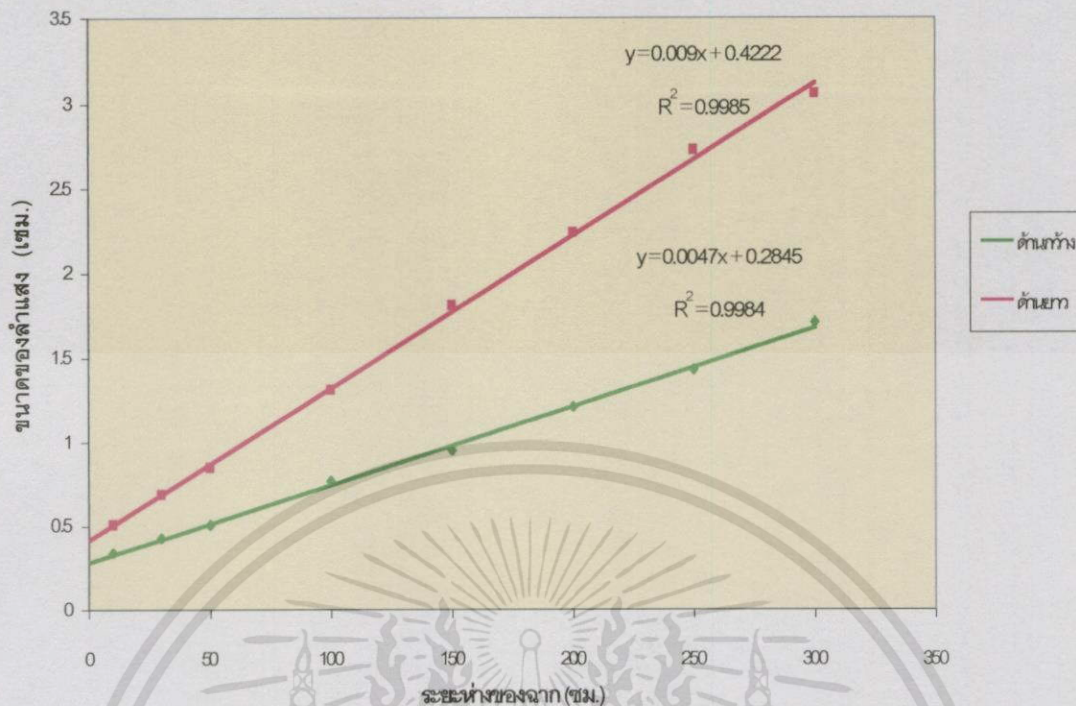
(จ) วางฉากห่าง 150 เซนติเมตร

(ฉ) วางฉากห่าง 200 เซนติเมตร

(ช) วางฉากห่าง 250 เซนติเมตร

(ซ) วางฉากห่าง 300 เซนติเมตร

เอกสารนี้เป็นเอกสารที่สงวนไว้สำหรับการใช้งานเพื่อการศึกษาเท่านั้น ไม่อนุญาตให้นำไปใช้ประโยชน์ด้านการค้า  
ไม่ว่ากรณีใดๆทั้งสิ้น อีกทั้งห้ามมิให้ดัดแปลงเนื้อหา และต้องอ้างอิงถึงเจ้าของเอกสารทุกครั้งที่มีการนำไปใช้



**รูปที่ 4.10** กราฟความสัมพันธ์ระหว่างระยะห่างของฉากกับขนาดของลำแสงในโตรเจนเลเซอร์ เมื่อระยะห่างระหว่างสปาร์เกปเท่ากับ 6.706 มิลลิเมตร ระยะห่างขั้วไฟฟ้าเท่ากับ 2.286 มิลลิเมตร แรงดันไฟฟ้ากระแสตรง 14 กิโลโวลต์ และอัตราการไหลของแก๊ส 0.5 ลิตร/นาที

จากรูปที่ 4.10 จะสามารถหาการถู้ออกของลำแสงได้ โดยคำนวณจากสมการที่ (4.8) เมื่อพิจารณาจากความชันของกราฟ (ค่า  $m$ ) พบว่า  
 สมการเส้นตรงของขนาดแสงทางด้านกว้างมีค่า  $m = 0.0047$   
 สมการเส้นตรงของขนาดแสงทางด้านขามมีค่า  $m = 0.0090$

ดังนั้น การถู้ออกของแสง(มุมเต็ม)ทางด้านกว้างมีค่าเท่ากับ  $\theta = \tan^{-1}(0.0047)$   
 $= 4.7$  มิลลิเรเดียน

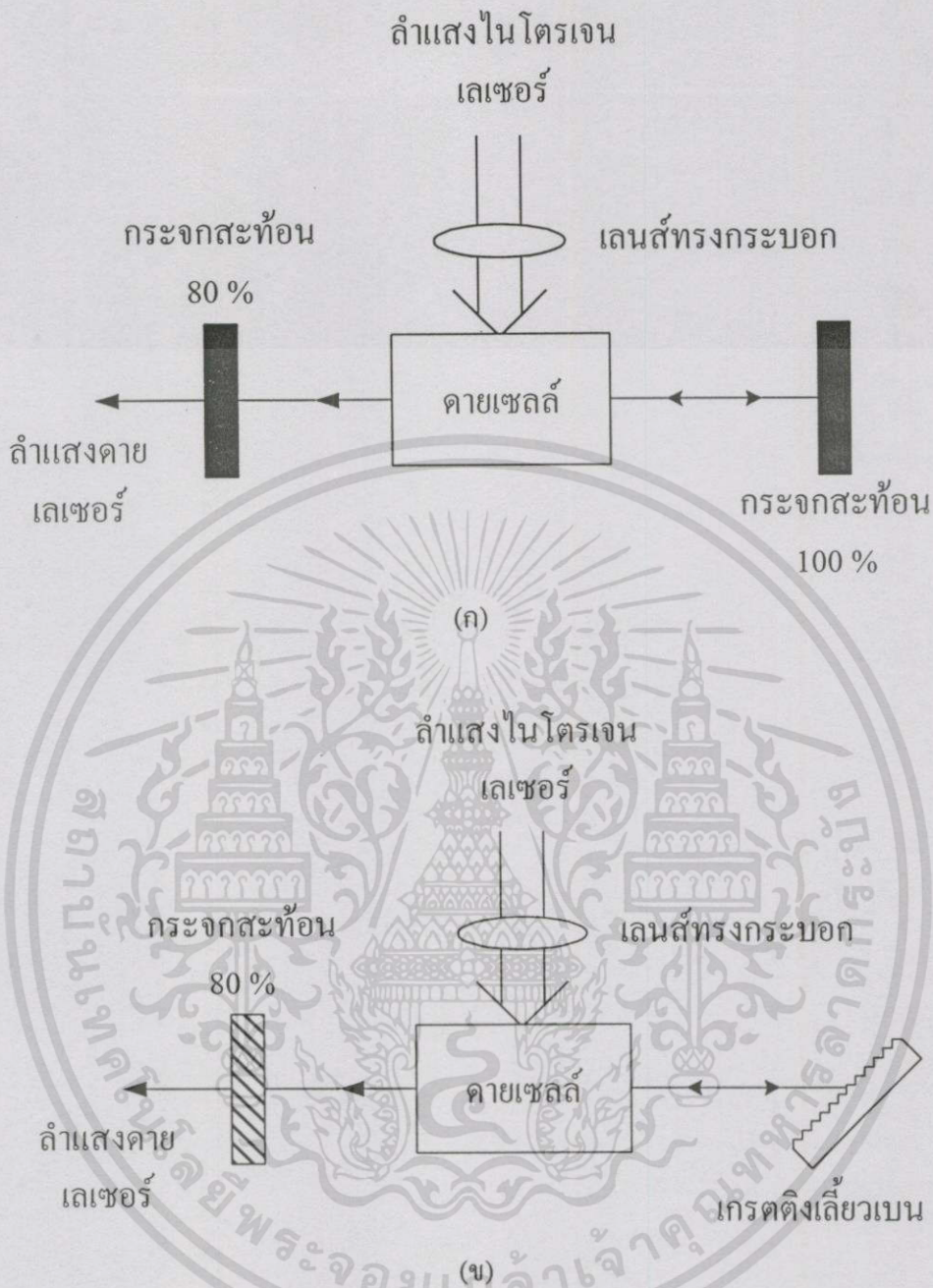
การถู้ออกของแสง(มุมเต็ม)ทางด้านขามมีค่าเท่ากับ  $\theta = \tan^{-1}(0.0090)$   
 $= 9.0$  มิลลิเรเดียน

ค่า  $R^2$  ที่แสดงในกราฟจะหมายถึง ค่า Correlation ซึ่งเป็นตัวแสดงว่ากราฟที่นำมาใช้แทนข้อมูลนั้นมีความน่าเชื่อถือมากน้อยเพียงใด คือค่ายิ่งเข้าใกล้ 1 มากเท่าใดกราฟก็จะแทนข้อมูลได้มากขึ้นเท่านั้น

## 4.2 การทดสอบการทำงานของไนโตรเจนเลเซอร์แบบกระตุ้นตามขวางที่ความดันบรรยากาศ เมื่อนำไปป้อนระบบคายเลเซอร์ และศึกษาสมบัติของคายเลเซอร์

### 4.2.1 ทดสอบการทำงานของไนโตรเจนเลเซอร์เมื่อนำไปป้อนระบบคายเลเซอร์

1. จัดชุดไนโตรเจนเลเซอร์โดยปรับระยะของสปาร์กแกปให้ห่างกัน 6.706 มิลลิเมตร โดยใช้ฟิลเลอร์ที่ใช้สำหรับวัดระยะห่างของเขี้ยวหัวเทียนรถยนต์
2. ปรับระยะห่างของขั้วไฟฟ้าตรงส่วนปลายของด้านที่ลำแสงเลเซอร์ออก (ด้านที่จะนำลำแสงไนโตรเจนเลเซอร์ไปกระตุ้นระบบคายเลเซอร์) มีค่าเท่ากับ 3.505 มิลลิเมตร ส่วนปลายอีกด้านปรับจนกระทั่งสังเกตเห็นลำแสงไนโตรเจนเลเซอร์ด้านที่จะนำไปกระตุ้นระบบคายเลเซอร์มีความเข้มมากที่สุด และเกิดลำแสงเลเซอร์สม่ำเสมอที่สุด
3. เปิดสวิตช์ที่ชุดจุดระเบิดหัวเทียนเพื่อควบคุมจังหวะของการเกิดแสงเลเซอร์
4. ป้อนแรงดันจากชุดจ่ายไฟฟ้ากระแสตรงแรงดันสูง 14.0 กิโลโวลต์ ปลดปล่อยแก๊สไนโตรเจนบริสุทธิ์ 99.99% เข้าไปยังช่องเลเซอร์ด้วยอัตราการไหล 0.5 ลิตร/นาที
5. วัดขนาดของลำแสงไนโตรเจนเลเซอร์ที่ตำแหน่งที่ลำแสงไนโตรเจนเลเซอร์ออกแล้วนำไปคำนวณหาตำแหน่งของการวางคายเซลล์ดังสมการที่ (3.8) และตำแหน่งของการวางเลนส์ทรงกระบอก (Cylindrical Lens)
6. วางคายเซลล์ที่บรรจุสารละลายโรดามิน 6 จี ความเข้มข้น  $1.0 \times 10^{-2}$  โมล/ลิตร ห่างจากชุดไนโตรเจนเลเซอร์ตามตำแหน่งที่คำนวณได้จากข้อ (5)
7. นำกระดาศขาวมาวางไว้ที่คายเซลล์สังเกตและบันทึกภาพลักษณะของแสงที่ปรากฏบนกระดาศขาว
8. นำกระดาศขาวออกจากคายเซลล์ สังเกตและบันทึกภาพลักษณะของแสงที่ปรากฏที่คายเซลล์ และแสงที่ปรากฏที่ฉาก
9. จัดระบบคายเลเซอร์ดังรูปที่ 4.11ก โดยวางกระจกราบที่มีสัมประสิทธิ์การสะท้อน 100% ไว้ที่ด้านหลัง(กระจกหลัง) และวางกระจกราบที่มีสัมประสิทธิ์การสะท้อน 80% ไว้ด้านหน้า(กระจกหน้า) สังเกตและบันทึกผล
10. ทำการทดลองดังข้อ 1-6 แต่จัดระบบคายเลเซอร์ดังรูปที่ 4.11ข โดยวางเกรตติงเลี้ยวเบนชนิด 1800 เส้น/มิลลิเมตรไว้ด้านหลัง (เป็นเหมือนกระจกหลัง) และวางกระจกราบที่มีสัมประสิทธิ์ 80% ไว้ด้านหน้า(กระจกหน้า) สังเกตและบันทึกผล



รูปที่ 4.11 การจัดวางระบบคายเลเซอร์

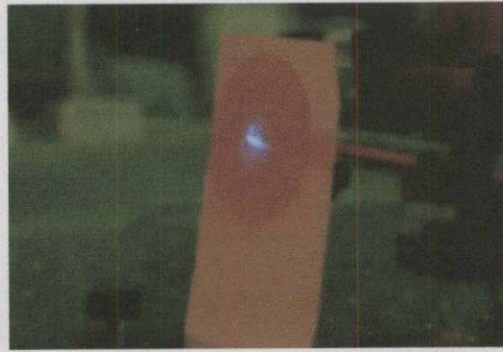
- (ก) วางกระจกราบที่มีสัมประสิทธิ์การสะท้อน 100% ไว้ด้านหลัง (กระจกหลัง) และวางกระจกราบที่มีสัมประสิทธิ์การสะท้อน 80% ไว้ด้านหน้า (กระจกหน้า)
- (ข) วางเกรตติงเลี้ยวเบนขนาด 1800 เส้น/มิลลิเมตร ไว้ด้านหลัง (เป็นเหมือนกระจกหลัง) และวางกระจกราบที่มีสัมประสิทธิ์การสะท้อน 80% ไว้ด้านหน้า (กระจกหน้า)

## ผลการทดลอง

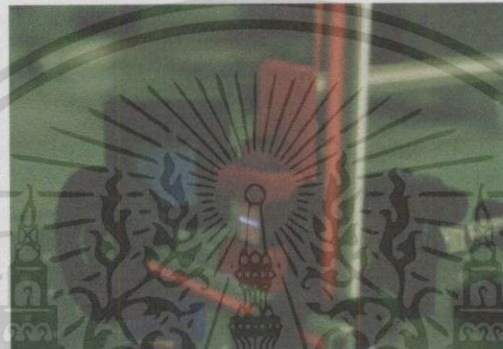
เมื่อจัดชุดในโตรเจนเลเซอร์ให้เกิดลำแสงเลเซอร์ วัดขนาดของลำแสงในโตรเจนเลเซอร์ที่ตำแหน่งที่แสงออกได้ค่า 7 มิลลิเมตร นำไปคำนวณหาตำแหน่งของการวางคายเซลล์ดังสมการที่ (3.8) จะได้ตำแหน่งของการวางคายเซลล์เท่ากับ 33.33 เซนติเมตร จึงจัดวางคายเซลล์ห่างจากชุดในโตรเจนเลเซอร์ 33.5 เซนติเมตร และวางเลนส์ทรงกระบอกซึ่งมีระยะโฟกัส 5 เซนติเมตร ห่างจากชุดในโตรเจนเลเซอร์ 28.5 เซนติเมตร สังเกตแสงก่อนที่จะผ่านเลนส์ทรงกระบอกมีลักษณะเป็นรูปสี่เหลี่ยมผืนผ้าดังแสดงในรูปที่ 4.12ก เมื่อส่งผ่านลำแสงในโตรเจนผ่านเลนส์ทรงกระบอกภาพที่ปรากฏเมื่อนำกระดาษขาวไปวางไว้ที่คายเซลล์จะแสดงดังรูปที่ 4.12ข ซึ่งสังเกตเห็นว่าลักษณะของลำแสงในโตรเจนเลเซอร์ในแนวตั้งเท่านั้นที่จะถูกโฟกัส ส่วนแสงในแนวนอนจะมีขนาดเท่าเดิม เมื่อนำกระดาษขาวออกจากคายเซลล์จะปรากฏภาพของลำแสงในโตรเจนที่ตกกระทบบนคายเซลล์ดังแสดงในรูปที่ 4.12ค ซึ่งจะสังเกตเห็นลักษณะของลำแสงที่ตกกระทบบนคายเซลล์มีลักษณะเป็นเส้นตรงที่อยู่ในแนวนอนพาดอยู่ที่คายเซลล์เช่นเดียวกับที่ปรากฏบนกระดาษขาว แต่จะเห็นเป็นสี่เหลี่ยม

เมื่อจัดระบบคายเลเซอร์ดังรูปที่ 4.11ก โดยวางกระจกราบที่มีสัมประสิทธิ์การสะท้อน 100% ไว้ด้านหลัง(กระจกหลัง) และวางกระจกราบที่มีสัมประสิทธิ์การสะท้อน 80% ไว้ด้านหน้า(กระจกหน้า) และนำฉากไปวางตั้งฉากกับลำแสงจากระบบคายเลเซอร์จะปรากฏจุดแสงสี่เหลี่ยมขึ้น ซึ่งการจัดระบบคายเลเซอร์และลักษณะการเกิดลำแสงจากระบบคายเลเซอร์แสดงดังรูปที่ 4.13

เมื่อจัดระบบคายเลเซอร์ดังรูปที่ 4.11ข โดยวางเกรตติงขนาด 1800 เส้น/มิลลิเมตร ไว้ด้านหลัง (เป็นเหมือนกระจกหลัง) และวางกระจกราบที่มีสัมประสิทธิ์การสะท้อน 80% ไว้ด้านหน้า(กระจกหน้า) และนำฉากไปวางตั้งฉากกับลำแสงจากระบบคายเลเซอร์จะปรากฏจุดแสงสี่เหลี่ยมขึ้น ซึ่งระบบการจัดระบบคายเลเซอร์และลักษณะการเกิดลำแสงจากระบบคายเลเซอร์แสดงดังรูปที่ 4.14



(ก)



(ข)



(ค)

**รูปที่ 4.12** ลักษณะของลำแสงในโตรเจนเลเซอร์

- (ก) แสงที่ปรากฏก่อนที่ลำแสงจะผ่านเลนส์ทรงกระบอก
- (ข) แสงที่ปรากฏบนกระดาษขาวหลังจากที่ลำแสงผ่านเลนส์ทรงกระบอก
- (ค) แสงที่ปรากฏบนกระดาษเซลล์หลังจากที่ลำแสงผ่านเลนส์ทรงกระบอก

เอกสารนี้เป็นเอกสารที่สงวนไว้สำหรับการใช้งานเพื่อการศึกษาเท่านั้น ไม่อนุญาตให้นำไปใช้ประโยชน์ด้านการค้า ไม่ว่ากรณีใดๆทั้งสิ้น อีกทั้งห้ามมิให้ดัดแปลงเนื้อหา และต้องอ้างอิงถึงเจ้าของเอกสารทุกครั้งที่มีการนำไปใช้



**รูปที่ 4.13** การจัดระบบคายเลเซอร์และลำแสงที่ออกมาจากระบบคายเลเซอร์ เมื่อวางกระจกราบที่มีสัมประสิทธิ์การสะท้อน 100% ไว้ด้านหลัง และวางกระจกราบที่มีสัมประสิทธิ์การสะท้อน 80% ไว้ด้านหน้า



(ก)



(ข)

**รูปที่ 4.14** การจัดระบบคายเลเซอร์และลำแสงที่ออกมาจากระบบคายเลเซอร์ เมื่อวางเกรตติงไว้ด้านหลัง และวางกระจกราบที่มีสัมประสิทธิ์การสะท้อน 80% ไว้ด้านหน้า  
 (ก) ภาพถ่ายด้านข้าง  
 (ข) ภาพถ่ายด้านบน

เอกสารนี้เป็นเอกสารที่สงวนไว้สำหรับการใช้งานเพื่อการศึกษาเท่านั้น ไม่อนุญาตให้นำไปใช้ประโยชน์ด้านการค้า ไม่ว่าจะกรณีใดๆทั้งสิ้น อีกทั้งห้ามมิให้ดัดแปลงเนื้อหา และต้องอ้างอิงถึงเจ้าของเอกสารทุกครั้งที่มีการนำไปใช้

#### 4.2.2 หาคความเข้มข้นของสารละลายโรดามิน 6 จี ที่เหมาะสมที่ทำให้เกิดแสงจากระบบคายเลเซอร์

1. จัดชุดไนโตรเจนเลเซอร์โดยปรับระยะของสปาร์กแกปให้ห่างกัน 6.706 มิลลิเมตรโดยใช้ฟิลเตอร์ที่ใช้สำหรับวัดระยะห่างของเขี้ยวหัวเทียนรถยนต์
2. ปรับระยะห่างของขั้วไฟฟ้าตรงส่วนปลายของด้านที่ลำแสงเลเซอร์ออก (ด้านที่จะนำลำแสงไนโตรเจนเลเซอร์ไปกระตุ้นระบบคายเลเซอร์) มีค่าเท่ากับ 3.505 มิลลิเมตร ส่วนปลายอีกด้านปรับจนกระทั่งสังเกตเห็นลำแสงไนโตรเจนเลเซอร์ด้านที่จะนำไปกระตุ้นระบบคายเลเซอร์มีความเข้มมากที่สุด และเกิดลำแสงเลเซอร์สม่ำเสมอที่สุด
3. เปิดสวิทช์ที่ชุดจุดระเบิดหัวเทียนเพื่อควบคุมจังหวะของการเกิดแสงเลเซอร์
4. ป้อนแรงดันจากชุดจ่ายไฟฟ้ากระแสตรงแรงดันสูง 14.0 กิโลโวลต์ และปล่อยแก๊สไนโตรเจนบริสุทธิ์ 99.99% เข้าไปยังช่องเลเซอร์ด้วยอัตราการไหลของแก๊ส 0.5 ลิตร/นาที
5. วางคายเซลล์ที่บรรจุสารละลายโรดามิน 6 จี ความเข้มข้น  $7.0 \times 10^{-2}$  โมล/ลิตร ห่างจากชุดไนโตรเจนเลเซอร์ 33.5 เซนติเมตร และวางเลนส์ทรงกระบอกห่างจากชุดไนโตรเจนเลเซอร์ 28.5 เซนติเมตร (ค่าที่คำนวณได้จากการทดลอง 4.2.1) สังเกตและบันทึกภาพด้านข้างของคายเซลล์ที่เกิดขึ้นในขณะที่นำไนโตรเจนเลเซอร์ไปปั๊มระบบคายเลเซอร์
6. ทำการทดลองเช่นเดิมแต่เปลี่ยนสารละลายโรดามิน 6 จี ค่าความเข้มข้นต่าง ๆ สังเกตความถี่ของแสงไนโตรเจนเลเซอร์ที่เข้าไปภายในสารละลายโรดามิน 6 จี และสังเกตลักษณะของแสงที่ปรากฏเมื่อนำกระดาษขาวไปวางเป็นฉากไว้ที่ด้านข้างของคายเซลล์
7. บันทึกค่าความเข้มข้นที่เหมาะสมที่สุดที่ทำให้เกิดแสง และบันทึกสิ่งที่สังเกตเห็น
8. สรุปและวิเคราะห์ผล

## ผลการทดลอง

เมื่อจัดชุดไนโตรเจนเลเซอร์ให้ทำงาน แสงจากชุดไนโตรเจนเลเซอร์จะส่งผ่านไปยังเลนส์ทรงกระบอกและตกลงที่คายเซลล์ ลำแสงไนโตรเจนเลเซอร์จะบีบสารละลายโรดามิน 6 จี ที่บรรจุอยู่ในคายเซลล์ สังเกตเห็นได้ว่าเมื่อบรรจุสารละลายโรดามิน 6 จี ที่มีค่าความเข้มข้นมากกว่า  $7 \times 10^{-2}$  โมล/ลิตร ลงในคายเซลล์ ลำแสงไนโตรเจนเลเซอร์ที่ไปกระตุ้นสารละลายคายนั่นจะไม่สามารถเข้าไปภายในสารละลายคายได้เลย

เมื่อสารละลายคายมีความเข้มข้น  $7 \times 10^{-2}$  โมล/ลิตร ลำแสงไนโตรเจนเลเซอร์จะเข้าไปในสารละลายคายได้เพียงบริเวณผิวหน้าเท่านั้น ดังแสดงในรูปที่ 4.15ก และเมื่อนำกระดาษขาวเป็นฉากไปวางไว้ในด้านข้างในทิศทางการเกิดแสงจากคายเลเซอร์พบว่าไม่มีแสงปรากฏที่ฉาก ดังแสดงในรูปที่ 4.15ข

เมื่อสารละลายคายมีความเข้มข้น  $2 \times 10^{-2}$  โมล/ลิตร ลำแสงจากไนโตรเจนเลเซอร์สามารถเข้าไปยังสารละลายคายได้ประมาณ 1 ใน 5 ของคายเซลล์ (ประมาณ 0.8 มิลลิเมตร) และสังเกตเห็นจุดแสงขนาดเล็กที่มีความเข้มแสงน้อยมาก ดังแสดงในรูปที่ 4.16ก และ 4.16ข ตามลำดับ

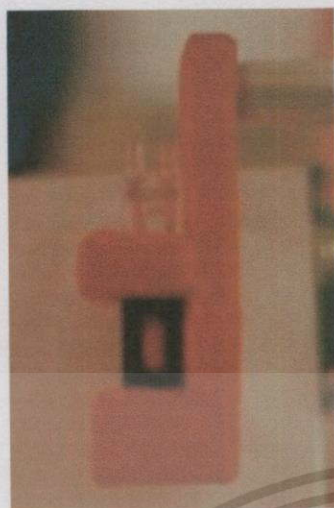
เมื่อสารละลายคายมีความเข้มข้น  $1 \times 10^{-2}$  โมล/ลิตร ลำแสงจากไนโตรเจนเลเซอร์สามารถเข้าไปภายในสารละลายคายได้ประมาณ 1 ใน 4 ของคายเซลล์ (ประมาณ 1 มิลลิเมตรจากขอบ) และสังเกตเห็นการวาวแสงและที่ฉากด้านหลังจะปรากฏเป็นจุดสีเหลืองขึ้น แสดงดังรูปที่ 4.17ก และ 4.17ข ตามลำดับ

เมื่อสารละลายคายมีความเข้มข้น  $9 \times 10^{-3}$  และ  $8 \times 10^{-3}$  โมล/ลิตร ลำแสงจากไนโตรเจนเลเซอร์จะเข้าไปภายในสารละลายคายได้มากขึ้นตามลำดับ จนเข้าไปได้ลึกประมาณ 1 ใน 3 ของคายเซลล์ และยังสามารถสังเกตเห็นจุดแสงจากคายเลเซอร์บนฉากขาวที่นำมาวางไว้ด้านข้างได้ แต่มีความเข้มแสงน้อยลงตามความเข้มข้นของสารละลายคายที่ลดลงดังแสดงในรูปที่ 4.18 และ 4.19 ตามลำดับ

เมื่อสารละลายคายมีความเข้มข้น  $6 \times 10^{-3}$  โมล/ลิตร ลำแสงจากไนโตรเจนเลเซอร์จะเข้าไปภายในสารละลายคายได้ประมาณ 1 ใน 2 ของคายเซลล์ ที่ความเข้มข้นนี้ไม่สามารถสังเกตเห็นจุดแสงจากคายเลเซอร์บนฉากขาวได้ดังแสดงในรูปที่ 4.20ก และ 4.20ข ตามลำดับ

เมื่อสารละลายคายมีความเข้มข้น  $3 \times 10^{-3}$  โมล/ลิตร ลำแสงจากไนโตรเจนเลเซอร์จะถูกดูดกลืนโดยสารคายน้อย จึงสังเกตเห็นว่าลำแสงจากไนโตรเจนเลเซอร์ทะลุผ่านสารละลายคายไปถึงด้านหลังของคายเซลล์ได้ เมื่อสังเกตที่ฉากก็ไม่พบเป็นจุดแสงจากคายเลเซอร์แต่จะพบเป็นลักษณะของแสงสว่างดังแสดงในรูปที่ 4.21ก และ 4.21ข ตามลำดับ

เอกสารนี้เป็นเอกสารที่สงวนไว้สำหรับการใช้งานเพื่อการศึกษาเท่านั้น เมื่อนุญาตให้นำไปใช้ประโยชน์ด้านการค้า ไม่ว่าจะกรณีใดๆทั้งสิ้น อีกทั้งห้ามมิให้ดัดแปลงเนื้อหา และต้องอ้างอิงถึงเจ้าของเอกสารทุกครั้งที่มีการนำไปใช้



(ก)



(ข)

**รูปที่ 4.15** คายเซลล์ที่บรรจุสารละลายโรดามิน 6 จี ความเข้มข้น  $7 \times 10^{-2}$  โมล/ลิตร

(ก) ลำแสงไนโตรเจนเลเซอร์เข้าไปเพียงบริเวณผิวของสารละลายคายเท่านั้น

(ข) ไม่เกิดแสงสว่างจากคายเลเซอร์บนฉาก



(ก)



(ข)

**รูปที่ 4.16** คายเซลล์บรรจุสารละลายโรดามิน 6 จี ความเข้มข้น  $2 \times 10^{-2}$  โมล/ลิตร

(ก) ลำแสงไนโตรเจนเลเซอร์เข้าไปในสารละลายคายได้มากขึ้น

(ข) เริ่มสังเกตเห็นแสงจากคายเลเซอร์บนฉาก

เอกสารนี้เป็นเอกสารที่สงวนไว้สำหรับการใช้งานเพื่อการศึกษาเท่านั้น ไม่อนุญาตให้นำไปใช้ประโยชน์ด้านการค้า  
ไม่ว่ากรณีใดๆทั้งสิ้น อีกทั้งห้ามมิให้ดัดแปลงเนื้อหา และต้องอ้างอิงถึงเจ้าของเอกสารทุกครั้งที่มีการนำไปใช้



(ก)



(ข)

รูปที่ 4.17 คายเซลล์บรรจุสารละลายโรดามิน 6 จี ความเข้มข้น  $1 \times 10^{-2}$  โมล/ลิตร

(ก) ลำแสงไนโตรเจนเลเซอร์เข้าไปในสารละลายคายได้มากกว่ารูป 4.16ก (ประมาณ 1 มิลลิเมตร)

(ข) สังเกตเห็นแสงจากคายนเลเซอร์ชัดเจน



(ก)



(ข)

รูปที่ 4.18 คายเซลล์บรรจุสารละลายโรดามิน 6 จี ความเข้มข้น  $9 \times 10^{-3}$  โมล/ลิตร

(ก) ลำแสงไนโตรเจนเลเซอร์เข้าไปในสารละลายคายได้มากกว่ารูปที่ 4.17ก

(ข) สังเกตแสงที่ปรากฏบนกระดาษขาว

เอกสารนี้เป็นเอกสารที่สงวนไว้สำหรับการใช้งานเพื่อการศึกษาเท่านั้น ไม่อนุญาตให้นำไปใช้ประโยชน์ด้านการค้า ไม่ว่าจะกรณีใดๆทั้งสิ้น อีกทั้งห้ามมิให้ดัดแปลงเนื้อหา และต้องอ้างอิงถึงเจ้าของเอกสารทุกครั้งที่มีการนำไปใช้



(ก)

(ข)

รูปที่ 4.19 คายเซลล์บรรจุสารละลายโรดามิน 6 จี ความเข้มข้น  $8 \times 10^{-3}$  โมล/ลิตร

(ก) ลำแสงไนโตรเจนเลเซอร์เข้าไปในสารละลายคายประมาณ 1 ใน 3

(ข) แสงจากคายเลเซอร์มีความเข้มน้อยลงมา



(ก)

(ข)

รูปที่ 4.20 คายเซลล์ที่บรรจุสารละลายโรดามิน 6 จี ความเข้มข้น  $6 \times 10^{-3}$  โมล/ลิตร

(ก) ลำแสงไนโตรเจนเลเซอร์เข้าไปในสารละลายคายประมาณ 1 ใน 2

(ข) ไม่เกิดจุดแสงจากคายเลเซอร์มีความสว่างบนฉากจากการวางแสง

เอกสารนี้เป็นเอกสารที่สงวนไว้สำหรับการใช้งานเพื่อการศึกษาเท่านั้น ไม่อนุญาตให้นำไปใช้ประโยชน์ด้านการค้า  
ไม่ว่ากรณีใดๆทั้งสิ้น อีกทั้งห้ามมิให้ดัดแปลงเนื้อหา และต้องอ้างอิงถึงเจ้าของเอกสารทุกครั้งที่มีการนำไปใช้



(ก)



(ข)

รูปที่ 4.21 คายเซตลับบรรจุสารละลายโรดามิน 6 จี ความเข้มข้น  $3 \times 10^{-3}$  โมล/ลิตร

(ก) ลำแสงในโตรเจนเลเซอร์ทะลุสารละลายคายจนถึงด้านหลังของคายเซตล์

(ข) ไม่เกิดจุดแสงจากคายเลเซอร์มีเพียงความสว่างบนฉากจากการวาวแสง

#### 4.2.3 การลู่ออกของแสงจากระบบคายเลเซอร์เมื่อกระตุ้นด้วยลำแสงในโตรเจนเลเซอร์

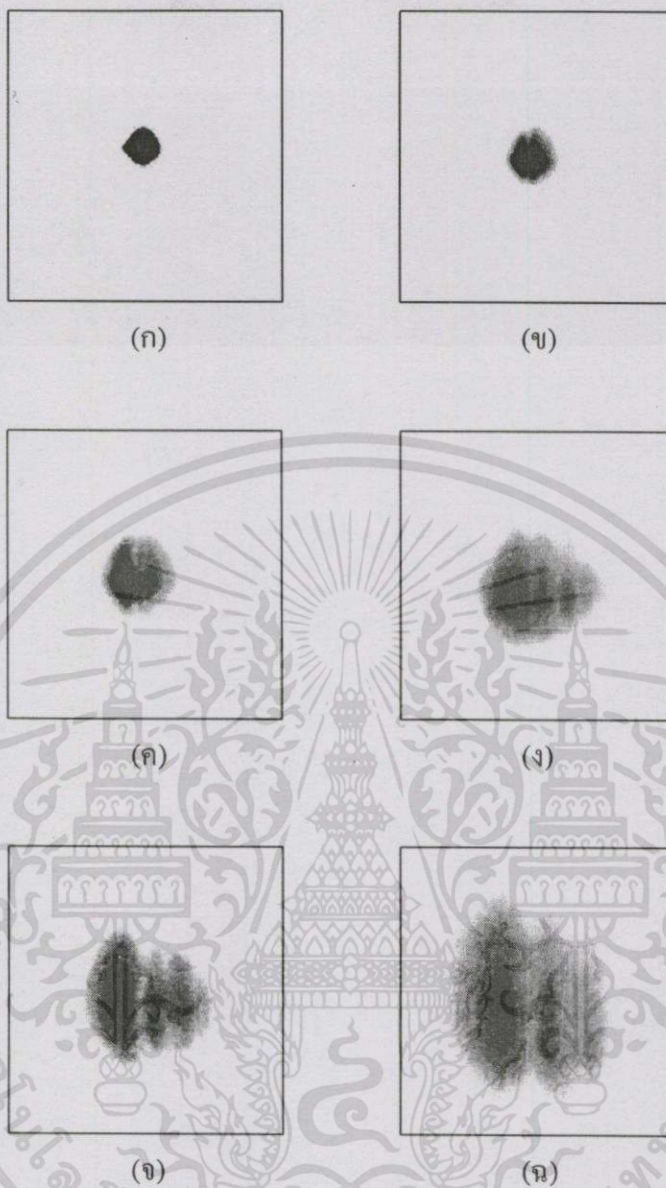
1. จัดชุดในโตรเจนเลเซอร์โดยปรับระยะของสปาร์กแกปให้ห่างกัน 6.706 มิลลิเมตร โดยใช้ฟิลเตอร์ที่ใช้สำหรับวัฏระยะห่างของเขียวหัวเทียนรถยนต์
2. ปรับระยะห่างของขั้วไฟฟ้าตรงส่วนปลายของด้านที่ลำแสงเลเซอร์ออก (ด้านที่จะนำลำแสงในโตรเจนเลเซอร์ไปกระตุ้นระบบคายเลเซอร์) มีค่าเท่ากับ 3.505 มิลลิเมตร ส่วนปลายอีกด้านปรับจนกระทั่งสังเกตเห็นลำแสงในโตรเจนเลเซอร์ด้านที่จะนำไปกระตุ้นระบบคายเลเซอร์มีความเข้มมากที่สุด และเกิดลำแสงเลเซอร์สม่ำเสมอที่สุด
3. เปิดสวิตซ์ที่ชุดจุดระเบิดหัวเทียน เพื่อให้ชุดจุดระเบิดหัวเทียนเป็นตัวควบคุมจังหวะของการเกิดเลเซอร์
4. ป้อนแรงดันจากชุดจ่ายไฟฟ้ากระแสตรงแรงดันสูง 14.0 กิโลโวลต์ และปล่อยแก๊สในโตรเจนเลเซอร์บริสุทธิ์ 99.99% เข้าไปยังช่องเลเซอร์ด้วยอัตราการไหลของแก๊ส 0.5 ลิตร/นาที
5. จัดระบบคายเลเซอร์ดังแสดงในรูปที่ 4.11ก โดยวางคายเซลล์ที่บรรจุสารละลายโรดามิน 6 จี ที่มีความเข้มข้น  $1 \times 10^{-2}$  โมล/ลิตร ห่างจากชุดในโตรเจนเลเซอร์ประมาณ 33.5 เซนติเมตร และวางเลนส์ทรงกระบอกห่างจากชุดในโตรเจนเลเซอร์ 28.5 เซนติเมตร
6. นำฉากไปวางห่างจากช่องที่แสงจากระบบคายเลเซอร์ออกมาเป็นระยะทาง 20 เซนติเมตร ทำการบันทึกภาพโดยใช้กล้องถ่ายรูป Pentax รุ่น SuperA ใช้เลนส์ขนาด 50 มิลลิเมตร เปิดหน้ากล้องไว้ที่ 1.7 และตั้งชัตเตอร์ไว้ที่ B ทำการบันทึกภาพแสงเลเซอร์ 5 ภาพ
7. เลื่อนฉากออกมาที่ระยะ 50 ,100, 150, 200 และ 250 เซนติเมตรตามลำดับ ทำการบันทึกภาพเช่นเดิม
8. นำภาพที่ได้มาทำการวิเคราะห์และหาค่าเฉลี่ยขนาดของลำแสง
9. นำค่าที่ได้ไปเขียนกราฟแสดงความสัมพันธ์ระหว่างระยะห่างของฉากและขนาดของลำแสง
10. คำนวณหาค่าการลู่ออกของลำแสงจากสมการที่ (4.8)
11. สรุปและวิเคราะห์ผล

## ผลการทดลอง

เมื่อจัดชุดกำเนิดแสงใน โตรเจนเลเซอร์โดยปรับระยะห่างของขั้วไฟฟ้าเท่ากับ 3.505 มิลลิเมตร ตั้งระยะของสปาร์แกปให้ห่างกัน 6.706 มิลลิเมตร เปิดสวิตซ์ที่ชุดจุดระเบิดหัวเทียนให้ชุดจุดระเบิดหัวเทียนควบคุมจังหวะของการเกิดแสงเลเซอร์ ปล่อยแก๊สในโตรเจนที่มีความบริสุทธิ์ 99.99 % เข้าไปยังช่องเลเซอร์ที่อัตราการใช้ของแก๊ส 0.5 ลิตร/นาที่ และป้อนแรงดันจากชุดจ่ายไฟฟ้ากระแสตรงแรงดันสูง 14.0 กิโลโวลต์ ส่งผ่านลำแสงในโตรเจนเลเซอร์ไปยังระบบคาย โดยวางคายเซลล์ห่างจากชุดในโตรเจนเลเซอร์ 33.5 เซนติเมตร และภายในคายเซลล์บรรจุสารละลายโรดามิน 6 จี ที่มีความเข้มข้น  $1 \times 10^{-2}$  โมล/ลิตร นำฉากไปวางห่างจากช่องที่แสงเลเซอร์ออกมาเป็นระยะทาง 20 , 50 , 100, 150, 200 และ 250 เซนติเมตร ตามลำดับ ทำการบันทึกภาพ ลักษณะของภาพที่ได้แสดงดังรูปที่ 4.22 ซึ่งเมื่อระยะห่างของฉากมากขึ้นลักษณะของลำแสงก็จะยิ่งมีขนาดที่ใหญ่ขึ้น ทำการบันทึกภาพที่ระยะฉากต่าง ๆ กัน ระยะละ 5 ภาพ วัดขนาดของลำแสงแล้วนำไปหาค่าเฉลี่ยซึ่งผลที่ได้จะแสดงดังตาราง 4.5 และเมื่อนำค่าที่ได้ไปเขียนกราฟความสัมพันธ์ระหว่างระยะห่างของฉากกับขนาดของลำแสงในโตรเจนเลเซอร์จะแสดงดังรูปที่ 4.23

ตารางที่ 4.5 ค่าเฉลี่ยขนาดของลำแสงจากระบบคายเลเซอร์ที่ระยะห่างของฉากค่าต่าง ๆ

ระยะห่างของฉาก(ซม.)	ค่าเฉลี่ยขนาดของลำแสง(ซม.)
20	0.80
30	0.90
50	1.16
100	1.80
150	2.08
200	3.05
250	3.76



รูปที่ 4.22 ลักษณะของลำแสงจากระบบคายเลเซอร์ เมื่อวางฉากที่ตำแหน่งต่าง ๆ (ภาพขาวดำ ขนาดไม่เท่าจริง)

(ก) วางฉากห่าง 20 เซนติเมตร

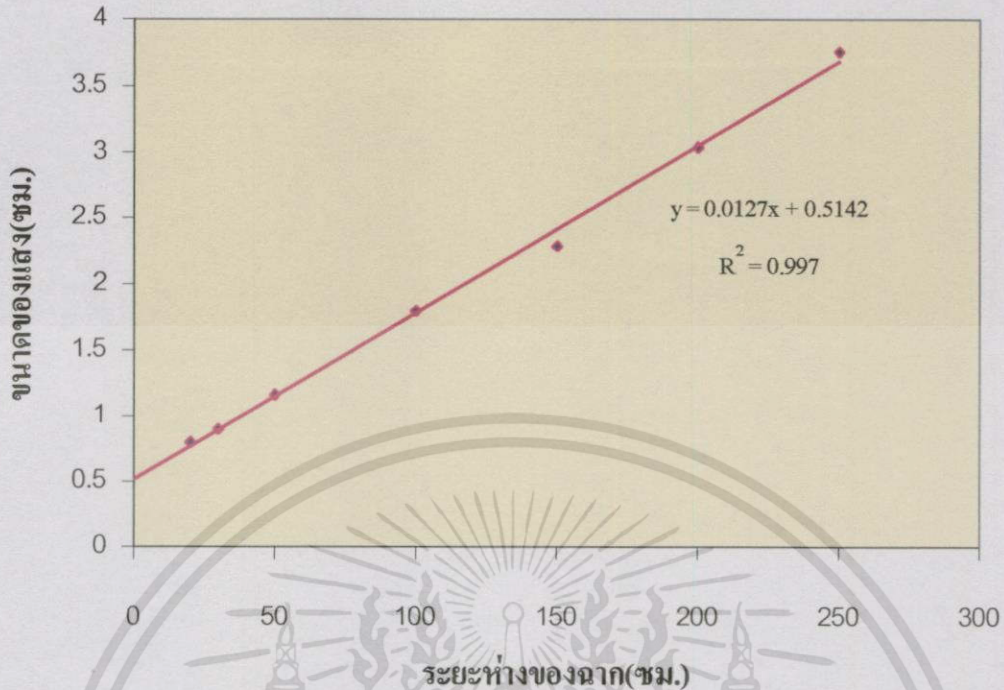
(ข) วางฉากห่าง 50 เซนติเมตร

(ค) วางฉากห่าง 100 เซนติเมตร

(ง) วางฉากห่าง 150 เซนติเมตร

(จ) วางฉากห่าง 200 เซนติเมตร

(ฉ) วางฉากห่าง 250 เซนติเมตร



**รูปที่ 4.23** กราฟความสัมพันธ์ระหว่างระยะห่างของฉากกับขนาดของลำแสงจากระบบฉายเลเซอร์เมื่อสารละลายโรดามิน 6 จี ที่บรรจุลงในคานยเซลล์มีความเข้มข้น  $1 \times 10^{-2}$  โมล/ลิตร และมีระบบฉายเลเซอร์ด้วยชุดไนโตรเจนเลเซอร์ที่มีระยะห่างระหว่างสปาร์เกปเท่ากับ 6.706 มิลลิเมตร ระยะห่างขั้วไฟฟ้าเท่ากับ 3.505 มิลลิเมตร แรงดันไฟฟ้ากระแสตรง 14 กิโลโวลต์ และอัตราการไหลของแก๊ส 0.5 ลิตร/นาที

จากรูปที่ 4.23 สามารถหาการถู้ออกของลำแสงได้ โดยคำนวณจากสมการที่ (4.8) โดยพิจารณาจากความชันของกราฟ(ค่า  $m$ ) พบว่า  
สมการเส้นตรงของขนาดแสงทางด้านกว้างมีค่า  $m = 0.0127$

ดังนั้น การถู้ออกของแสง (มุมเต็ม)มีค่าเท่ากับ  $\theta = \tan^{-1}(0.0127)$   
 $= 12.7$  มิลลิเรเดียน

## บทที่ 5

### สรุปและข้อเสนอแนะ

ในบทนี้จะสรุปผลการทดลองในการทดสอบการทำงานของไนโตรเจนเลเซอร์แบบกระตุ้นตามขวางที่ความดันบรรยากาศที่ควบคุมจังหวะการเกิดแสงเลเซอร์จากชุดจุกระเบิดหัวเทียน สมบัติของลำแสงไนโตรเจนเลเซอร์ที่ได้ทำการทดลองจากบทที่ 4 ผลการทดสอบการทำงานของไนโตรเจนเลเซอร์แบบกระตุ้นตามขวางที่ความดันบรรยากาศเมื่อนำไปป้อนระบบคายเลเซอร์ สมบัติของลำแสงจากระบบคายเลเซอร์ รวมทั้งปัญหาต่าง ๆ ที่พบขณะทำงานวิจัยและข้อเสนอแนะที่ควรจะมีการปรับปรุงและแก้ไข

#### 5.1 สรุปผลการวิจัย

1. การวิจัยนี้สามารถสร้างไนโตรเจนเลเซอร์แบบกระตุ้นตามขวางที่ความดันบรรยากาศได้สำเร็จและสามารถควบคุมจังหวะของการเกิดแสงเลเซอร์ได้ด้วยวงจรชุดจุกระเบิดหัวเทียนที่สร้างขึ้น โดยใช้ทรินสเตอร์เป็นสวิสต์ควบคุม และใช้ไอซี LM 555 เป็นตัวกำเนิดสัญญาณ ซึ่งสามารถปรับความถี่ได้ในช่วง 0.5 – 10 เฮิร์ต จากการทดลองพบว่าลำแสงจากไนโตรเจนเลเซอร์จะมีความเข้มมากที่สุด เมื่อมีอัตราการไหลของแก๊ส 0.5 ลิตร/นาที แรงดันไฟฟ้ากระแสตรงที่ป้อนให้ชุดไนโตรเจนเลเซอร์มีค่า 14 กิโลโวลต์ ที่ระยะห่างของสปาร์กแก๊ปเท่ากับ 6.706 มิลลิเมตรและระยะห่างของขั้วไฟฟ้าเท่ากับ 2.286 มิลลิเมตร

2. เมื่อศึกษาสมบัติของไนโตรเจนเลเซอร์แบบกระตุ้นตามขวางที่ความดันบรรยากาศ มีความกว้างของพัลส์  $3.40 \pm 0.19$  นาโนวินาที ซึ่งมีค่าใกล้เคียงกับค่าที่พบในรายงานการวิจัย ที่มีค่าระหว่าง 1-10 นาโนวินาที[13,14,15] วัดความยาวคลื่นแสงโดยใช้เกรตติงเลี้ยวเบนได้ค่า  $337 \pm 0.22$  นาโนเมตร ซึ่งค่าที่วัดได้มีค่าใกล้เคียงกับทฤษฎีซึ่งมีความยาวคลื่น 337.1 นาโนเมตร และวัดการลู่ออกของลำแสงไนโตรเจนเลเซอร์(มุมเต็ม)ได้  $4.7 \times 9.0$  มิลลิเรเดียน ซึ่งใกล้เคียงกับค่าที่พบในรายงานการวิจัย ที่มีค่า  $4.2 \times 13.6$  มิลลิเรเดียน[14] ซึ่งจะเห็นได้ว่าลำแสงไนโตรเจนเลเซอร์จะมีการลู่ออกของแสงที่มาก เนื่องจากลำแสงไนโตรเจนเลเซอร์เกิดจากขบวนการ Amplified Spontaneous Emission ซึ่งสามารถเกิดขึ้นได้โดยไม่ต้องมีตัวส่งพ้องเชิงทัศนศาสตร์ จึงลู่ออกได้มาก

3. จากการศึกษาพบว่าภาคตัดขวางลำแสงจากไนโตรเจนเลเซอร์ที่สร้างขึ้นมีลักษณะไม่เป็นสี่เหลี่ยมผืนผ้าอย่างที่คาดหวัง แต่จะมีลักษณะออกทางรี ๆ มีการกระจายความเข้มแสงในลำแสงดังแสดงในรูปที่ 4.5 จากรูปพบว่าความเข้มสูงสุดของลำแสงไม่ได้อยู่ที่กึ่งกลางของลำแสงแต่อยู่เอียงไปทางด้านข้างเล็กน้อย

เอกสารนี้เป็นเอกสารที่สงวนไว้สำหรับการใช้งานเพื่อการศึกษาเท่านั้น ไม่อนุญาตให้นำไปใช้ประโยชน์ด้านการค้าไม่ว่ากรณีใดๆทั้งสิ้น อีกทั้งห้ามมิให้ดัดแปลงเนื้อหา และต้องอ้างอิงถึงเจ้าของเอกสารทุกครั้งที่มีการนำไปใช้

4. จากผลการทดลองพบว่าความเข้มของแสงเลเซอร์จะแปรผันตรงกับค่าแรงดันไฟฟ้ากระแสตรงที่ป้อนให้กับชุดไนโตรเจนเลเซอร์ (ผลการทดลองในรูปที่ 4.6) เนื่องจากเมื่อป้อนแรงดันไฟฟ้ากระแสตรงให้กับระบบมากขึ้น จะทำให้พลังงานสะสมในตัวเก็บประจุมากขึ้น  $\left(E = \frac{1}{2} CV^2\right)$  นอกจากนี้ยังมีประจุหรือจำนวนอิเล็กตรอนสะสมอยู่เป็นจำนวนมาก เมื่อมีการกระตุ้นให้เกิดการคายประจุผ่านช่องเลเซอร์(Laser Channel) จะมีอิเล็กตรอนที่ถูกปลดปล่อยออกมาเพื่อไปกระตุ้น โมเลกุลของแก๊สไนโตรเจนจำนวนมากเป็นผลให้มีการเกิดประชากรผกผันจำนวนมากด้วย ดังนั้นลำแสงเลเซอร์ที่เกิดจึงมีความเข้มสูงกว่าเมื่อเทียบกับกรณีที่ป้อนแรงดันไฟฟ้าต่ำ

5. จากการศึกษาผลของอัตราการไหลของแก๊สไนโตรเจนต่อความเข้มแสง พบว่าอัตราการไหลของแก๊สที่ทำให้เกิดแสงที่มีความเข้มสูงสุดคือ 0.5 ลิตร/นาที อัตราการไหลที่ต่ำหรือสูงกว่านี้จะทำให้ความเข้มแสงลดลง ทั้งนี้เนื่องจากเมื่ออัตราการไหลของแก๊สมีค่าน้อย เช่น 0.25 ลิตร/นาที ความหนาแน่นของโมเลกุลของแก๊สไนโตรเจนจะมีค่าน้อย เมื่อมีการป้อนแรงดันไฟฟ้ากระแสตรงค่าเท่ากัน จะมีจำนวนโมเลกุลของแก๊สที่ถูกกระตุ้นโดยอิเล็กตรอนน้อยกว่าเมื่อเทียบกับกรณีที่มีอัตราการไหลของแก๊สสูง แสงที่เกิดจึงมีความเข้มแสงน้อยกว่า ในกรณีที่มีการเพิ่มอัตราการไหลจนสูงกว่าค่าที่เหมาะสม ความหนาแน่นของโมเลกุลแก๊สจะมากขึ้นเป็นผลให้ค่า mean free path ของอิเล็กตรอนมีค่าน้อยลง หมายความว่าอิเล็กตรอนจะชน โมเลกุลแก๊สเมื่อเคลื่อนที่ได้ระยะที่สั้น การชนของอิเล็กตรอนที่สามารถกระตุ้น โมเลกุล ไปยังสถานะที่ต้องการ ได้อิเล็กตรอนนั้นต้องมีพลังงานสูงพอ อิเล็กตรอนที่ถูกปลดปล่อยจากการคายประจุของระบบ จะเคลื่อนที่ในสนามไฟฟ้าของช่องเลเซอร์ด้วยความเร่งคงที่ค่าหนึ่ง เมื่อเคลื่อนที่ไปโดยไม่มีการชนกับอนุภาคใด ๆ อิเล็กตรอนจะมีพลังงานสูงขึ้นเรื่อย ๆ เมื่อถึงระยะทางหนึ่งอิเล็กตรอนมีพลังงานจลน์สูงพอจึงสามารถกระตุ้น โมเลกุลของไนโตรเจนได้ ดังที่กล่าวข้างต้น เมื่อมีอัตราการไหลของแก๊สสูงความหนาแน่นของโมเลกุลแก๊สจะมากขึ้น อิเล็กตรอนจะชนกับ โมเลกุลของไนโตรเจนก่อนที่จะมีพลังงานสูงพอที่จะกระตุ้นโมเลกุลได้ ดังนั้นแสงเลเซอร์จึงมีความเข้มลดลงเรื่อยๆเมื่อมีการเพิ่มอัตราการไหลของแก๊สที่มากขึ้น

6. ลำแสงไนโตรเจนเลเซอร์แบบกระตุ้นตามขวางทำงานที่ความดันบรรยากาศที่สร้างขึ้นนี้สามารถกระตุ้นสารละลายคายที่ประกอบด้วยสารโรดามิน 6 จี ที่ทำละลายในแอลกอฮอล์ 99% จากผลการทดลองพบว่าแสงเลเซอร์จากระบบคายเลเซอร์มีความเข้มแสงสูงสุดเมื่อสารละลายคายมีความเข้มข้นประมาณ  $1 \times 10^{-2}$  โมล/ลิตร

7. แสงเลเซอร์ที่เกิดจากระบบคายเลเซอร์มีการลู่ออกด้วยมุม 12.7 มิลลิเรเดียน ซึ่งสูงกว่าการลู่ออกของแสงเลเซอร์จากไนโตรเจนเลเซอร์เล็กน้อย แสงที่เกิดขึ้นนี้เป็นแสงเลเซอร์ที่มีสมบัติต่างจากแสงที่เกิดจากขบวนการวาวแสง (Fluorescence) คือมีการลู่ออกน้อยจึงมีทิศทาง (Directionality) สามารถเดินทางได้ไกลกว่าแสงธรรมดา

เอกสารนี้เป็นเอกสารที่สงวนไว้สำหรับการใช้งานเพื่อการศึกษาเท่านั้น ไม่อนุญาตให้นำไปใช้ประโยชน์ด้านการค้าไม่ว่ากรณีใดๆทั้งสิ้น อีกทั้งห้ามมิให้ดัดแปลงเนื้อหา และต้องอ้างอิงถึงเจ้าของเอกสารทุกครั้งที่มีการนำไปใช้

8. จากการทดลองพบว่าเมื่อความเข้มข้นของสารละลายคายมีค่าสูงเกินไป สารละลายคาย จะดูดกลืนแสงจากไนโตรเจนเลเซอร์สูงมาก แสงเลเซอร์จากไนโตรเจนเลเซอร์จึงมีความเข้มแสงลดลงอย่างรวดเร็ว โดยถูกดูดกลืนหมดที่ผิวของสารละลายคาย เมื่อสังเกตจากด้านข้างจึงไม่เห็นแสงทะลุเข้าไปในเนื้อของสารละลายคายเลย จึงไม่เกิดแสงเลเซอร์จากระบบคายเลเซอร์ ในทางตรงข้ามถ้าใช้สารละลายคายที่มีความเข้มข้นน้อยเกินไปการดูดกลืนจะมีน้อย แสงจากไนโตรเจนเลเซอร์จะทะลุเข้าไปในเนื้อสารละลายคายลึกมาก ความหนาแน่นของโมเลกุลของสารละลายคายที่ถูกกระตุ้นจึงมีน้อย เป็นผลให้เกิดแสงเลเซอร์จากระบบคายเลเซอร์น้อยหรือไม่สามารถเกิดขึ้นได้

9. ความเข้มข้นที่เหมาะสมของสารละลายคายอาจสังเกตได้จากความลึกของแสงเลเซอร์ที่ใช้ในการกระตุ้นที่เข้าไปในเนื้อสารละลายคายได้ เนื่องจากความเข้มข้นที่เหมาะสมคือความเข้มข้นที่ทำให้เกิดการดูดกลืนแสงเลเซอร์ที่ใช้ในการกระตุ้นที่พอเหมาะ แสงเลเซอร์ที่ใช้ในการกระตุ้นจะต้องสามารถทะลุเข้าไปในเนื้อสารละลายคายได้พอสมควรไม่คืนหรือลึกเกินไป จากการสังเกตพบว่าความลึกที่เหมาะสมมีค่าประมาณ 1-2 มิลลิเมตร

## 5.2 ปัญหาที่พบและข้อเสนอแนะ

1. แหล่งกำเนิดแรงดันไฟฟ้ากระแสตรงแรงดันสูงที่สร้างขึ้นนี้สามารถจ่ายแรงดันได้ในช่วง 0-15 กิโลโวลต์ เท่านั้น และในขณะที่ทำการทดลองเมื่อปรับแรงดันไฟฟ้าไปที่ค่า 14.5 กิโลโวลต์ พบว่าเริ่มเกิดเสียงดังที่แหล่งกำเนิดแรงดัน ดังนั้นในการทดลองจึงปรับค่าแรงดันไฟฟ้ากระแสตรงไม่เกิน 14.5 กิโลโวลต์ และโดยปกติเพื่อความปลอดภัยจะใช้เพียง 14.0 กิโลโวลต์ เท่านั้น เนื่องจากเกรงจะเกิดความเสียหายขึ้น แต่จากผลการทดลองพบว่าเมื่อปรับค่าแรงดันไฟฟ้ากระแสตรงมากขึ้นค่าความเข้มของแสงก็จะมีค่ามากขึ้นด้วย ดังนั้นควรจะทำการสร้างแหล่งกำเนิดแรงดันไฟฟ้ากระแสตรงแรงดันสูงให้สามารถจ่ายแรงดันได้มากกว่า 15 กิโลโวลต์ ซึ่งจะทำให้สามารถศึกษาได้ว่าระบบเลเซอร์สามารถทำงานได้ดีที่สุดที่แรงดันไฟฟ้าเท่าใด

2. สารไดอิเล็กทริกที่นำมาใช้ทำเป็นตัวเก็บประจุในงานวิจัยนี้เป็นแผ่นไมลาร์ ซึ่งสามารถทนแรงดันไฟฟ้าได้ประมาณ 15 กิโลโวลต์ ดังนั้นหากจะสร้างแหล่งกำเนิดแรงดันไฟฟ้ากระแสตรงแรงดันสูงให้จ่ายแรงดันได้สูงกว่า 15 กิโลโวลต์แล้วนั้น ควรปรับปรุงระบบโดยการหาวัสดุไดอิเล็กทริกที่สามารถทนแรงดันที่สูงได้มากกว่านี้

3. กำลังงานของแสงเลเซอร์เป็นสิ่งสำคัญที่บอกถึงประสิทธิภาพของระบบ แต่เนื่องจากลำแสงไนโตรเจนเลเซอร์ที่ได้จะเป็นแสงที่อยู่ในย่านอัลตราไวโอเล็ตและมีลักษณะเป็นพัลส์ที่แคบมาก การวัดกำลังงานของแสงเลเซอร์นี้ต้องใช้เครื่องวัดกำลังงานแสงเลเซอร์ (Laser Power Meter) ซึ่งผู้วิจัยไม่สามารถหาได้ ดังนั้นการศึกษาผลของแรงดันไฟฟ้ากระแสตรงที่ป้อนให้กับชุด

เอกสารนี้เป็นเอกสารที่สงวนไว้สำหรับการใช้งานเพื่อการศึกษาเท่านั้น ไมออนุญาตให้นำไปใช้ประโยชน์ด้านการค้า

ไม่ว่ากรณีใดๆทั้งสิ้น อีกทั้งห้ามมิให้ดัดแปลงเนื้อหา และต้องอ้างอิงถึงเจ้าของเอกสารทุกครั้งที่มีการนำไปใช้

ในโตรเจนเลเซอร์ต่อกำลังงานของแสงเลเซอร์ที่เกิดขึ้นจึงไม่สามารถทำได้โดยตรง ในวิทยานิพนธ์นี้จึงได้ศึกษาเอาท์พุทของแสงเลเซอร์ในรูปของความเข้มแสงโดยวัดความเข้มแสงด้วยโฟโตไดโอดแทน และค่าที่วัดได้นี้จะอยู่ในรูปของโวลเตจที่สัมพันธ์กับความเข้มแสงซึ่งมีความสัมพันธ์โดยตรงกับกำลังงานของแสงด้วย จากการทดลองพบว่าเมื่อเพิ่มแรงดันไฟฟ้ากระแสตรงมากขึ้นความเข้มแสงก็จะมากขึ้น ผลที่ได้จะอยู่ในรูปของการเปรียบเทียบไม่สามารถแสดงกำลังงานที่แท้จริงของแสงเลเซอร์ได้

4. สืบเนื่องจากปัญหาที่พบในข้อ 3 การศึกษาผลของอัตราการใช้ของแก๊สไนโตรเจนที่ให้แก่ระบบเลเซอร์ต่อกำลังงานที่เกิด ก็ไม่สามารถวัดในรูปของกำลังโดยตรง จึงต้องทำเช่นเดียวกับข้อ 3 คือต้องวัดกำลังในรูปของความเข้มแสงและรายงานผลในเชิงเปรียบเทียบ

5. จากการสังเกตการใช้งานระบบไนโตรเจนเลเซอร์พบว่าเมื่อปรับระยะห่างระหว่างขั้วไฟฟ้าของช่องเลเซอร์ให้ห่างมากขึ้น (พร้อมกับระยะของสปาร์กแกปให้เหมาะสม) แสงเลเซอร์ที่เกิดขึ้นแนวโน้มว่าจะมีความเข้มแสงมากขึ้น แต่การจลจรระยะห่างของขั้วไฟฟ้าให้ได้ระยะที่ต้องการนั้นทำได้ยากเนื่องจากความไม่สมบูรณ์ของขั้วไฟฟ้า เช่นผิวหน้าของขั้วไม่ขนานกันจริงประกอบกับระบบจับยึดขั้วที่ไม่สามารถปรับได้สะดวก ดังนั้นการติดตั้งขั้วไฟฟ้าให้อยู่ในสภาพเดิมทุกครั้งจึงทำได้ยาก การศึกษาผลของระยะห่างของขั้วไฟฟ้าต่อกำลังงานแสงจึงไม่สามารถทำการทดลองซ้ำได้ จึงไม่มีผลการทดลองเป็นตัวเลขแสดงมีเพียงแต่ผลจากการสังเกตเท่านั้น ถ้าต้องการศึกษาผลที่แน่นอนจะต้องมีการปรับปรุงขั้วไฟฟ้าให้ดีขึ้นพร้อมกับปรับปรุงระบบจับยึดขั้วไฟฟ้าให้สามารถปรับระยะได้สะดวกและแน่นอน และถ้าสามารถออกแบบให้สามารถปรับระยะขั้วไฟฟ้าในขณะที่ใช้งานเลเซอร์(ขณะป้อนไฟฟ้ากระแสตรงแรงดันสูง) ได้ก็จะช่วยให้การศึกษาทำได้ง่ายขึ้น

6. เมื่อไม่สามารถวัดกำลังของลำแสงไนโตรเจนที่ออกมาได้นั้น จึงเป็นการยากที่จะบอกได้ว่าแสงไนโตรเจนเลเซอร์ที่มีค่าเท่าใดจึงจะสามารถนำไปกระตุ้นสารละลายคายได้ แต่จากการศึกษาจากเอกสารงานวิจัยที่ผ่านมา พบว่าค่าสารละลายคายที่ใช้กันจะมีค่าความเข้มข้นอยู่ในช่วงระหว่าง  $1 \times 10^{-3}$  ถึง  $1 \times 10^{-1}$  โมล/ลิตร ผู้ทำวิจัยจึงใช้วิธีการเตรียมสารละลายคายที่มีค่าที่อยู่ในช่วงนี้แล้วทำการศึกษาคูว่าความเข้มข้นค่าใดสามารถใช้ได้กับแสงเลเซอร์จากชุดไนโตรเจนเลเซอร์ที่สร้างขึ้นได้

7. ในการจัดวางระบบคายเลเซอร์นั้น ผู้วิจัยทำการทดลองจัดระบบในหลายลักษณะ เช่นการใช้กระจกราบที่มีสัมประสิทธิ์การสะท้อน 100% เป็นกระจกหลัง และใช้กระจกราบที่มีสัมประสิทธิ์การสะท้อน 80% เป็นกระจกหน้า หรือใช้เกรตติงเดี่ยวเบนขนาด 1800 เส้น/มิลลิเมตรทำหน้าที่เป็นกระจกหลังและใช้กระจกราบที่มีสัมประสิทธิ์การสะท้อน 80% เป็นกระจกหน้า ซึ่งพบว่าการจัดระบบเช่นนี้จะพบบ่อยกับลักษณะการจัดระบบตัวสั้นพ้องเชิงทศน์ ที่มีกระจกหน้าและกระจกหลังเป็นกระจกราบ ซึ่งมีรัศมีความโค้งเป็นอนันต์ซึ่งถือเป็นระบบที่จัดได้ยากที่สุด ดังนั้นจึงควรจัดหาอุปกรณ์ที่ช่วยให้การจัดระบบง่ายขึ้น เช่นการใช้กระจกเว้าแทนกระจกราบ เป็นต้น

เอกสารนี้เป็นเอกสารที่สงวนไว้สำหรับกรใช้งานเพื่อการศึกษาเท่านั้น ไม่อนุญาตให้นำไปใช้ประโยชน์ด้านการค้าไม่ว่ากรณีใดๆทั้งสิ้น อีกทั้งห้ามมิให้ดัดแปลงเนื้อหา และต้องอ้างอิงถึงเจ้าของเอกสารทุกครั้งที่มีการนำไปใช้

## เอกสารอ้างอิง

- [1] สมศักดิ์ ปัญญาแก้ว. เลเซอร์เอ็นจีเนียริง. กรุงเทพมหานคร : สำนักพิมพ์จุฬาลงกรณ์มหาวิทยาลัย. 2529
- [2] Jeff Hecht. **Laser Pioneer**. Boston. : Academic Press. 1992
- [3] Joseph T. Verdeyen. **Laser Electronics**. 3<sup>rd</sup> Ed. New Jersey : Prentic-Hall, Inc. 1995
- [4] John Wilson, J. F. B. Hawkes. **Lasers : Principles and Applications**. New York : Prentic-Hall , Inc. 1987
- [5] Peter W. Milonni, Joseph H. Eberly. **Laser**. United States. : John Wiley&Sons, Inc. 1988
- [6] ไพโรจน์ ไตรรัตน์. “การสร้างไนโตรเจนเลเซอร์ชนิดกระตุ้นตามขวางที่ความดันบรรยากาศ.” วิทยานิพนธ์วิทยาศาสตร์มหาบัณฑิต สาขาฟิสิกส์ บัณฑิตวิทยาลัย, มหาวิทยาลัยศรีนครินทร-วิโรฒ ประสานมิตร. 2537.
- [7] Colin S. Willett. **Introduction to Gas Lasers: Population Inversion Mechanisms**. New York. Pergamon Press. 1974
- [8] Christopher C. Davis. **Laser and Electro-Optics**. London. Cambridge University Press. 1996
- [9] ปิยะรัช ศรีเหนียง, รัตน์สุดา ทองแดง. “ไนโตรเจนเลเซอร์แบบกระตุ้นตามขวางที่ความดันบรรยากาศ.” วิทยานิพนธ์วิทยาศาสตร์บัณฑิต สาขาฟิสิกส์ประยุกต์ คณะวิทยาศาสตร์, สถาบันเทคโนโลยีพระจอมเกล้าเจ้าคุณทหารลาดกระบัง. 2540
- [10] วรดา ทรัพย์จรัสแสง. “การพัฒนาและสร้างวงจรถูกกระตุ้นไนโตรเจนเลเซอร์.” วิทยานิพนธ์วิทยาศาสตร์บัณฑิต สาขาฟิสิกส์ประยุกต์ คณะวิทยาศาสตร์, สถาบันเทคโนโลยีพระจอมเกล้าเจ้าคุณทหารลาดกระบัง. 2541.
- [11] Born, M. and Wolf, E. **Principle of Optics**. 6<sup>th</sup> ed. Oxford : Pergamon Press. 1986.
- [12] Gilbert S. Hayat. **Handbook : Diffraction Gratings Ruled and Holographic**. : J and Y Diffraction Grating Inc. 1984
- [13] Peter Schenck, Harold Metcalf. “Low Cost Nitrogen Laser Design for Dye Laser Pumping. Applied Optics, vol. 12, no. 2, February 1973. Pp. 183-186
- [14] C. L. Sam. “Small-size Discrete-capacitor N<sub>2</sub> Laser.” Applied Physics Letters. Vol. 29, no.8, October 1976. Pp. 505-506.
- [15] Ernest E. Bergmann. “Coherent UV from a TEA N<sub>2</sub> Laser System” Applied Physics Letters, vol. 31, no. 10, November 1977. Pp. 661-664

เอกสารนี้เป็นเอกสารที่สงวนไว้สำหรับการใช้งานเพื่อการศึกษาเท่านั้น ไม่อนุญาตให้นำไปใช้ประโยชน์ด้านการค้า ไม่ว่าจะกรณีใดๆทั้งสิ้น อีกทั้งห้ามมิให้ดัดแปลงเนื้อหา และต้องอ้างอิงถึงเจ้าของเอกสารทุกครั้งที่มีการนำไปใช้

# ภาคผนวก

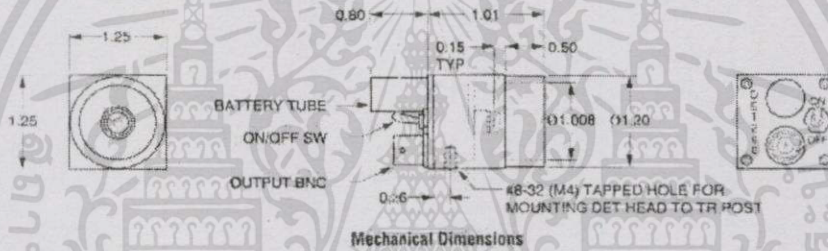
## HIGH-SPEED SILICON DETECTOR - DET200

### DESCRIPTION

Thorlab's DET200 is a ready-to-use high-speed photo detector. The unit comes complete with a photo diode and internal 12V bias battery enclosed in a ruggedized aluminum housing. The head includes a removable 1" optical holder (SM1L05) which provides easy mounting of ND and spectral filters and other Thorlabs 1" stackable lens mount accessories. Also available are fiber adapters (SMA, FC and ST style). An #8-32 tapped hole is provided on the base of the housing to mount the detector directly to a Thorlabs positioning device (1/2" post holder, mounting plates, etc.).

### SPECIFICATIONS:

<b>Detector:</b> Silicon PIN	<b>Housing:</b> Black Anodized Aluminum
<b>Spectral Response:</b> 185-1100nm	<b>Size:</b> 1.25" SQ. x 2.3"
<b>Peak Wavelength:</b> 920nm±50nm	<b>Output:</b> BNC, DC-Coupled
<b>Rise/Fall Time<sup>1</sup>:</b> ≤ 1ns	<b>Bias:</b> 12V Battery (Type A23)
<b>Diode Capacitance:</b> 1.8pF	<b>Mounting:</b> 8-32 Tapped Hole
<b>NEP:</b> 5 × 10 <sup>-14</sup> W/√Hz	<b>Diode Socket:</b> TO-5, Anode Marked
<b>Dark Current:</b> 2.5nA	<b>Damage Threshold:</b> 100mW CW
<b>Active Area:</b> 1.0mm <sup>2</sup>	0.5 J/cm <sup>2</sup> (10 ns pulse)
<b>Round</b>	



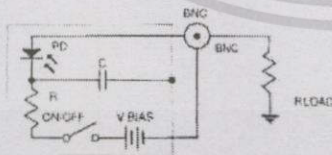
Thorlab's DET series are ideal for measuring both pulsed and CW light sources. The DET200 includes a reverse-biased PIN photo diode, bias battery, and an ON/OFF switch packaged in a ruggedized housing. The BNC output signal is the direct photocurrent from the photo diode anode and is a function of the incident light power and wavelength. The responsivity,  $R(\lambda)$ , can be read from Figure 1 to estimate the amount of photocurrent to expect. Most users will wish to convert this photocurrent to a voltage for viewing on an oscilloscope or DVM. This is accomplished by adding an external load resistance,  $R_{LOAD}$ . The output voltage is derived as:

$$V_D = P \cdot R(\lambda) \cdot R_{LOAD}$$

The bandwidth,  $f_{BW}$ , and the rise-time response,  $T_R$ , are determined from the diode capacitance,  $C_J$ , and the load resistance,  $R_{LOAD}$ .

$$f_{BW} = 1/(2\pi \cdot R_{LOAD} \cdot C_J), \quad T_R = 0.35/f_{BW}$$

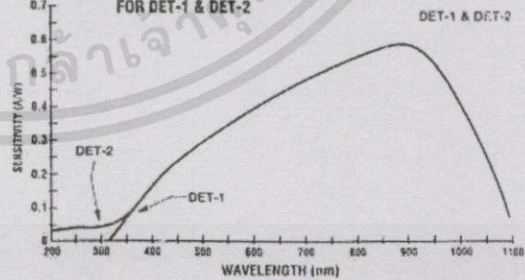
Notes:  
1. Measuring with a 50Ω Terminating Resistor



For maximum bandwidth, we recommend using a 50Ω coax cable with a 50Ω terminating resistor at the end of the coax. This will also minimize ringing by matching the coax with its characteristic impedance. If bandwidth is not important, you can increase the amount of voltage for a given input light by increasing the  $R_{LOAD}$  up to a maximum of 10KΩ.

Also Available: DETs with Large Area Silicon, Germanium Detectors, and amplified detectors.

TYPICAL SPECTRAL RESPONSE FOR DET-1 & DET-2



1401-S01 Rev B 10/96

SALES: (201) 579-7227

FAX: (201) 383-8406

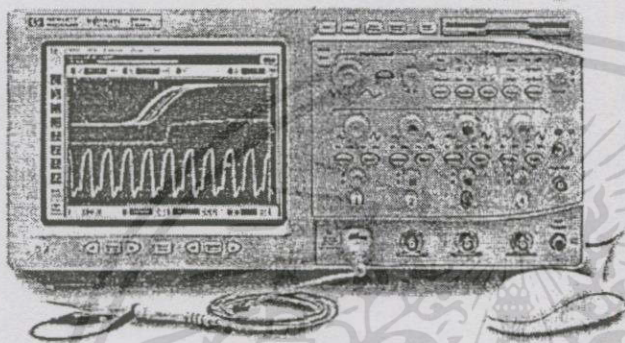
435 ROUTE 206 • P.O. BOX 366 • NEWTON, NJ 07860-0366

**THORLABS**

เอกสารนี้เป็นเอกสารที่สงวนไว้สำหรับการใช้งานเพื่อการศึกษาเท่านั้น ไม่อนุญาตให้นำไปใช้ประโยชน์ด้านการค้า  
ไม่ว่ากรณีใดๆทั้งสิ้น อีกทั้งห้ามมิให้ดัดแปลงเนื้อหา และต้องอ้างอิงถึงเจ้าของเอกสารทุกครั้งที่มีการนำไปใช้

## Agilent Technologies Infiniium 54810/15/20/25/35/45A Oscilloscopes

Data Sheet



- 500 MHz, 1 GHz and 1.5-GHz bandwidth models
- 2- or 4-channel models
- Up to 8-GSa/s sample rates
- Simple, analog-like front panel
- Familiar Windows®98-based graphical user interface
- Built-in information system
- LAN printer and file sharing
- Eye diagrams and mask testing
- VoiceControl Option

Agilent Infiniium oscilloscopes combine a simple analog-like front panel, the graphical user interface of a PC, and powerful connectivity capabilities to make high-performance features accessible and uncomplicated. Infiniium oscilloscopes are designed to help you get your measurement job done faster.

#### Simple Analog-like Front Panel

Agilent Infiniium oscilloscopes give you the simple, uncluttered front panel of an analog scope for accessing basic functions. Dedicated scale and position knobs for each channel provide intuitive operation. Trigger LEDs show you trigger status at a glance. To speed up measurements, the QuickMeas key gives you instant access to any four measurements.

#### Familiar Graphical User Interface

Agilent Infiniium scopes employ a graphical user interface based on Windows® 98. Windows' familiar interface means you won't have to spend a lot of time learning and relearning the scope. Pull-down menus give you easy access to advanced features. Dialog boxes display all the choices you need to make for measurement setups. In addition, waveforms, markers, and measurements can be easily positioned on the display by using your mouse to drag and drop.

#### Exceptional Connectivity

Agilent Infiniium scopes give you the tools you need to document your work and share your results. It takes just a few mouse clicks to save waveforms and screen bitmaps to hard drive, floppy, or, when networked, to a drive on your network. LAN connectivity

also lets you easily print your results to networked printers, and makes it simple to share your waveforms and data with others.

#### The Performance You Need

And Agilent Infiniium scopes aren't just easier to use. These scopes provide the high performance specifications and features you need to get your measurement job done faster. With bandwidths to 1.5 GHz and sample rates to 8 GSa/s, Infiniium can view your fastest signals. Powerful triggering and analysis makes it easy to capture and analyze your waveforms. Display and math features like color-graded persistence and histograms let you easily view and isolate signal problems faster.



**Agilent Technologies**

Innovating the HP Way

เอกสารนี้เป็นเอกสารที่สงวนไว้สำหรับการใช้งานเพื่อการศึกษาเท่านั้น ไม่อนุญาตให้นำไปใช้ประโยชน์ด้านการค้า  
ไม่ว่ากรณีใดๆทั้งสิ้น อีกทั้งห้ามมิให้ดัดแปลงเนื้อหา และต้องอ้างอิงถึงเจ้าของเอกสารทุกครั้งที่มีการนำไปใช้

## Performance to Get the Job Done

Agilent Infiniium scopes combine ease-of-use with the right specifications and a broad feature set to help you get your job done faster. Use the information here to find the scope that meets your signal measurement needs, and review the features on the next two pages to see how Infiniium makes its advanced power so usable.

### General-Purpose Versatility

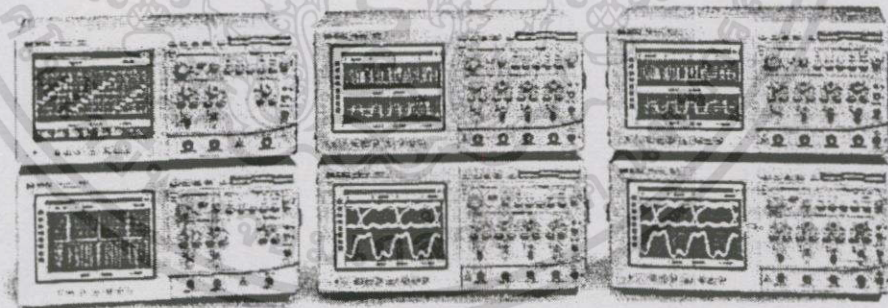
The 500 MHz versions of Infiniium provide exceptional performance and capability for general purpose lab measurements. Select a sample rate of 1 or 2 GSa/s based on your need for single shot measurement accuracy, and let your application needs and budget determine your choice of a 2- or 4-channel model. Whichever Infiniium you select, you can be sure of getting a powerful scope that makes it easier to get your job done.

For applications requiring more than 500 MHz of bandwidth, the new 54835A offers four channels at 1 GHz, with sample rates up to 4 GSa/s.

### Ultimate Performance

The Infiniium family's 54845A provides the performance you need for your most demanding signals. 1.5 GHz bandwidth and a sample rate of up to 8 GSa/s ensure fast, accurate capture of your waveforms. Like the other Infiniium models, the 54845A's familiar user interface makes it easy to take advantage of every bit of the performance inside.

Model	Channels	Bandwidth	Sample Rate	Memory Depth
54810A	2	500 MHz	1 GSa/s	32K
54815A	4	500 MHz	1 GSa/s	32K
54820A	2	500 MHz	2 GSa/s	32K
54825A	4	500 MHz	2 GSa/s	32K
54835A	4	1 GHz	4 GSa/s (2 channel mode)	64K (2 channel mode)
			2 GSa/s (4 channel mode)	32K (4 channel mode)
54845A	4	1.5 GHz	8 GSa/s (2 channel mode)	64K (2 channel mode)
			4 GSa/s (4 channel mode)	32K (4 channel mode)



Infiniium models 54815A and 54825A

Infiniium models 54810A and 54820A

Infiniium models 54835A and 54845A

เอกสารนี้เป็นเอกสารที่สงวนไว้สำหรับการใช้งานเพื่อการศึกษาเท่านั้น ไม่นอนุญาตให้นำไปใช้ประโยชน์ด้านการค้า  
ไม่ว่ากรณีใดๆทั้งสิ้น อีกทั้งห้ามมิให้ดัดแปลงเนื้อหา และต้องอ้างอิงถึงเจ้าของเอกสารทุกครั้งที่มีการนำไปใช้

## LM555 Timer

### General Description

The LM555 is a highly stable device for generating accurate time delays or oscillation. Additional terminals are provided for triggering or resetting if desired. In the time delay mode of operation, the time is precisely controlled by one external resistor and capacitor. For astable operation as an oscillator, the free running frequency and duty cycle are accurately controlled with two external resistors and one capacitor. The circuit may be triggered and reset on falling waveforms, and the output circuit can source or sink up to 200mA or drive TTL circuits.

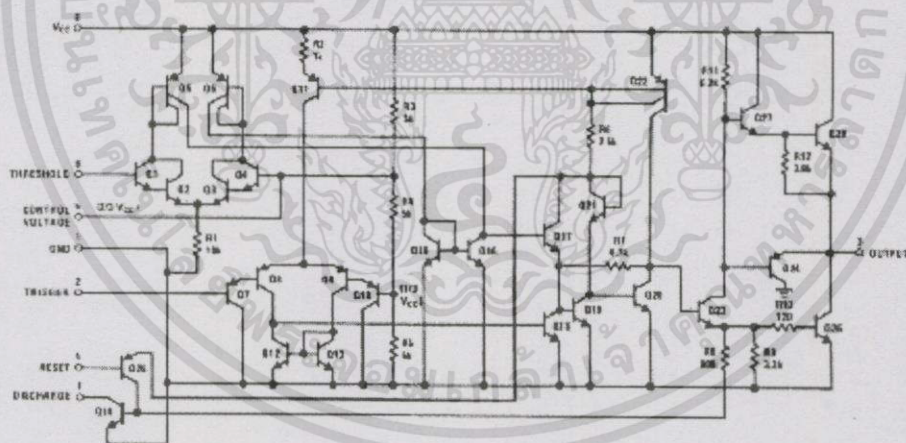
### Features

- Direct replacement for SE555/NE555
- Timing from microseconds through hours
- Operates in both astable and monostable modes
- Adjustable duty cycle
- Output can source or sink 200 mA
- Output and supply TTL compatible
- Temperature stability better than 0.005% per °C
- Normally on and normally off output
- Available in 8-pin MSOP package

### Applications

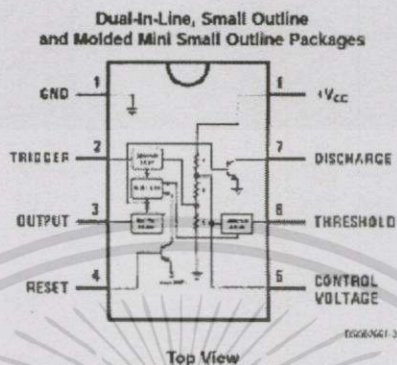
- Precision timing
- Pulse generation
- Sequential timing
- Time delay generation
- Pulse width modulation
- Pulse position modulation
- Linear ramp generator

### Schematic Diagram



LM555

Connection Diagram



Ordering Information

Package	Part Number	Package Marking	Media Transport	NSC Drawing
8-Pin SOIC	LM555CM	LM555CM	Reels	M08A
	LM555CMX	LM555CM	2.5k Units Tape and Reel	
8-Pin MSOP	LM555CMM	Z55	1k Units Tape and Reel	MUA08A
	LM555CMMX	Z55	3.5k Units Tape and Reel	
8-Pin MDIP	LM555CN	LM555CN	Reels	N08E

เอกสารนี้เป็นเอกสารที่สงวนไว้สำหรับการใช้งานเพื่อการศึกษาเท่านั้น ไม่อนุญาตให้นำไปใช้ประโยชน์ด้านการค้า ไม่ว่ากรณีใดๆทั้งสิ้น อีกทั้งห้ามมิให้ดัดแปลงเนื้อหา และต้องอ้างอิงถึงเจ้าของเอกสารทุกครั้งที่มีการนำไปใช้

**Absolute Maximum Ratings** (Note 2)

If Military/Aerospace specified devices are required, please contact the National Semiconductor Sales Office/Distributors for availability and specifications.

Supply Voltage	+18V
Power Dissipation (Note 3)	
LM555CM, LM555CN	1180 mW
LM555CMM	613 mW
Operating Temperature Ranges	
LM555C	0°C to +70°C
Storage Temperature Range	-65°C to +150°C

**Soldering Information**

Dual-In-Line Package	
Soldering (10 Seconds)	260°C
Small Outline Packages (SOIC and MSOP)	
Vapor Phase (60 Seconds)	215°C
Infrared (15 Seconds)	220°C

See AN-450 "Surface Mounting Methods and Their Effect on Product Reliability" for other methods of soldering surface mount devices.

**Electrical Characteristics** (Notes 1, 2)

( $T_A = 25^\circ\text{C}$ ,  $V_{CC} = +5\text{V}$  to  $+15\text{V}$ , unless otherwise specified)

Parameter	Conditions	Limits			Units
		LM555C			
		Min	Typ	Max	
Supply Voltage		4.5		16	V
Supply Current	$V_{CC} = 5\text{V}$ , $R_L = \infty$ $V_{CC} = 15\text{V}$ , $R_L = \infty$ (Low State) (Note 4)		3 10	6 15	mA
Timing Error, Monostable			1		%
Initial Accuracy			50		ppm/°C
Drift with Temperature	$R_A = 1\text{k}$ to $100\text{k}\Omega$ $C = 0.1\mu\text{F}$ , (Note 5)				
Accuracy over Temperature			1.5		%
Drift with Supply			0.1		%/V
Timing Error, Astable			2.25		%
Initial Accuracy			150		ppm/°C
Drift with Temperature	$R_A, R_B = 1\text{k}$ to $100\text{k}\Omega$ $C = 0.1\mu\text{F}$ , (Note 5)				
Accuracy over Temperature			3.0		%
Drift with Supply			0.30		%/V
Threshold Voltage			0.657		$\times V_{CC}$
Trigger Voltage	$V_{CC} = 15\text{V}$ $V_{CC} = 5\text{V}$		5 1.67		V
Trigger Current			0.5	0.9	$\mu\text{A}$
Reset Voltage		0.4	0.5	1	V
Reset Current			0.1	0.4	mA
Threshold Current	(Note 6)		0.1	0.25	$\mu\text{A}$
Control Voltage Level	$V_{CC} = 15\text{V}$ $V_{CC} = 5\text{V}$	9 2.6	10 3.33	11 4	V
Pin 7 Leakage Output High			1	100	nA
Pin 7 Sat (Note 7)					
Output Low	$V_{CC} = 15\text{V}$ , $I_T = 15\text{mA}$		180		mV
Output Low	$V_{CC} = 4.5\text{V}$ , $I_T = 4.5\text{mA}$		80	200	mV

เอกสารนี้เป็นเอกสารที่สงวนไว้สำหรับการใช้งานเพื่อการศึกษาเท่านั้น ไม่อนุญาตให้นำไปใช้ประโยชน์ด้านการค้า  
ไม่ว่ากรณีใดๆทั้งสิ้น อีกทั้งห้ามมิให้ดัดแปลงเนื้อหา และต้องอ้างอิงถึงเจ้าของเอกสารทุกครั้งที่มีกรนำไปใช้

Electrical Characteristics (Notes 1, 2) (Continued)					
(T <sub>A</sub> = 25°C, V <sub>CC</sub> = +5V to +15V, unless otherwise specified)					
Parameter	Conditions	Limits			Units
		LM555C			
		Min	Typ	Max	
Output Voltage Drop (Low)	V <sub>CC</sub> = 15V				
	I <sub>SINK</sub> = 10mA		0.1	0.25	V
	I <sub>SINK</sub> = 50mA		0.4	0.75	V
	I <sub>SINK</sub> = 100mA		2	2.5	V
	I <sub>SINK</sub> = 200mA		2.5		V
	V <sub>CC</sub> = 5V				
Output Voltage Drop (High)	I <sub>SINK</sub> = 8mA				V
	I <sub>SINK</sub> = 5mA		0.25	0.35	V
	I <sub>SOURCE</sub> = 200mA, V <sub>CC</sub> = 15V		12.5		V
	I <sub>SOURCE</sub> = 100mA, V <sub>CC</sub> = 15V	12.75	13.3		V
	V <sub>CC</sub> = 5V	2.75	3.3		V
Rise Time of Output			100		ns
Fall Time of Output			100		ns

Note 1: All voltages are measured with respect to the ground pin, unless otherwise specified.

Note 2: Absolute Maximum Ratings indicate limits beyond which damage to the device may occur. Operating Ratings indicate conditions for which the device is functional, but do not guarantee specific performance limits. Electrical Characteristics give DC and AC electrical specifications under particular test conditions which guarantee specific performance limits. This assumes that the device is within the Operating Ratings. Specifications are not guaranteed for parameters where no limit is given, however, the typical value is a good indicator of device performance.

Note 3: If operating at elevated temperatures the device must be derated above 25°C based on a +150°C maximum junction temperature and a thermal resistance of 106°C/W (DIP), 170°C/W (SO-8), and 204°C/W (MSOP) junction to ambient.

Note 4: Supply current when output high typically 1 mA less at V<sub>CC</sub> = 5V.

Note 5: Tested at V<sub>CC</sub> = 5V and V<sub>CC</sub> = 15V.

Note 6: This will determine the maximum value of (R<sub>θ</sub> + R<sub>θ</sub>) for 15V operation. The maximum total (R<sub>θ</sub> + R<sub>θ</sub>) is 20MΩ.

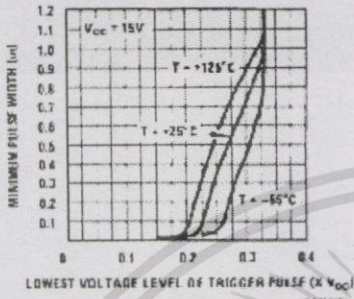
Note 7: No protection against excessive pin 7 current is necessary providing the package dissipation rating will not be exceeded.

Note 8: Refer to RET-555X drawing of military LM555H and LM555J versions for specifications.

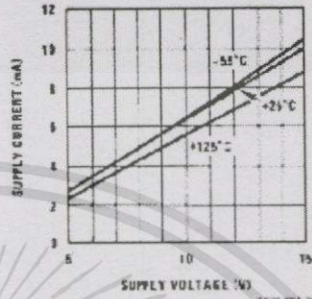
เอกสารนี้เป็นเอกสารที่สงวนไว้สำหรับการใช้งานเพื่อการศึกษาเท่านั้น ไม่อนุญาตให้นำไปใช้ประโยชน์ด้านการค้า  
ไม่ว่ากรณีใดๆทั้งสิ้น อีกทั้งห้ามมิให้ดัดแปลงเนื้อหา และต้องอ้างอิงถึงเจ้าของเอกสารทุกครั้งที่มีการนำไปใช้

### Typical Performance Characteristics

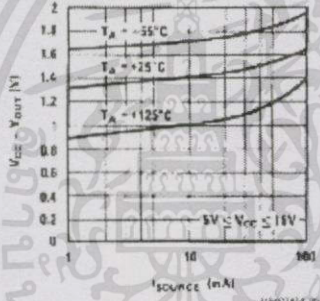
Minimum Pulse Width Required for Triggering



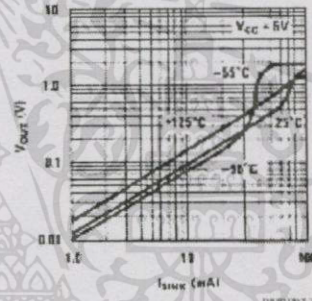
Supply Current vs. Supply Voltage



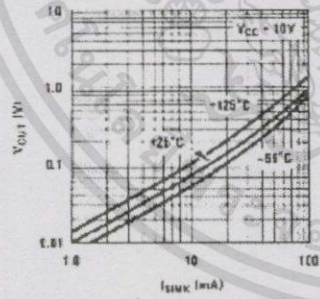
High Output Voltage vs. Output Source Current



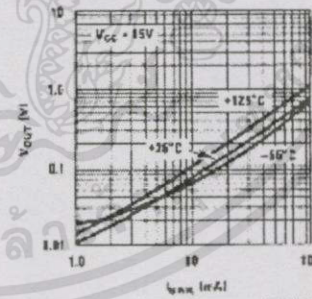
Low Output Voltage vs. Output Sink Current



Low Output Voltage vs. Output Sink Current



Low Output Voltage vs. Output Sink Current

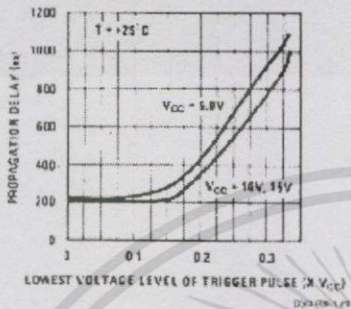


เอกสารนี้เป็นเอกสารที่สงวนไว้สำหรับการใช้งานเพื่อการศึกษาเท่านั้น ไม่อนุญาตให้นำไปใช้ประโยชน์ด้านการค้า  
 ไม่ว่าจะกรณีใดๆทั้งสิ้น อีกทั้งห้ามมิให้ดัดแปลงเนื้อหา และต้องอ้างอิงถึงเจ้าของเอกสารทุกครั้งที่มีการนำไปใช้

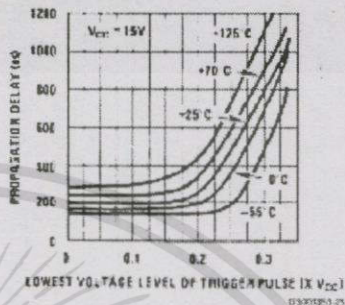
LM555

### Typical Performance Characteristics (Continued)

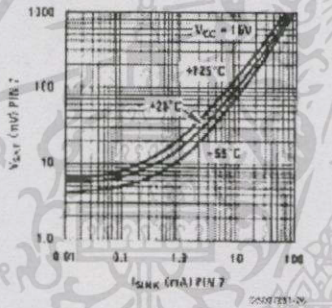
Output Propagation Delay vs. Voltage Level of Trigger Pulse



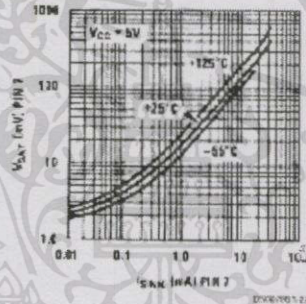
Output Propagation Delay vs. Voltage Level of Trigger Pulse



Discharge Transistor (Pin 7) Voltage vs. Sink Current



Discharge Transistor (Pin 7) Voltage vs. Sink Current



เอกสารนี้เป็นเอกสารที่สงวนไว้สำหรับการใช้งานเพื่อการศึกษาเท่านั้น ไม่อนุญาตให้นำไปใช้ประโยชน์ด้านการค้า ไม่ว่ากรณีใดๆทั้งสิ้น อีกทั้งห้ามมิให้ดัดแปลงเนื้อหา และต้องอ้างอิงถึงเจ้าของเอกสารทุกครั้งที่มีการนำไปใช้

## Applications Information

### MONOSTABLE OPERATION

In this mode of operation, the timer functions as a one-shot (Figure 1). The external capacitor is initially held discharged by a transistor inside the timer. Upon application of a negative trigger pulse of less than  $1/3 V_{CC}$  to pin 2, the flip-flop is set which both releases the short circuit across the capacitor and drives the output high.

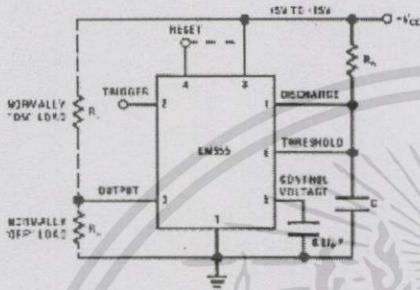
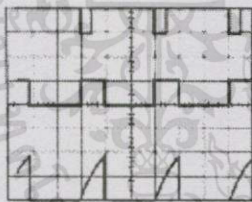


FIGURE 1. Monostable

The voltage across the capacitor then increases exponentially for a period of  $t = 1.1 R_A C$ , at the end of which time the voltage equals  $2/3 V_{CC}$ . The comparator then resets the flip-flop which in turn discharges the capacitor and drives the output to its low state. Figure 2 shows the waveforms generated in this mode of operation. Since the charge and the threshold level of the comparator are both directly proportional to supply voltage, the timing interval is independent of supply.



$V_{CC} = 5V$   
 TIME = 0.1 ms/DIV  
 $R_A = 9.1k\Omega$   
 $C = 0.01\mu F$

FIGURE 2. Monostable Waveforms

During the timing cycle when the output is high, the further application of a trigger pulse will not effect the circuit so long as the trigger input is returned high at least 10µs before the end of the timing interval. However the circuit can be reset during this time by the application of a negative pulse to the reset terminal (pin 4). The output will then remain in the low state until a trigger pulse is again applied.

When the reset function is not in use, it is recommended that it be connected to  $V_{CC}$  to avoid any possibility of false triggering.

Figure 3 is a nomograph for easy determination of R, C values for various time delays.

NOTE: In monostable operation, the trigger should be driven high before the end of timing cycle.

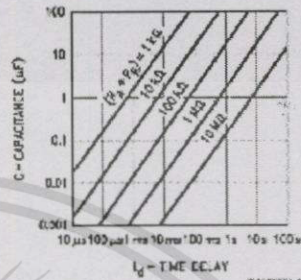


FIGURE 3. Time Delay

### ASTABLE OPERATION

If the circuit is connected as shown in Figure 4 (pins 2 and 6 connected) it will trigger itself and free run as a multivibrator. The external capacitor charges through  $R_A + R_B$  and discharges through  $R_B$ . Thus the duty cycle may be precisely set by the ratio of these two resistors.

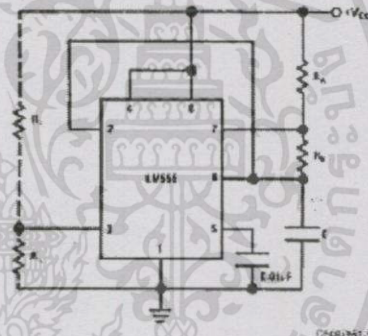
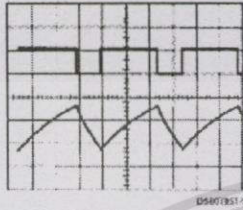


FIGURE 4. Astable

In this mode of operation, the capacitor charges and discharges between  $1/3 V_{CC}$  and  $2/3 V_{CC}$ . As in the triggered mode, the charge and discharge times, and therefore the frequency are independent of the supply voltage.

**Applications Information (Continued)**

Figure 5 shows the waveforms generated in this mode of operation.



V<sub>CC</sub> = 5V  
TIME = 20µs/DIV.  
R<sub>A</sub> = 3.9kΩ  
R<sub>B</sub> = 3kΩ  
C = 0.01µF  
Top Trace: Output 5V/DIV.  
Bottom Trace: Capacitor Voltage 1V/DIV.

**FIGURE 5. Astable Waveforms**

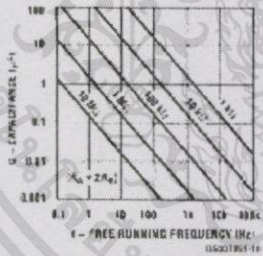
The charge time (output high) is given by:  
 $t_1 = 0.693 (R_A + R_B) C$   
And the discharge time (output low) by:  
 $t_2 = 0.693 (R_B) C$   
Thus the total period is:  
 $T = t_1 + t_2 = 0.693 (R_A + 2R_B) C$   
The frequency of oscillation is:

$$f = \frac{1}{T} = \frac{1.44}{(R_A + 2R_B) C}$$

Figure 6 may be used for quick determination of these RC values.

The duty cycle is:

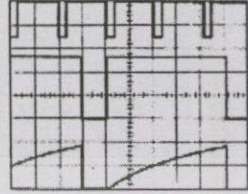
$$D = \frac{R_B}{R_A + 2R_B}$$



**FIGURE 6. Free Running Frequency**

**FREQUENCY DIVIDER**

The monostable circuit of Figure 1 can be used as a frequency divider by adjusting the length of the timing cycle. Figure 7 shows the waveforms generated in a divide by three circuit.

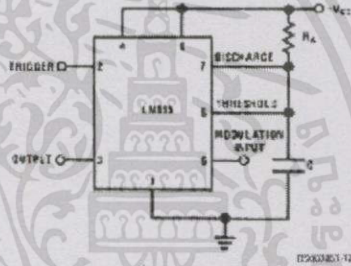


V<sub>CC</sub> = 5V  
TIME = 20µs/DIV.  
R<sub>A</sub> = 0.1MΩ  
C = 0.01µF  
Top Trace: Input 4V/DIV.  
Middle Trace: Output 2V/DIV.  
Bottom Trace: Capacitor 2V/DIV.

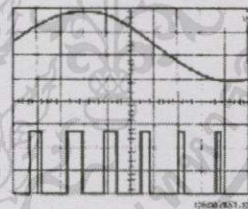
**FIGURE 7. Frequency Divider**

**PULSE WIDTH MODULATOR**

When the timer is connected in the monostable mode and triggered with a continuous pulse train, the output pulse width can be modulated by a signal applied to pin 5. Figure 8 shows the circuit, and in Figure 9 are some waveform examples.



**FIGURE 8. Pulse Width Modulator**



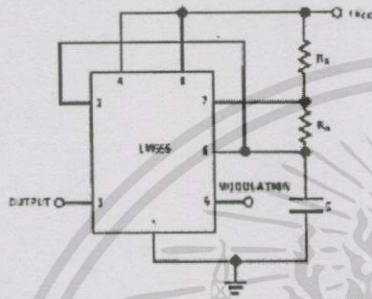
V<sub>CC</sub> = 5V  
TIME = 0.2 ms/DIV.  
R<sub>A</sub> = 9.1kΩ  
C = 0.01µF  
Top Trace: Modulation 1V/DIV.  
Bottom Trace: Output Voltage 2V/DIV.

**FIGURE 9. Pulse Width Modulator**

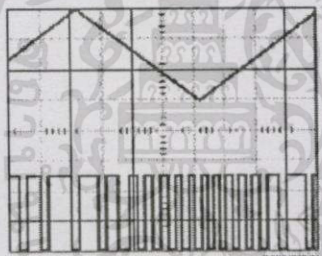
**Applications Information (Continued)**

**PULSE POSITION MODULATOR**

This application uses the timer connected for astable operation, as in Figure 10, with a modulating signal again applied to the control voltage terminal. The pulse position varies with the modulating signal, since the threshold voltage and hence the time delay is varied. Figure 11 shows the waveforms generated for a triangle wave modulation signal.



**FIGURE 10. Pulse Position Modulator**

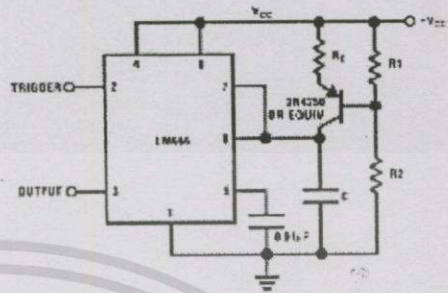


$V_{CC} = 5V$   
 TIME = 0.1 ms/DIV.  
 $R_A = 3.9k\Omega$   
 $R_B = 3k\Omega$   
 $C = 0.01\mu F$

**FIGURE 11. Pulse Position Modulator**

**LINEAR RAMP**

When the pullup resistor,  $R_A$ , in the monostable circuit is replaced by a constant current source, a linear ramp is generated. Figure 12 shows a circuit configuration that will perform this function.

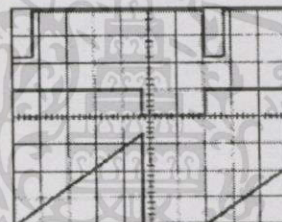


**FIGURE 12.**

Figure 13 shows waveforms generated by the linear ramp. The time interval is given by:

$$T = \frac{2/3 V_{CC} R_E (R_1 + R_2) C}{R_1 V_{CC} - V_{BE} (R_1 + R_2)}$$

$V_{BE} = 0.6V$   
 $V_{BE} = 0.6V$



$V_{CC} = 5V$   
 TIME = 20 μs/DIV.  
 $R_1 = 47k\Omega$   
 $R_2 = 500k\Omega$   
 $R_E = 2.7k\Omega$   
 $C = 0.01\mu F$

**FIGURE 13. Linear Ramp**

เอกสารนี้เป็นเอกสารที่สงวนไว้สำหรับการใช้งานเพื่อการศึกษาเท่านั้น ไม่อนุญาตให้นำไปใช้ประโยชน์ด้านการค้า  
 ไม่ว่าจะกรณีใดๆทั้งสิ้น อีกทั้งห้ามมิให้ดัดแปลงเนื้อหา และต้องอ้างอิงถึงเจ้าของเอกสารทุกครั้งที่มีการนำไปใช้

LM555

**Applications Information** (Continued)

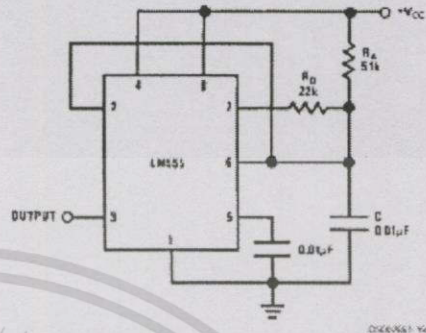
**50% DUTY CYCLE OSCILLATOR**

For a 50% duty cycle, the resistors  $R_A$  and  $R_B$  may be connected as in Figure 14. The time period for the output high is the same as previous,  $t_1 = 0.693 R_A C$ . For the output low it is  $t_2 =$

$$\left[ (R_A R_B) / (R_A + R_B) \right] C \ln \left[ \frac{R_B - 2R_A}{2R_B - R_A} \right]$$

Thus the frequency of oscillation is

$$f = \frac{1}{t_1 + t_2}$$



**FIGURE 14.** 50% Duty Cycle Oscillator

Note that this circuit will not oscillate if  $R_B$  is greater than  $1/2 R_A$  because the junction of  $R_A$  and  $R_B$  cannot bring pin 2 down to  $1/3 V_{CC}$  and trigger the lower comparator.

**ADDITIONAL INFORMATION**

Adequate power supply bypassing is necessary to protect associated circuitry. Minimum recommended is  $0.1\mu F$  in parallel with  $1\mu F$  electrolytic.

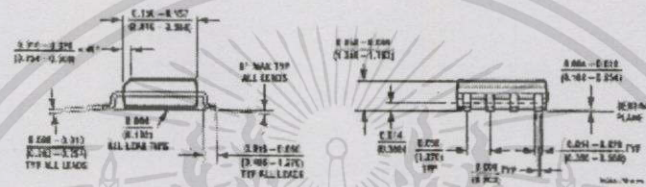
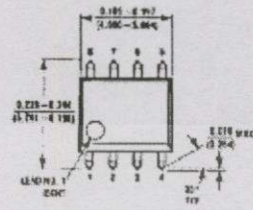
Lower comparator storage time can be as long as  $10\mu s$  when pin 2 is driven fully to ground for triggering. This limits the monostable pulse width to  $10\mu s$  minimum.

Delay time reset to output is  $0.47\mu s$  typical. Minimum reset pulse width must be  $0.3\mu s$  typical.

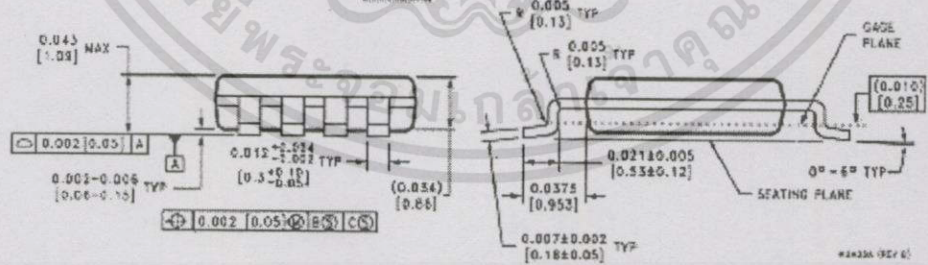
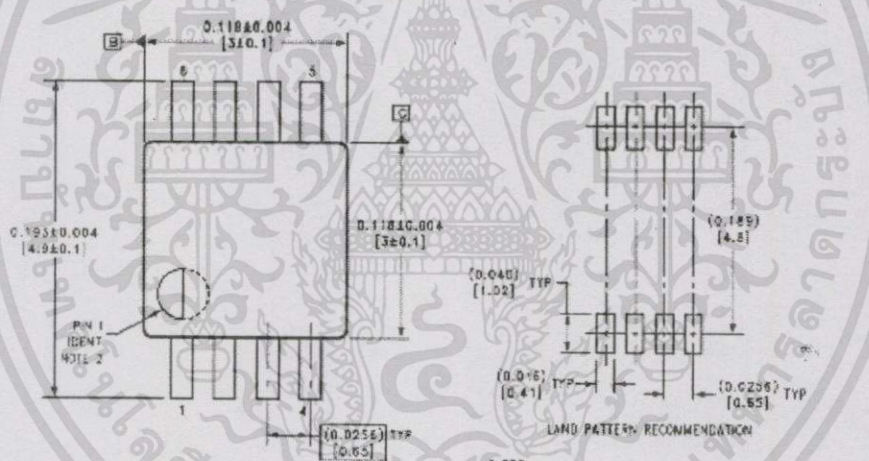
Pin 7 current switches within  $30ns$  of the output (pin 3) voltage.

เอกสารนี้เป็นเอกสารที่สงวนไว้สำหรับการใช้งานเพื่อการศึกษาเท่านั้น ไม่อนุญาตให้นำไปใช้ประโยชน์ด้านการค้า ไม่ว่ากรณีใดๆทั้งสิ้น อีกทั้งห้ามมิให้ดัดแปลงเนื้อหา และต้องอ้างอิงถึงเจ้าของเอกสารทุกครั้งที่มีการนำไปใช้

Physical Dimensions inches (millimeters) unless otherwise noted



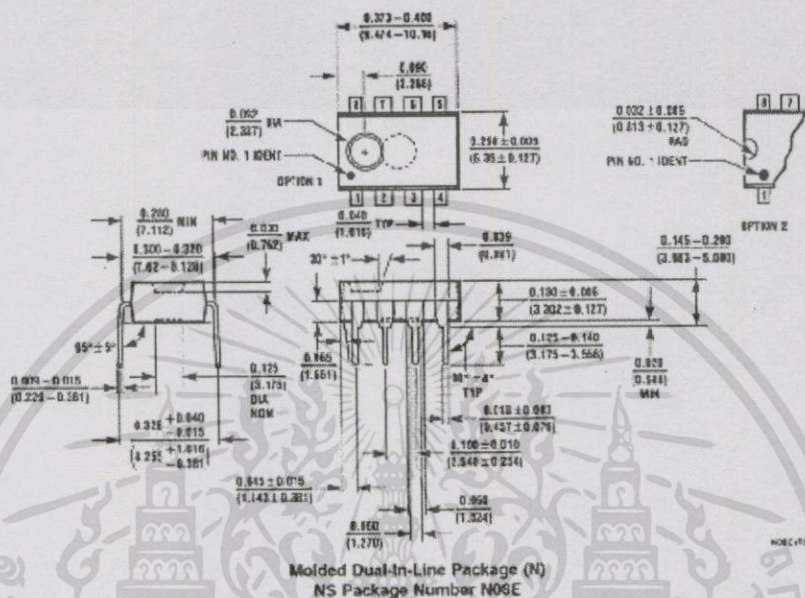
Small Outline Package (M)  
NS Package Number M05A



B-Lead (0.118" Wide) Molded Mini Small Outline Package  
NS Package Number MUA08A

เอกสารนี้เป็นเอกสารที่สงวนไว้สำหรับการใช้งานเพื่อการศึกษาเท่านั้น ไม่อนุญาตให้นำไปใช้ประโยชน์ด้านการค้า  
ไม่ว่ากรณีใดๆทั้งสิ้น อีกทั้งห้ามมิให้ดัดแปลงเนื้อหา และต้องอ้างอิงถึงเจ้าของเอกสารทุกครั้งที่มีการนำไปใช้

**Physical Dimensions** Inches (millimeters) unless otherwise noted (Continued)



**LIFE SUPPORT POLICY**

NATIONAL'S PRODUCTS ARE NOT AUTHORIZED FOR USE AS CRITICAL COMPONENTS IN LIFE SUPPORT DEVICES OR SYSTEMS WITHOUT THE EXPRESS WRITTEN APPROVAL OF THE PRESIDENT AND GENERAL COUNSEL OF NATIONAL SEMICONDUCTOR CORPORATION. As used herein:

1. Life support devices or systems are devices or systems which, (a) are intended for surgical implant into the body, or (b) support or sustain life, and whose failure to perform when properly used in accordance with instructions for use provided in the labeling, can be reasonably expected to result in a significant injury to the user.
2. A critical component is any component of a life support device or system whose failure to perform can be reasonably expected to cause the failure of the life support device or system, or to affect its safety or effectiveness.

**National Semiconductor Corporation**  
Americas  
Tel: 1-800-272-9959  
Fax: 1-920-731-2018  
Email: support@nsc.com  
www.nsc.com

**National Semiconductor Europe**  
Tel: +49 (0) 180 530 85 86  
Email: europe.support@nsc.com  
Deutsch Tel: +49 (0) 89 9508 5200  
England Tel: +44 (0) 20 24 0 2131  
France Tel: +33 (0) 1 41 91 8700

**National Semiconductor Asia Pacific Customer Response Group**  
Tel: 65 2544466  
Fax: 65 2504466  
Email: ap.support@nsc.com

**National Semiconductor Japan Ltd.**  
Tel: 81-3-5639-7580  
Fax: 81-3-5639-7587

National does not assume any responsibility for use of any circuit described, no circuit patent licenses are required and National reserves the right of any time without notice to change lead configuration and specifications.

เอกสารนี้เป็นเอกสารที่สงวนไว้สำหรับการใช้งานเพื่อการศึกษาเท่านั้น ไม่อนุญาตให้นำไปใช้ประโยชน์ด้านการค้า  
ไม่ว่ากรณีใดๆทั้งสิ้น อีกทั้งห้ามมิให้ดัดแปลงเนื้อหา และต้องอ้างอิงถึงเจ้าของเอกสารทุกครั้งที่มีการนำไปใช้

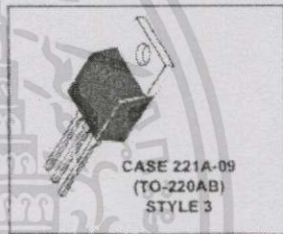
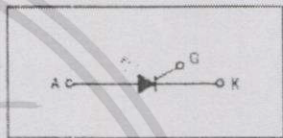
**Thyristors**  
Silicon Controlled Rectifiers

... designed for inverse parallel SCR output devices for solid state relays, welders, battery chargers, motor controls or applications requiring high surge operation.

- Photo Glass Passivated Blocking Junctions for High Temperature Stability, Center Gate for Uniform Parameters
- 550 Amperes Surge Capability
- Blocking Voltage to 800 Volts

**MCR265-4  
thru  
MCR265-10**

SCRs  
55 AMPERES RMS  
50 thru 800 VOLTS



MAXIMUM RATINGS ( $T_J = 25^\circ\text{C}$  unless otherwise noted.)

Rating	Symbol	Value	Unit
Peak Repetitive Forward and Reverse Blocking Voltage <sup>(1)</sup> ( $T_J = 25$ to $125^\circ\text{C}$ , Gate Open)	$V_{DRM}$ $V_{RRM}$	200 400 500 800	Volts
Forward Current ( $T_C = 70^\circ\text{C}$ ) (All Conduction Angles)	$I_T(\text{RMS})$ $I_T(\text{AV})$	55 35	Amps
Peak Non-repetitive Surge Current — 8.3 ms (1/2 Cycle, Sine Wave)	$I_{TSM}$	550	Amps
Forward Peak Gate Power	$P_{GM}$	20	Watts
Forward Average Gate Power	$P_{G(\text{AV})}$	0.5	Watt
Forward Peak Gate Current (300 $\mu\text{s}$ , 120 PPS)	$I_{GM}$	2	Amps
Operating Junction Temperature Range	$T_J$	-40 to +125	$^\circ\text{C}$
Storage Temperature Range	$T_{stg}$	-40 to +150	$^\circ\text{C}$

1.  $V_{DRM}$  and  $V_{RRM}$  for all types can be applied on a continuous basis. Ratings apply for zero or negative gate voltage; however, positive gate voltage shall not be applied concurrent with negative potential on the anode. Blocking voltages shall not be tested with a constant current source such that the voltage ratings of the devices are exceeded.  
These devices are rated for use in applications subject to high surge conditions. Care must be taken to insure proper heat sinking when the device is to be used at high sustained currents.

REV 1

เอกสารนี้เป็นเอกสารที่สงวนไว้สำหรับการใช้งานเพื่อการศึกษาเท่านั้น ไม่นิยมนำไปใช้ประโยชน์ด้านการค้า  
ไม่ว่ากรณีใดๆทั้งสิ้น อีกทั้งห้ามมิให้ดัดแปลงเนื้อหา และต้องอ้างอิงถึงเจ้าของเอกสารทุกครั้งที่มีการนำไปใช้

**MCR265-4 thru MCR265-10**

**THERMAL CHARACTERISTICS**

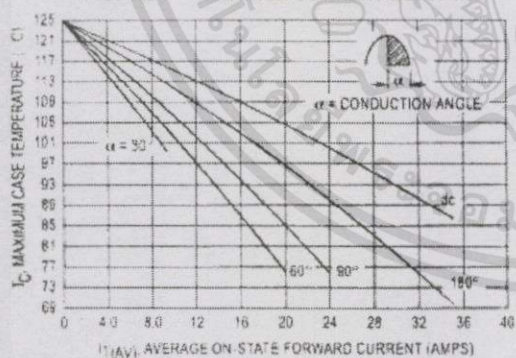
Characteristic	Symbol	Max	Unit
Thermal Resistance, Junction to Case	$R_{\theta JC}$	0.9	$^{\circ}C/W$
Thermal Resistance, Junction to Ambient	$R_{\theta JA}$	60	$^{\circ}C/W$

**ELECTRICAL CHARACTERISTICS ( $T_C = 25^{\circ}C$  unless otherwise noted.)**

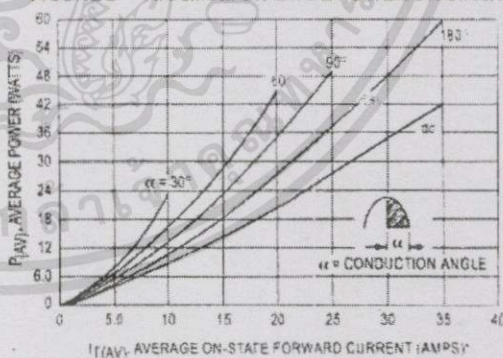
Characteristic	Symbol	Min	Typ	Max	Unit
Peak Forward or Reverse Blocking Current ( $V_{AK} = \text{Rated } V_{DRM} \text{ or } V_{RRM}, \text{ Gate Open}$ ) $T_J = 25^{\circ}C$ $T_J = 125^{\circ}C$	$I_{DRM}, I_{RRM}$	—	—	10 2	$\mu A$ mA
Forward "On" Voltage(1) ( $I_{TM} = 110 A$ )	$V_{TM}$	—	1.5	1.9	Volts
Gate Trigger Current (Continuous dc) (Anode Voltage = 12 Vdc, $R_L = 100 \text{ Ohms}$ ) ( $T_C = -40^{\circ}C$ )	$I_{GT}$	—	20 40	50 90	mA
Gate Trigger Voltage (Continuous dc) (Anode Voltage = 12 Vdc, $R_L = 100 \text{ Ohms}$ )	$V_{GT}$	—	1	1.5	Volts
Gate Non Trigger Voltage (Anode Voltage = Rated $V_{DRM}$ , $R_L = 100 \text{ Ohms}, T_J = 125^{\circ}C$ )	$V_{GD}$	0.2	—	—	Volts
Holding Current (Anode Voltage = 12 Vdc, Gate Open)	$I_H$	—	30	75	mA
Turn-On Time ( $I_{TM} = 55 A, I_{GT} = 200 \text{ mA dc}$ )	$t_{gt}$	—	1.5	—	$\mu s$
Critical Rate of Rise of Off State Voltage (Gate Open, $V_D = \text{Rated } V_{DRM}$ , Exponential Waveform)	$dv/dt$	—	50	—	$V/\mu s$

1. Pulse Width  $\leq 300 \mu s$ , Duty Cycle  $\leq 2\%$ .

**FIGURE 1 — AVERAGE CURRENT DERATING**



**FIGURE 2 — MAXIMUM ON-STATE POWER DISSIPATION**



เอกสารนี้เป็นเอกสารที่สงวนไว้สำหรับการใช้งานเพื่อการศึกษาเท่านั้น ไม่อนุญาตให้นำไปใช้ประโยชน์ด้านการค้า  
ไม่ว่ากรณีใดๆทั้งสิ้น อีกทั้งห้ามมิให้ดัดแปลงเนื้อหา และต้องอ้างอิงถึงเจ้าของเอกสารทุกครั้งที่มีการนำไปใช้

MCR265-4 thru MCR265-10

FIGURE 3 — GATE TRIGGER CURRENT

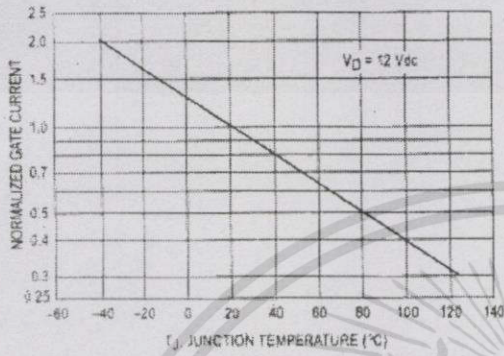


FIGURE 4 — GATE TRIGGER VOLTAGE

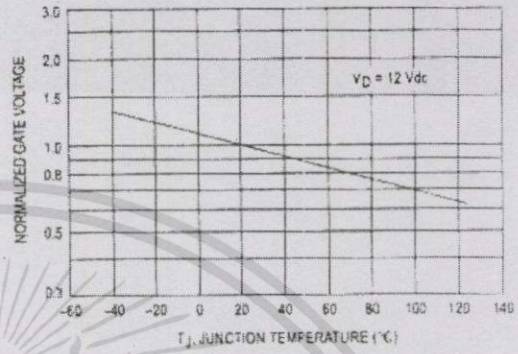


FIGURE 5 — HOLDING CURRENT

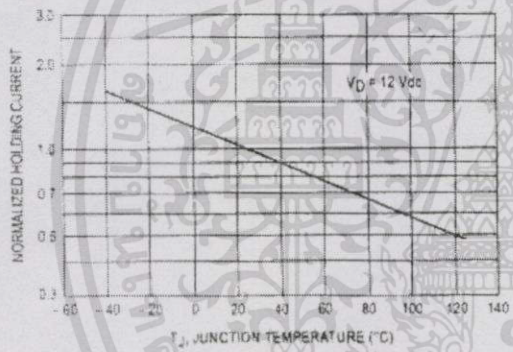


FIGURE 6 — TYPICAL ON-STATE CHARACTERISTICS

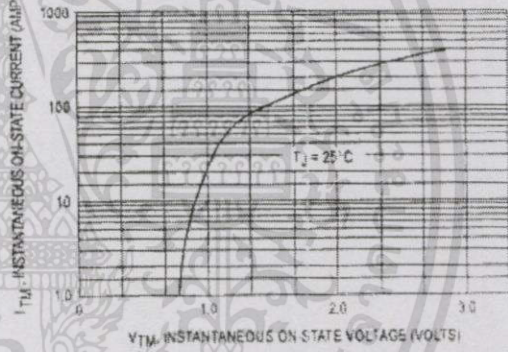
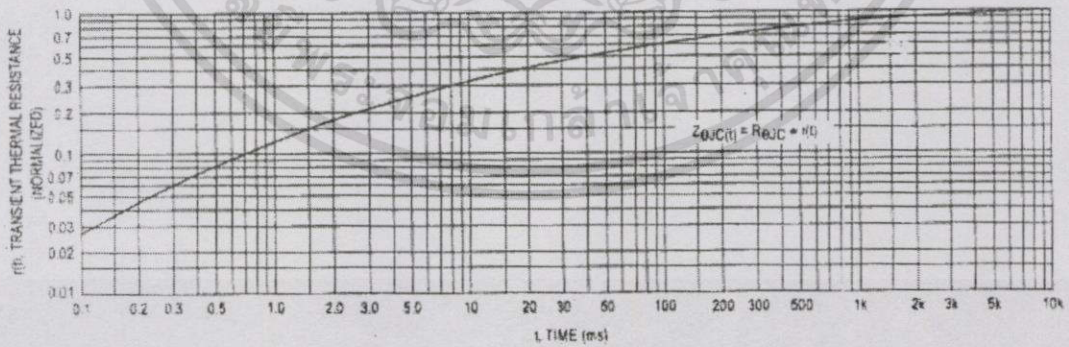


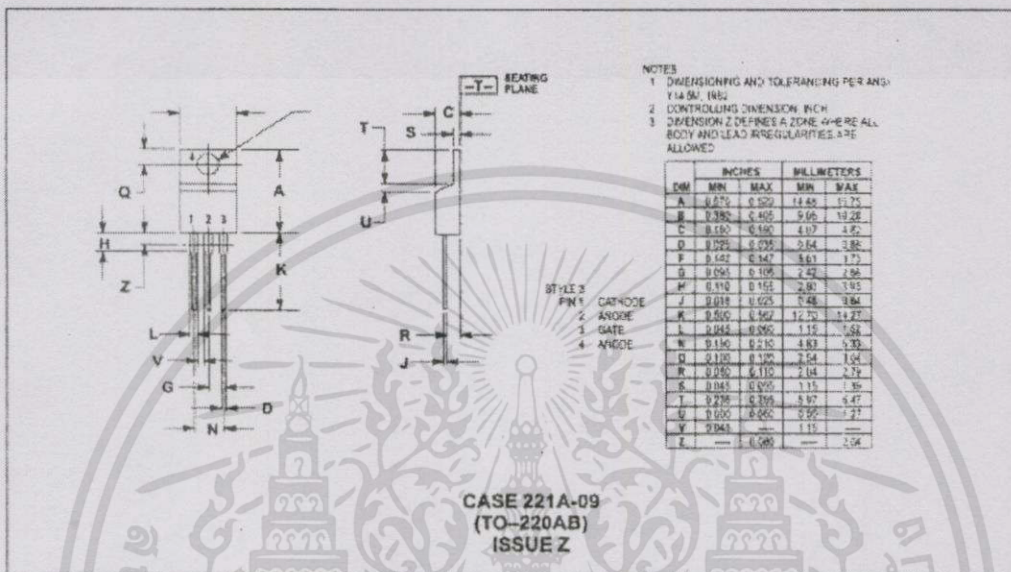
FIGURE 7 — THERMAL RESPONSE



เอกสารนี้เป็นเอกสารที่สงวนไว้สำหรับการใช้งานเพื่อการศึกษาเท่านั้น ไม่อนุญาตให้นำไปใช้ประโยชน์ด้านการค้า ไม่ว่ากรณีใดๆทั้งสิ้น อีกทั้งห้ามมิให้ดัดแปลงเนื้อหา และต้องอ้างอิงถึงเจ้าของเอกสารทุกครั้งที่มีการนำไปใช้

MCR265-4 thru MCR265-10

PACKAGE DIMENSIONS



Motorola reserves the right to make changes without further notice to any products herein. Motorola makes no warranty, representation or guarantee regarding the suitability of its products for any particular purpose, nor does Motorola assume any liability arising out of the application or use of any product or circuit, and specifically disclaims any and all liability, including without limitation consequential or incidental damages. "Typical" parameters which may be provided in Motorola data sheets and/or specifications can and do vary in different applications and actual performance may vary over time. All operating parameters, including "Typicals," must be validated for each customer application by customer's technical experts. Motorola does not convey any license under its patent rights, nor the rights of others. Motorola products are not designed, intended, or authorized for use as components in systems intended for surgical implant into the body, or other applications intended to support or sustain life, or for any other application in which the failure of the Motorola product could create a situation where personal injury or death may occur. Should Buyer purchase or use Motorola products for any such unintended or unauthorized application, Buyer shall indemnify and hold Motorola and its officers, employees, subsidiaries, affiliates, and distributors harmless against all claims, costs, damages, and expenses, and reasonable attorney fees arising out of, directly or indirectly, any claim of personal injury or death associated with such unintended or unauthorized use, even if such claim alleges that Motorola was negligent regarding the design or manufacture of the part. Motorola and M are registered trademarks of Motorola, Inc. Motorola, Inc. is an Equal Opportunity/Affirmative Action Employer.

Mfax is a trademark of Motorola, Inc.

How to reach us:  
 USA/EUROPE/Locations Not Listed: Motorola Literature Distribution:  
 P.O. Box 5405, Denver, Colorado 80217, 1-303-675-2140 or 1-800-441-2447

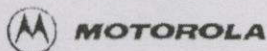
JAPAN: Motorola Japan Ltd., SPD, Strategic Planning Office, 141,  
 4-32-1 Nishi-Gotanda, Shinagawa-ku, Tokyo, Japan 81-3-5487-8488

Customer Focus Center 1-800-521-6274

Mfax™: RMFAX0@email.sps.mot.com - TOUCHSTONE 1-800-244-6609  
 Motorola Fax Back System - US & Canada ONLY 1-800-774-1848  
 - http://sps.motorola.com/mfax/

ASIA/PACIFIC: Motorola Semiconductors H.K. Ltd., Silicon Harbour Centre,  
 2, Dai King Street, Tai Po Industrial Estate, Tai Po, N.T. Hong Kong  
 852-26629296

HOME PAGE <http://motorola.com/sps>



0

MCR265/D

เอกสารนี้เป็นเอกสารที่สงวนไว้สำหรับกรใช้งานเพื่อการศึกษาเท่านั้น ไม่อนุญาตให้นำไปใช้ประโยชน์ด้านการค้า  
 ไม่ว่ากรณีใดๆทั้งสิ้น อีกทั้งห้ามมิให้ดัดแปลงเนื้อหา และต้องอ้างอิงถึงเจ้าของเอกสารทุกครั้งที่มีการนำไปใช้

# SHARP® Optoelectronics

## Photocouplers

### Photocouplers Features

Various output methods:

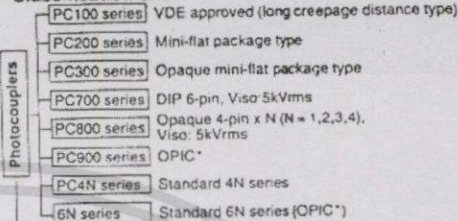
- Single phototransistor
- Darlington phototransistor
- OPIC\*
- Bidirectional output transistor
- Phototriac
- Photothyristor

Various package formats:

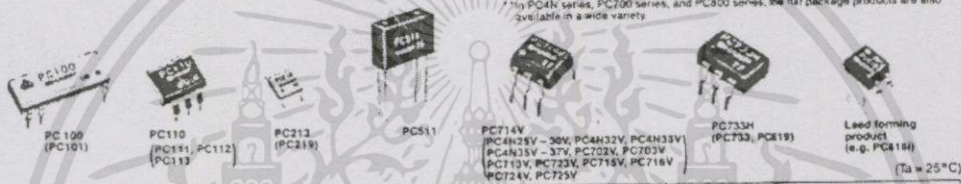
- Standard dual-in-line package
- Flat package
- Mini-flat package
- Dual-in-line package for long creepage distance

Wide line-up of products approved by overseas safety standards:  
UL, VDE, TUV, BS, SEMKO, DEMKO, E.  
High isolation voltage: PC100/PC700/PC800 series, etc.

### Classification chart



\*OPIC is a registered trademark of Sharp and stands for Optical IC. It has a light detecting element and peripheral circuits integrated on one chip.  
\*The PC4N series, PC700 series, and PC800 series, the flat package products are also available in a wide variety.



Type	Model No.	Internal connection diagram	Features	Approved by overseas safety standard		Package	Absolute maximum ratings				Electrical characteristics			
				UL	TUV		Forward current I <sub>F</sub> (mA)	Isolation voltage (AC) Viso (Vrms)	Current transfer ratio CTR (%) MIN.	k <sub>v</sub> (mA)	t <sub>r</sub> (μs) (at 1YR)	R <sub>L</sub> (Ω)		
Single phototransistor	PC100		High isolation voltage, long creepage distance *2			DIP 6-pin (Special)	50	5,000	25	10	6	100		
	PC101		High isolation voltage, long creepage distance *2			DIP 6-pin	50	5,000	25	10	8	100		
	PC110		High isolation voltage, long creepage distance *2			DIP 6-pin	50	5,000	30	5	4	100		
	PC112		High isolation voltage, long creepage distance, high collector-emitter voltage *2			DIP 6-pin	50	5,000	40	10	4	100		
	PC111		High isolation voltage, long creepage distance *2			DIP 6-pin	10	5,000	50	5	4	100		
	PC115		High isolation voltage, long creepage distance, high collector-emitter voltage *2			DIP 6-pin	10	5,000	40	10	4	100		
	PC213		Mini-flat package type			Mini-flat package, 5-pin	50	2,000	50	5	4	100		
	PC511		High isolation voltage, long creepage distance			PWB-mounted 4-pin	50	5,000	10	20	3	100		
	PC714V**		High isolation voltage			DIP 6-pin	50	5,000	50	5	4	100		
	PC724V**		High isolation voltage, large input current			DIP 6-pin	150	5,000	20	100	4	100		
	PC702V**		High isolation voltage, high collector-emitter voltage (70V)			DIP 6-pin	60	5,000	40	10	2	75		
	PC703V**		High isolation voltage, high collector-emitter voltage (70V)			DIP 6-pin	50	5,000	40	10	4	100		
	PC713V**		High isolation voltage			DIP 6-pin	50	5,000	50	5	4	100		
	PC723V**		High isolation voltage, high collector-emitter voltage (80V)			DIP 6-pin	10	5,000	50	5	6	100		
	PC733**		High isolation voltage, AC input response			DIP 6-pin	±150	5,000	15	±1	4	100		
PC733H**		High isolation voltage, large input current drive, AC input response			DIP 6-pin	±150	5,000	20	±100	4	100			

\* 1 Lead forming type (I) type is also available. \* 2 BS, SEMKO, DEMKO, E approved. PC110, PC111, PC112, PC113, PC102, PC101

Type	Model No.	Internal connection diagram	Features	Approved by overseas safety standard		Package	Absolute maximum ratings				Electrical characteristics			
				UL	TUV		Forward current I <sub>F</sub> (mA)	Isolation voltage (AC) Viso (Vrms)	Turn-on, Turn-off ton, toff (μs) MAX.	k <sub>v</sub> (mA)	V <sub>CE</sub> (V)	R <sub>L</sub> (Ω)		
Bi-directional output	PC819		Bi-directional, high output response			Mini-flat package 6-pin	50	2,000	50	15	5	50		
	PC819		Bi-directional, linear output			DIP 6-pin	50	2,000	15	15	5	50		

\* I<sub>F</sub> = 200mA (t<sub>ON</sub> = 1.0ms)

SHARP ELECTRONICS CORP., Micro Electronics Div., Sharp Plaza, Mahwah, NJ 07430-2135 • Tel: 201/529-8757 • Telex: 421933 (SHARP) • Fax: 201/529-8751

EEM 19R

เอกสารนี้เป็นเอกสารที่สงวนไว้สำหรับกรใช้งานเพื่อการศึกษาเท่านั้น ไม่อนุญาตให้นำไปใช้ประโยชน์ด้านการค้า ไม่ว่ากรรมใดๆทั้งสิ้น อีกทั้งห้ามมิให้ดัดแปลงเนื้อหา และต้องอ้างอิงถึงเจ้าของเอกสารทุกครั้งที่มีการนำไปใช้

## ประวัติผู้เขียน

นางสาวรัตน์สุดา ทองแดง เกิดเมื่อวันที่ 2 สิงหาคม พ.ศ. 2518 ที่จังหวัดชลบุรี สำเร็จ การศึกษาวิทยาศาสตรบัณฑิต สาขาฟิสิกส์ประยุกต์ คณะวิทยาศาสตร์ จากสถาบันเทคโนโลยีพระ จอมเกล้าเจ้าคุณทหารลาดกระบังปีการศึกษา 2539 เข้าศึกษาต่อระดับปริญญาวิทยาศาสตรมหา บัณฑิต สาขาฟิสิกส์ประยุกต์ คณะวิทยาศาสตร์ สถาบันเทคโนโลยีพระจอมเกล้าเจ้าคุณทหารลาด กระบังในปีการศึกษา 2540



เอกสารนี้เป็นเอกสารที่สงวนไว้สำหรับการใช้งานเพื่อการศึกษาเท่านั้น ไม่อนุญาตให้นำไปใช้ประโยชน์ด้านการค้า ไม่ว่ากรณีใดๆทั้งสิ้น อีกทั้งห้ามมิให้ดัดแปลงเนื้อหา และต้องอ้างอิงถึงเจ้าของเอกสารทุกครั้งที่มีการนำไปใช้